

Eingabe: Farbmetrisches Offset-Reflektiv-System ORS18

für Buntton $h^* = lab^*h = 25/360 = 0.069$

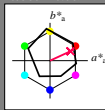
lab^*ch und lab^*nch

D65: Buntton R

LCH*Ma: 52 69 25

olv*Ma: 1.0 0.0 0.32

Dreiecks-Helligkeit r^*



%Umfang

$u^*_{rel} = 85$

%Regularität

$g^*_{H,rel} = 57$

$g^*_{C,rel} = 59$

ORS18; adaptierte CIELAB-Daten

| | $L^* = L^*_a$ | a^*_a | b^*_a | $C^*_{ab,a}$ | $h^*_{ab,a}$ |
|------------------|---------------|---------|---------|--------------|--------------|
| O _{Ma} | 51.74 | 60.16 | 46.48 | 76.02 | 38 |
| Y _{Ma} | 90.77 | -9.44 | 84.41 | 84.94 | 96 |
| L _{Ma} | 54.46 | -57.8 | 32.16 | 66.15 | 151 |
| C _{Ma} | 61.56 | -27.91 | -41.41 | 49.95 | 236 |
| V _{Ma} | 31.3 | 28.61 | -40.85 | 49.88 | 305 |
| M _{Ma} | 51.91 | 69.26 | -7.69 | 69.68 | 354 |
| N _{Ma} | 24.2 | 0.0 | 0.0 | 0.0 | 0 |
| W _{Ma} | 95.41 | 0.0 | 0.0 | 0.0 | 0 |
| R _{CIE} | 44.36 | 53.97 | 24.82 | 59.4 | 25 |
| J _{CIE} | 82.39 | -1.99 | 62.34 | 62.37 | 92 |
| G _{CIE} | 55.68 | -38.87 | 10.82 | 40.36 | 164 |
| B _{CIE} | 35.76 | 1.06 | -43.09 | 43.11 | 271 |

Ausgabe: Farbmetrisches Offset-Reflektiv-System ORS18

für Buntton $h^* = lab^*h = 25/360 = 0.069$

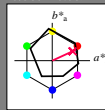
lab^*ch und lab^*nch

D65: Buntton R

LCH*Ma: 52 69 25

olv*Ma: 1.0 0.0 0.32

Dreiecks-Helligkeit r^*



%Umfang

$u^*_{rel} = 85$

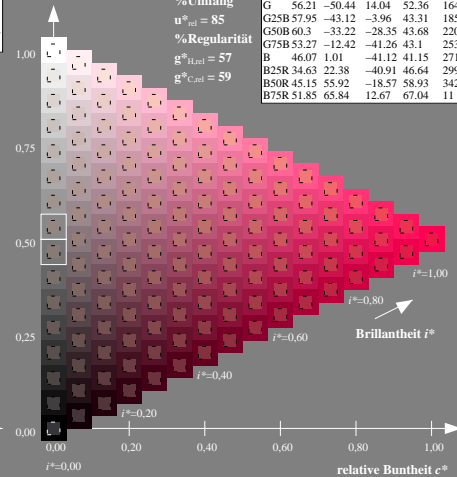
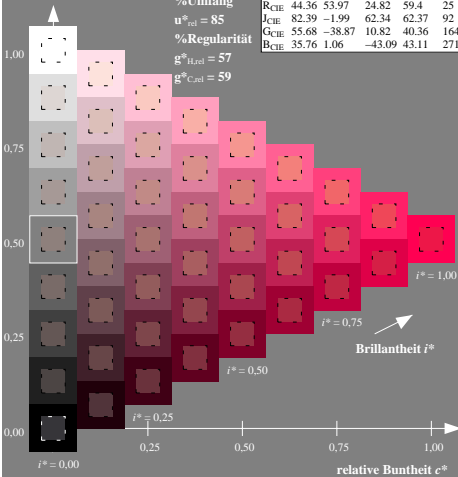
%Regularität

$g^*_{H,rel} = 57$

$g^*_{C,rel} = 59$

ORS18; adaptierte CIELAB-Daten

| | $L^* = L^*_a$ | a^*_a | b^*_a | $C^*_{ab,a}$ | $h^*_{ab,a}$ |
|------|---------------|---------|---------|--------------|--------------|
| R | 51.79 | 63.09 | 29.02 | 69.44 | 25 |
| R25J | 53.73 | 56.6 | 48.42 | 74.48 | 41 |
| R50J | 65.47 | 35.67 | 59.82 | 69.65 | 59 |
| R75J | 76.51 | 15.98 | 70.55 | 72.34 | 77 |
| J | 86.93 | -2.58 | 80.67 | 80.71 | 92 |
| J25G | 84.92 | -17.23 | 75.99 | 77.92 | 103 |
| J50G | 73.11 | -32.96 | 59.0 | 67.58 | 119 |
| J75G | 60.06 | -50.34 | 40.22 | 64.44 | 141 |
| G | 56.21 | -50.44 | 14.04 | 52.36 | 164 |
| G25B | 57.95 | -43.12 | -3.96 | 43.31 | 185 |
| G50B | 60.3 | -33.22 | -28.35 | 43.68 | 220 |
| G75B | 53.27 | -12.42 | -41.26 | 43.1 | 253 |
| B | 46.07 | 1.01 | -41.12 | 41.15 | 271 |
| B25R | 34.63 | 22.38 | -40.91 | 46.64 | 299 |
| B50R | 45.15 | 55.92 | -18.57 | 58.93 | 342 |
| B75R | 51.85 | 65.84 | 12.67 | 67.04 | 411 |



ZG920-7N, 9stufige Reihen für konstanten CIELAB Buntton 25/360 = 0.069 (links) Seite 1/96

ZG920-7N, 16stufige Reihen für konstanten CIELAB Buntton 25/360 = 0.069 (rechts)

BAM-Prüfvorlage ZG92; Farbmetrik-Systeme, Seite 1/96 Eingabe: $rgb / cmy0$ set($rgb/cmyk/color$)
D65: 9 und 16stufige Farbreihen für 16 Elementar-Bunttöne Ausgabe: keine Eingabeänderung

Siehe ähnliche Dateien: <http://www.ps.bam.de/ZG92/>; <http://www.ps.bam.de/ZG.HTM>
Technische Information: <http://www.ps.bam.de> Version 2.1, 10-1.1

BAM-Registrierung: 20071001-ZG92/L92G00N1.PS/.TXT
BAM-Material-Code=matda
Anwendung für Beurteilung und Messung von Drucker- oder Monitorsystemen

Eingabe: Farbmetrisches Offset-Reflektiv-System ORS18

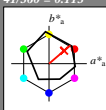
für Buntton $h^* = lab^*h = 41/360 = 0.113$

lab^*tch und lab^*nch

D65: Buntton R25J

LCH*Ma: 54 74 41

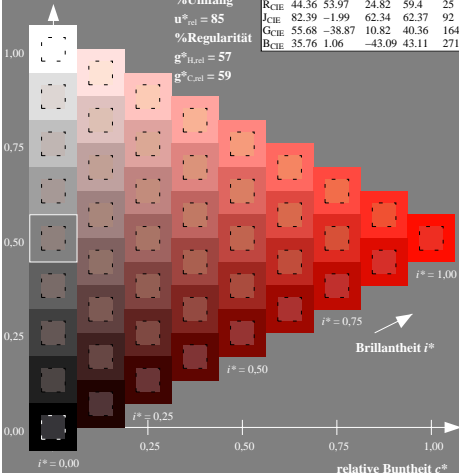
ol*Ma: 1.0 0.05 0.0



Dreiecks-Helligkeit i^*

%Umfang
 $u^*_{rel} = 85$
%Regularität
 $g^*_{H,rel} = 57$
 $g^*_{C,rel} = 59$

| ORS18; adaptierte CIELAB-Daten | | | | | |
|--------------------------------|---------|---------|--------------|--------------|-----|
| $L^* = L^*_a$ | a^*_a | b^*_a | $C^*_{ab,a}$ | $h^*_{ab,a}$ | |
| O _{Ma} | 51.74 | 60.16 | 46.48 | 76.02 | 38 |
| Y _{Ma} | 90.77 | -9.44 | 84.41 | 84.94 | 96 |
| L _{Ma} | 54.46 | -57.8 | 32.16 | 66.15 | 151 |
| C _{Ma} | 61.56 | -27.91 | -41.41 | 49.95 | 236 |
| V _{Ma} | 31.3 | 28.61 | -40.85 | 49.88 | 305 |
| M _{Ma} | 51.91 | 69.26 | -7.69 | 69.68 | 354 |
| N _{Ma} | 24.2 | 0.0 | 0.0 | 0.0 | 0 |
| W _{Ma} | 95.41 | 0.0 | 0.0 | 0.0 | 0 |
| R _{CIE} | 44.36 | 53.97 | 24.82 | 59.4 | 25 |
| J _{CIE} | 82.39 | -1.99 | 62.34 | 62.37 | 92 |
| G _{CIE} | 55.68 | -38.87 | 10.82 | 40.36 | 164 |
| B _{CIE} | 35.76 | 1.06 | -43.09 | 43.11 | 271 |



Ausgabe: Farbmetrisches Offset-Reflektiv-System ORS18

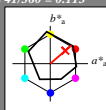
für Buntton $h^* = lab^*h = 41/360 = 0.113$

lab^*tch und lab^*nch

D65: Buntton R25J

LCH*Ma: 54 74 41

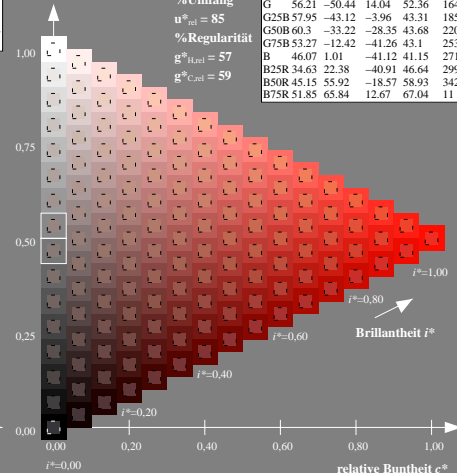
ol*Ma: 1.0 0.05 0.0



Dreiecks-Helligkeit i^*

%Umfang
 $u^*_{rel} = 85$
%Regularität
 $g^*_{H,rel} = 57$
 $g^*_{C,rel} = 59$

| ORS18; adaptierte CIELAB-Daten | | | | | |
|--------------------------------|---------|---------|--------------|--------------|-----|
| $L^* = L^*_a$ | a^*_a | b^*_a | $C^*_{ab,a}$ | $h^*_{ab,a}$ | |
| R | 51.79 | 63.09 | 29.02 | 69.44 | 25 |
| R25J | 53.73 | 56.6 | 48.42 | 74.48 | 41 |
| R50J | 65.47 | 35.67 | 59.82 | 69.65 | 59 |
| R75J | 76.51 | 15.98 | 70.55 | 72.34 | 77 |
| J | 86.93 | -2.58 | 80.67 | 80.71 | 92 |
| J25G | 84.92 | -17.23 | 75.99 | 77.92 | 103 |
| J50G | 73.11 | -32.96 | 59.0 | 67.58 | 119 |
| J75G | 60.06 | -50.34 | 40.22 | 64.44 | 141 |
| G | 56.21 | -50.44 | 14.04 | 52.36 | 164 |
| G25B | 57.95 | -43.12 | -3.96 | 43.31 | 185 |
| G50B | 60.3 | -33.22 | -28.35 | 43.68 | 220 |
| G75B | 53.27 | -12.42 | -41.26 | 43.1 | 253 |
| B | 46.07 | 1.01 | -41.12 | 41.15 | 271 |
| B25R | 34.63 | 22.38 | -40.91 | 46.64 | 299 |
| B50R | 45.15 | 55.92 | -18.57 | 58.93 | 342 |
| B75R | 51.85 | 65.84 | 12.67 | 67.04 | 411 |



ZG920-7N, 9stufige Reihen für konstanten CIELAB Buntton 41/360 = 0.113 (links)

Seite 2/96

ZG920-7N, 16stufige Reihen für konstanten CIELAB Buntton 41/360 = 0.113 (rechts)

BAM-Prüfvorlage ZG92; Farbmetrik-Systeme, Seite 2/96 Eingabe: $rgb / cmy0$ set($rgb/cmyk/color$)
D65: 9 und 16stufige Farbreihen für 16 Elementar-Bunttöne Ausgabe: keine Eingabeänderung

Siehe ähnliche Dateien: <http://www.ps.bam.de/ZG92/>; www.ps.bam.de/ZG.HTM
Technische Information: <http://www.ps.bam.de> Version 2.1, 10-1.1

BAM-Registrierung: 20071001-ZG92/L92G00N1.PS/.TXT
Anwendung für Beurteilung und Messung von Drucker- oder Monitorsystemen

BAM-Material-Code=mat4a

Eingabe: Farbmetrisches Offset-Reflektiv-System ORS18

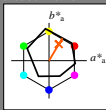
für Buntton $h^* = lab^*h = 59/360 = 0.164$

lab^*ch und lab^*nch

D65: Buntton R50J

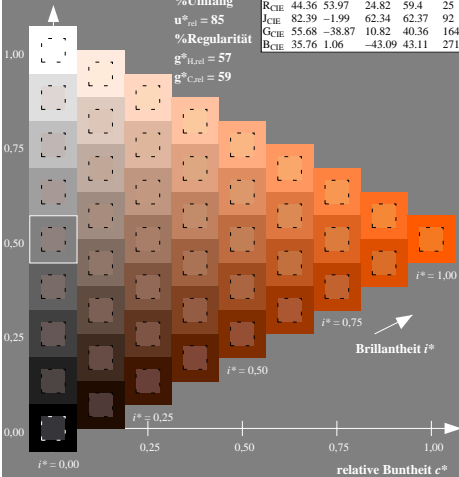
LCH*Ma: 65 70 59

ol*Ma: 1.0 0.35 0.0



Dreiecks-Helligkeit i^*

%Umfang
 $u^*_{rel} = 85$
%Regularität
 $g^*_{H,rel} = 57$
 $g^*_{C,rel} = 59$



ORS18; adaptierte CIELAB-Daten

| | $L^* = L^*_a$ | a^*_a | b^*_a | $C^*_{ab,a}$ | $h^*_{ab,a}$ |
|------------------|---------------|---------|---------|--------------|--------------|
| O _{Ma} | 51.74 | 60.16 | 46.48 | 76.02 | 38 |
| Y _{Ma} | 90.77 | -9.44 | 84.41 | 84.94 | 96 |
| L _{Ma} | 54.46 | -57.8 | 32.16 | 66.15 | 151 |
| C _{Ma} | 61.56 | -27.91 | -41.41 | 49.95 | 236 |
| V _{Ma} | 31.3 | 28.61 | -40.85 | 49.88 | 305 |
| M _{Ma} | 51.91 | 69.26 | -7.69 | 69.68 | 354 |
| N _{Ma} | 24.2 | 0.0 | 0.0 | 0.0 | 0 |
| W _{Ma} | 95.41 | 0.0 | 0.0 | 0.0 | 0 |
| R _{CIE} | 44.36 | 53.97 | 24.82 | 59.4 | 25 |
| J _{CIE} | 82.39 | -1.99 | 62.34 | 62.37 | 92 |
| G _{CIE} | 55.68 | -38.87 | 10.82 | 40.36 | 164 |
| B _{CIE} | 35.76 | 1.06 | -43.09 | 43.11 | 271 |

Ausgabe: Farbmetrisches Offset-Reflektiv-System ORS18

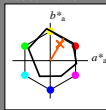
für Buntton $h^* = lab^*h = 59/360 = 0.164$

lab^*ch und lab^*nch

D65: Buntton R50J

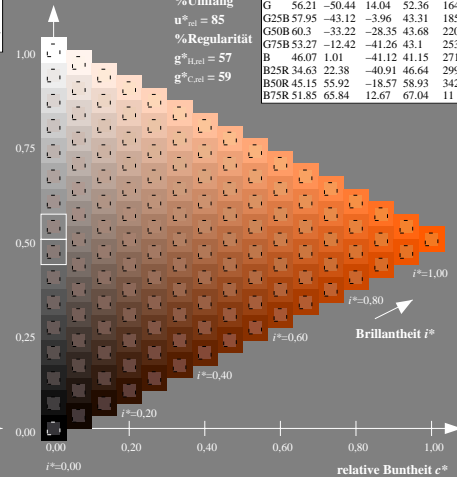
LCH*Ma: 65 70 59

ol*Ma: 1.0 0.35 0.0



Dreiecks-Helligkeit i^*

%Umfang
 $u^*_{rel} = 85$
%Regularität
 $g^*_{H,rel} = 57$
 $g^*_{C,rel} = 59$



ORS18; adaptierte CIELAB-Daten

| | $L^* = L^*_a$ | a^*_a | b^*_a | $C^*_{ab,a}$ | $h^*_{ab,a}$ |
|------|---------------|---------|---------|--------------|--------------|
| R | 51.79 | 63.09 | 29.02 | 69.44 | 25 |
| R25J | 53.73 | 56.6 | 48.42 | 74.48 | 41 |
| R50J | 65.47 | 35.67 | 59.82 | 69.65 | 59 |
| R75J | 76.51 | 15.98 | 70.55 | 72.34 | 77 |
| J | 86.93 | -2.58 | 80.67 | 80.71 | 92 |
| J25G | 84.92 | -17.23 | 75.99 | 77.92 | 103 |
| J50G | 73.11 | -32.96 | 59.0 | 67.58 | 119 |
| J75G | 60.06 | -50.34 | 40.22 | 64.44 | 141 |
| G | 56.21 | -50.44 | 14.04 | 52.36 | 164 |
| G25B | 57.95 | -43.12 | -3.96 | 43.31 | 185 |
| G50B | 60.3 | -33.22 | -28.35 | 43.68 | 220 |
| G75B | 53.27 | -12.42 | -41.26 | 43.1 | 253 |
| B | 46.07 | 1.01 | -41.12 | 41.15 | 271 |
| B25R | 34.63 | 22.38 | -40.91 | 46.64 | 299 |
| B50R | 45.15 | 55.92 | -18.57 | 58.93 | 342 |
| B75R | 51.85 | 65.84 | 12.67 | 67.04 | 411 |

ZG920-7N, 9stufige Reihen für konstanten CIELAB Buntton 59/360 = 0.164 (links)

Seite 3/96

ZG920-7N, 16stufige Reihen für konstanten CIELAB Buntton 59/360 = 0.164 (rechts)

BAM-Prüfvorlage ZG92; Farbmetrik-Systeme, Seite 3/96 Eingabe: $rgb / cmy0$ set($rgb/cmykcolor$)

D65: 9 und 16stufige Farbreihen für 16 Elementar-Bunttöne Ausgabe: keine Eingabeänderung

Siehe ähnliche Dateien: <http://www.ps.bam.de/ZG92/>; www.ps.bam.de/ZG.HTM
Technische Information: <http://www.ps.bam.de> Version 2.1, 10-1.1

BAM-Registrierung: 20071001-ZG92/L92G00N1.PS/.TXT
BAM-Material-Code=matda
Anwendung für Beurteilung und Messung von Drucker- oder Monitorsystemen

Eingabe: Farbmetrisches Offset-Refektiv-System ORS18

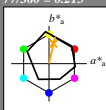
für Buntton $h^* = lab^*h = 77/360 = 0.215$

lab^*tch und lab^*nch

D65: Buntton R75J

LCH*Ma: 77 72 77

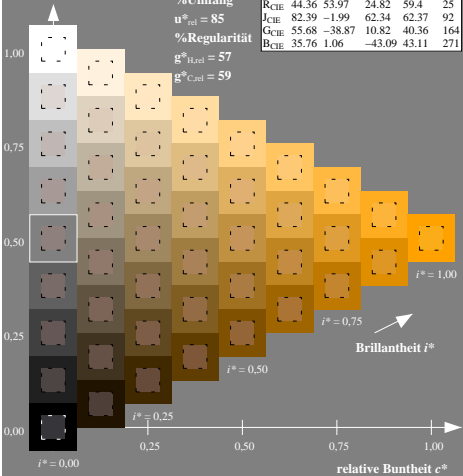
olv*Ma: 1.0 0.63 0.0



Dreiecks-Helligkeit i^*

%Umfang
 $u^*_{rel} = 85$
%Regularität
 $g^*_{H,rel} = 57$
 $g^*_{C,rel} = 59$

| ORS18; adaptierte CIELAB-Daten | | | | | |
|--------------------------------|---------|---------|-------------|-------------|-----|
| $L^* = L^*_a$ | a^*_a | b^*_a | C^*_{aba} | h^*_{aba} | |
| OMa | 51.74 | 60.16 | 46.48 | 76.02 | 38 |
| YMa | 90.77 | -9.44 | 84.41 | 84.94 | 96 |
| LMa | 54.46 | -57.8 | 32.16 | 66.15 | 151 |
| CMa | 61.56 | -27.91 | -41.41 | 49.95 | 236 |
| VMa | 31.3 | 28.61 | -40.85 | 49.88 | 305 |
| MMa | 51.91 | 69.26 | -7.69 | 69.68 | 354 |
| NMa | 24.2 | 0.0 | 0.0 | 0.0 | 0 |
| WMa | 95.41 | 0.0 | 0.0 | 0.0 | 0 |
| RCIE | 44.36 | 53.97 | 24.82 | 59.4 | 25 |
| JCIE | 82.39 | -1.99 | 62.34 | 62.37 | 92 |
| GCIE | 55.68 | -38.87 | 10.82 | 40.36 | 164 |
| BCIE | 35.76 | 1.06 | -43.09 | 43.11 | 271 |



Ausgabe: Farbmetrisches Offset-Refektiv-System ORS18

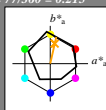
für Buntton $h^* = lab^*h = 77/360 = 0.215$

lab^*tch und lab^*nch

D65: Buntton R75J

LCH*Ma: 77 72 77

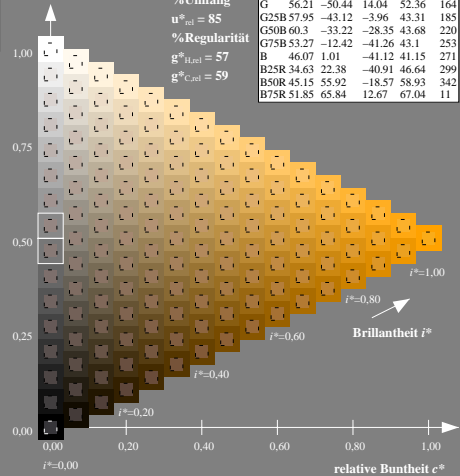
olv*Ma: 1.0 0.63 0.0



Dreiecks-Helligkeit i^*

%Umfang
 $u^*_{rel} = 85$
%Regularität
 $g^*_{H,rel} = 57$
 $g^*_{C,rel} = 59$

| ORS18; adaptierte CIELAB-Daten | | | | | |
|--------------------------------|---------|---------|-------------|-------------|-----|
| $L^* = L^*_a$ | a^*_a | b^*_a | C^*_{aba} | h^*_{aba} | |
| R | 51.79 | 63.09 | 29.02 | 69.44 | 25 |
| R25J | 53.73 | 56.6 | 48.42 | 74.48 | 41 |
| R50J | 65.47 | 35.67 | 59.82 | 69.65 | 59 |
| R75J | 76.51 | 15.98 | 70.55 | 72.34 | 77 |
| J | 86.93 | -2.58 | 80.67 | 80.71 | 92 |
| J25G | 84.92 | -17.23 | 75.99 | 77.92 | 103 |
| J50G | 73.11 | -32.96 | 59.0 | 67.58 | 119 |
| J75G | 60.06 | -50.34 | 40.22 | 64.44 | 141 |
| G | 56.21 | -50.44 | 14.04 | 52.36 | 164 |
| G25B | 57.95 | -43.12 | -3.96 | 43.31 | 185 |
| G50B | 60.3 | -33.22 | -28.35 | 43.68 | 220 |
| G75B | 53.27 | -12.42 | -41.26 | 43.1 | 253 |
| B | 46.07 | 1.01 | -41.12 | 41.15 | 271 |
| B25R | 34.63 | 22.38 | -40.91 | 46.64 | 299 |
| B50R | 45.15 | 55.92 | -18.57 | 58.93 | 342 |
| B75R | 51.85 | 65.84 | 12.67 | 67.04 | 411 |



ZG920-7N, 9stufige Reihen für konstanten CIELAB Buntton 77/360 = 0.215 (links)

ZG920-7N, 16stufige Reihen für konstanten CIELAB Buntton 77/360 = 0.215 (rechts)

BAM-Prüfvorlage ZG92; Farbmetrik-Systeme, Seite 4/96 Eingabe: $rgb / cmy0$ set($rgb/cmyk/color$)
D65: 9 und 16stufige Farbreihen für 16 Elementar-Bunttöne Ausgabe: keine Eingabeänderung

Siehe ähnliche Dateien: <http://www.ps.bam.de/ZG92/>; www.ps.bam.de/ZG.HTM
Technische Information: <http://www.ps.bam.de> Version 2.1, 10-1.1

BAM-Registrierung: 20071001-ZG92/L92G00N1.PS/.TXT
BAM-Material-Code=matda
Anwendung für Beurteilung und Messung von Drucker- oder Monitorsystemen

Eingabe: Farbmetrisches Offset-Reflektiv-System ORS18

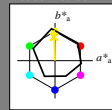
für Buntton $h^* = lab^*h = 92/360 = 0.255$

lab^*_{tch} und lab^*_{nch}

D65: Buntton J

LCH*Ma: 87 81 92

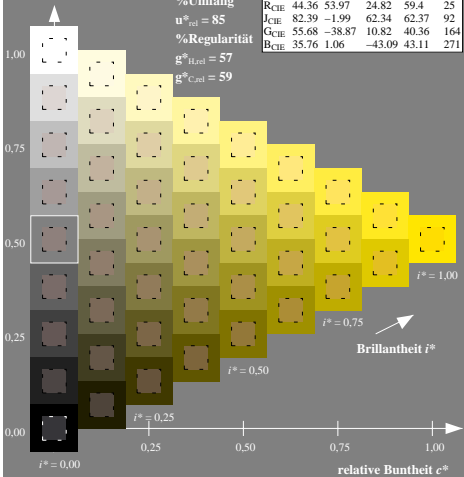
olv*Ma: 1.0 0.9 0.0



Dreiecks-Helligkeit i^*

%Umfang
 $u^*_{rel} = 85$
%Regularität
 $g^*_{H,rel} = 57$
 $g^*_{C,rel} = 59$

| ORS18; adaptierte CIELAB-Daten | | | | | |
|--------------------------------|---------|---------|--------------|--------------|-----|
| $L^* = L^*_a$ | a^*_a | b^*_a | $C^*_{ab,a}$ | $h^*_{ab,a}$ | |
| OMa | 51.74 | 60.16 | 46.48 | 76.02 | 38 |
| YMa | 90.77 | -9.44 | 84.41 | 84.94 | 96 |
| LMa | 54.46 | -57.8 | 32.16 | 66.15 | 151 |
| CMa | 61.56 | -27.91 | -41.41 | 49.95 | 236 |
| VMa | 31.3 | 28.61 | -40.85 | 49.88 | 305 |
| MMa | 51.91 | 69.26 | -7.69 | 69.68 | 354 |
| NMa | 24.2 | 0.0 | 0.0 | 0.0 | 0 |
| WMa | 95.41 | 0.0 | 0.0 | 0.0 | 0 |
| RCIE | 44.36 | 53.97 | 24.82 | 59.4 | 25 |
| JCIE | 82.39 | -1.99 | 62.34 | 62.37 | 92 |
| GCIE | 55.68 | -38.87 | 10.82 | 40.36 | 164 |
| BCIE | 35.76 | 1.06 | -43.09 | 43.11 | 271 |



Ausgabe: Farbmetrisches Offset-Reflektiv-System ORS18

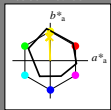
für Buntton $h^* = lab^*h = 92/360 = 0.255$

lab^*_{tch} und lab^*_{nch}

D65: Buntton J

LCH*Ma: 87 81 92

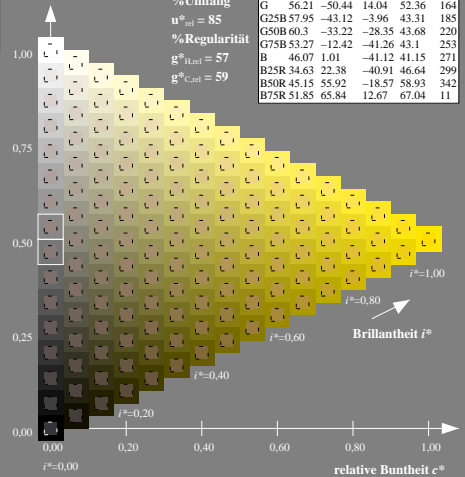
olv*Ma: 1.0 0.9 0.0



Dreiecks-Helligkeit i^*

%Umfang
 $u^*_{rel} = 85$
%Regularität
 $g^*_{H,rel} = 57$
 $g^*_{C,rel} = 59$

| ORS18; adaptierte CIELAB-Daten | | | | | |
|--------------------------------|---------|---------|--------------|--------------|-----|
| $L^* = L^*_a$ | a^*_a | b^*_a | $C^*_{ab,a}$ | $h^*_{ab,a}$ | |
| R | 51.79 | 63.09 | 29.02 | 69.44 | 25 |
| R25J | 53.73 | 56.6 | 48.42 | 74.48 | 41 |
| R50J | 65.47 | 35.67 | 59.82 | 69.65 | 59 |
| R75J | 76.51 | 15.98 | 70.55 | 72.34 | 77 |
| J | 86.93 | -2.58 | 80.67 | 80.71 | 92 |
| J25G | 84.92 | -17.23 | 75.99 | 77.92 | 103 |
| J50G | 73.11 | -32.96 | 59.0 | 67.58 | 119 |
| J75G | 60.06 | -50.34 | 40.22 | 64.44 | 141 |
| G | 56.21 | -50.44 | 14.04 | 52.36 | 164 |
| G25B | 57.95 | -43.12 | -3.96 | 43.31 | 185 |
| G50B | 60.3 | -33.22 | -28.35 | 43.68 | 220 |
| G75B | 53.27 | -12.42 | -41.26 | 43.1 | 253 |
| B | 46.07 | 1.01 | -41.12 | 41.15 | 271 |
| B25R | 34.63 | 22.38 | -40.91 | 46.64 | 299 |
| B50R | 45.15 | 55.92 | -18.57 | 58.93 | 342 |
| B75R | 51.85 | 65.84 | 12.67 | 67.04 | 411 |



ZG920-7N, 9stufige Reihen für konstanten CIELAB Buntton 92/360 = 0.255 (links)

ZG920-7N, 16stufige Reihen für konstanten CIELAB Buntton 92/360 = 0.255 (rechts)

BAM-Prüfvorlage ZG92; Farbmetrik-Systeme, Seite 5/96 Eingabe: $rgb / cmy0$ set($rgb/cmyk/color$)

D65: 9 und 16stufige Farbreihen für 16 Elementar-Bunttöne Ausgabe: keine Eingabeänderung

Siehe ähnliche Dateien: <http://www.ps.bam.de/ZG92/>; <http://www.ps.bam.de/ZG.HTM>
Technische Information: <http://www.ps.bam.de> Version 2.1, 10-1.1

BAM-Registrierung: 20071001-ZG92/L92G00N1.PS/.TXT
Anwendung für Beurteilung und Messung von Drucker- oder Monitorsystemen

BAM-Material-Code=matda

Eingabe: Farbmetrisches Offset-Reflektiv-System ORS18

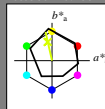
für Buntton $h^* = lab^*h = 103/360 = 0.286$

lab^*tch und lab^*nch

D65: Buntton J25G

LCH*Ma: 85 78 103

olv*Ma: 0.84 1.0 0.0



Dreiecks-Helligkeit i^*

%Umfang

$u^*_{rel} = 85$

%Regularität

$g^*_{H,rel} = 57$

$g^*_{C,rel} = 59$

ORS18; adaptierte CIELAB-Daten

| | $L^* = L^*_a$ | a^*_a | b^*_a | $C^*_{ab,a}$ | $h^*_{ab,a}$ |
|------|---------------|---------|---------|--------------|--------------|
| OMa | 51.74 | 60.16 | 46.48 | 76.02 | 38 |
| YMa | 90.77 | -9.44 | 84.41 | 84.94 | 96 |
| LMa | 54.46 | -57.8 | 32.16 | 66.15 | 151 |
| CMa | 61.56 | -27.91 | -41.41 | 49.95 | 236 |
| VMa | 31.3 | 28.61 | -40.85 | 49.88 | 305 |
| MMa | 51.91 | 69.26 | -7.69 | 69.68 | 354 |
| NMa | 24.2 | 0.0 | 0.0 | 0.0 | 0 |
| WMa | 95.41 | 0.0 | 0.0 | 0.0 | 0 |
| RCIE | 44.36 | 53.97 | 24.82 | 59.4 | 25 |
| JCIE | 82.39 | -1.99 | 62.34 | 62.37 | 92 |
| GCIE | 55.68 | -38.87 | 10.82 | 40.36 | 164 |
| BCIE | 35.76 | 1.06 | -43.09 | 43.11 | 271 |

Ausgabe: Farbmetrisches Offset-Reflektiv-System ORS18

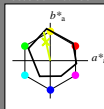
für Buntton $h^* = lab^*h = 103/360 = 0.286$

lab^*tch und lab^*nch

D65: Buntton J25G

LCH*Ma: 85 78 103

olv*Ma: 0.84 1.0 0.0



Dreiecks-Helligkeit i^*

%Umfang

$u^*_{rel} = 85$

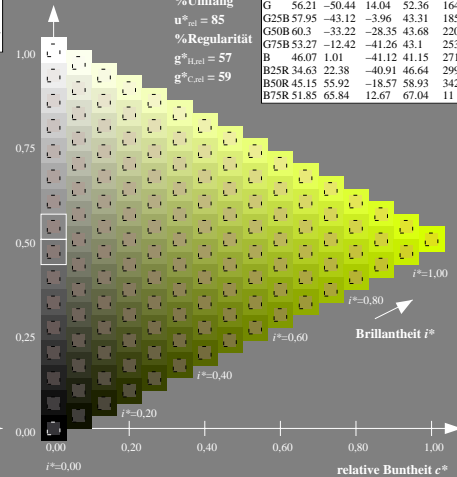
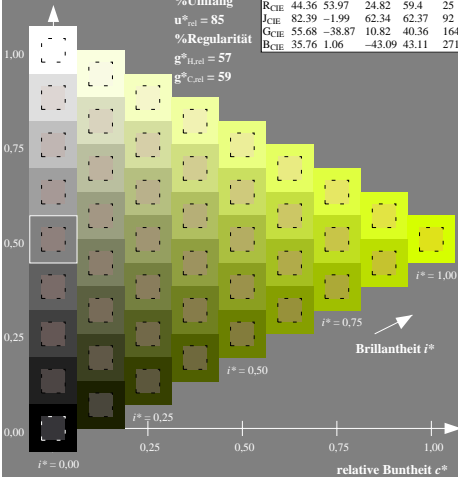
%Regularität

$g^*_{H,rel} = 57$

$g^*_{C,rel} = 59$

ORS18; adaptierte CIELAB-Daten

| | $L^* = L^*_a$ | a^*_a | b^*_a | $C^*_{ab,a}$ | $h^*_{ab,a}$ |
|------|---------------|---------|---------|--------------|--------------|
| R | 51.79 | 63.09 | 29.02 | 69.44 | 25 |
| R25J | 53.73 | 56.6 | 48.42 | 74.48 | 41 |
| R50J | 65.47 | 35.67 | 59.82 | 69.65 | 59 |
| R75J | 76.51 | 15.98 | 70.55 | 72.34 | 77 |
| J | 86.93 | -2.58 | 80.67 | 80.71 | 92 |
| J25G | 84.92 | -17.23 | 75.99 | 77.92 | 103 |
| J50G | 73.11 | -32.96 | 59.0 | 67.58 | 119 |
| J75G | 60.06 | -50.34 | 40.22 | 64.44 | 141 |
| G | 56.21 | -50.44 | 14.04 | 52.36 | 164 |
| G25B | 57.95 | -43.12 | -3.96 | 43.31 | 185 |
| G50B | 60.3 | -33.22 | -28.35 | 43.68 | 220 |
| G75B | 53.27 | -12.42 | -41.26 | 43.1 | 253 |
| B | 46.07 | 1.01 | -41.12 | 41.15 | 271 |
| B25R | 34.63 | 22.38 | -40.91 | 46.64 | 299 |
| B50R | 45.15 | 55.92 | -18.57 | 58.93 | 342 |
| B75R | 51.85 | 65.84 | 12.67 | 67.04 | 411 |



ZG920-7N, 9stufige Reihen für konstanten CIELAB Buntton 103/360 = 0.286 (links)

ZG920-7N, 16stufige Reihen für konstanten CIELAB Buntton 103/360 = 0.286 (rechts)

BAM-Prüfvorlage ZG92; Farbmetrik-Systeme, Seite 6/96 Eingabe: $rgb / cmy0$ set($rgb/cmyk/color$)
D65: 9 und 16stufige Farbreihen für 16 Elementar-Bunttöne Ausgabe: keine Eingabeänderung

Eingabe: Farbmetrisches Offset-Reflektiv-System ORS18

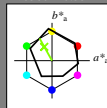
für Buntton $h^* = lab^*h = 119/360 = 0.331$

lab^*ch und lab^*nch

D65: Buntton J50G

LCH*Ma: 73 68 119

olv*Ma: 0.51 1.0 0.0



Dreiecks-Helligkeit i^*

%Umfang

$u^*_{rel} = 85$

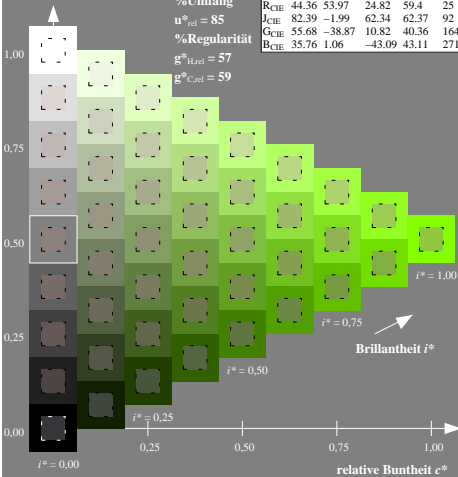
%Regularität

$g^*_{H,rel} = 57$

$g^*_{C,rel} = 59$

ORS18; adaptierte CIELAB-Daten

| | $L^*=L^*_a$ | a^*_a | b^*_a | $C^*_{ab,a}$ | $h^*_{ab,a}$ |
|------------------|-------------|---------|---------|--------------|--------------|
| O _{Ma} | 51.74 | 60.16 | 46.48 | 76.02 | 38 |
| Y _{Ma} | 90.77 | -9.44 | 84.41 | 84.94 | 96 |
| L _{Ma} | 54.46 | -57.8 | 32.16 | 66.15 | 151 |
| C _{Ma} | 61.56 | -27.91 | -41.41 | 49.95 | 236 |
| V _{Ma} | 31.3 | 28.61 | -40.85 | 49.88 | 305 |
| M _{Ma} | 51.91 | 69.26 | -7.69 | 69.68 | 354 |
| N _{Ma} | 24.2 | 0.0 | 0.0 | 0.0 | 0 |
| W _{Ma} | 95.41 | 0.0 | 0.0 | 0.0 | 0 |
| R _{CIE} | 44.36 | 53.97 | 24.82 | 59.4 | 25 |
| J _{CIE} | 82.39 | -1.99 | 62.34 | 62.37 | 92 |
| G _{CIE} | 55.68 | -38.87 | 10.82 | 40.36 | 164 |
| B _{CIE} | 35.76 | 1.06 | -43.09 | 43.11 | 271 |



Ausgabe: Farbmetrisches Offset-Reflektiv-System ORS18

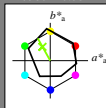
für Buntton $h^* = lab^*h = 119/360 = 0.331$

lab^*ch und lab^*nch

D65: Buntton J50G

LCH*Ma: 73 68 119

olv*Ma: 0.51 1.0 0.0



Dreiecks-Helligkeit i^*

%Umfang

$u^*_{rel} = 85$

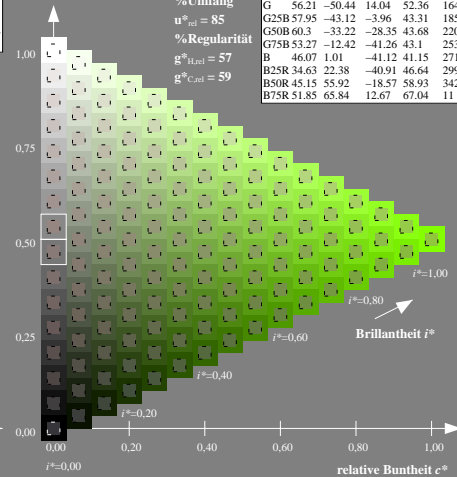
%Regularität

$g^*_{H,rel} = 57$

$g^*_{C,rel} = 59$

ORS18; adaptierte CIELAB-Daten

| | $L^*=L^*_a$ | a^*_a | b^*_a | $C^*_{ab,a}$ | $h^*_{ab,a}$ |
|------|-------------|---------|---------|--------------|--------------|
| R | 51.79 | 63.09 | 29.02 | 69.44 | 25 |
| R25J | 53.73 | 56.6 | 48.42 | 74.48 | 41 |
| R50J | 65.47 | 35.67 | 59.82 | 69.65 | 59 |
| R75J | 76.51 | 15.98 | 70.55 | 72.34 | 77 |
| J | 86.93 | -2.58 | 80.67 | 80.71 | 92 |
| J25G | 84.92 | -17.23 | 75.99 | 77.92 | 103 |
| J50G | 73.11 | -32.96 | 59.0 | 67.58 | 119 |
| J75G | 60.06 | -50.34 | 40.22 | 64.44 | 141 |
| G | 56.21 | -50.44 | 14.04 | 52.36 | 164 |
| G25B | 57.95 | -43.12 | -3.96 | 43.31 | 185 |
| G50B | 60.3 | -33.22 | -28.35 | 43.68 | 220 |
| G75B | 53.27 | -12.42 | -41.26 | 43.1 | 253 |
| B | 46.07 | 1.01 | -41.12 | 41.15 | 271 |
| B25R | 34.63 | 22.38 | -40.91 | 46.64 | 299 |
| B50R | 45.15 | 55.92 | -18.57 | 58.93 | 342 |
| B75R | 51.85 | 65.84 | 12.67 | 67.04 | 411 |



ZG920-7N, 9stufige Reihen für konstanten CIELAB Buntton 119/360 = 0.331 (links)

Seite 7/96

ZG920-7N, 16stufige Reihen für konstanten CIELAB Buntton 119/360 = 0.331 (rechts)

BAM-Prüfvorlage ZG92; Farbmetrik-Systeme, Seite 7/96 Eingabe: $rgb / cmy0$ set($rgb/cmykcolor$)

D65: 9 und 16stufige Farbreihen für 16 Elementar-Bunttöne Ausgabe: keine Eingabeänderung

Siehe ähnliche Dateien: <http://www.ps.bam.de/ZG92/>; <http://www.ps.bam.de/ZG9200N1.PS/.TXT>
Technische Information: <http://www.ps.bam.de> Version 2.1, 10-1.1

BAM-Registrierung: 20071001-ZG92/L92G00N1.PS/.TXT
Anwendung für Beurteilung und Messung von Drucker- oder Monitorsystemen

BAM-Material-Code=na14a

Eingabe: Farbmetrisches Offset-Refektiv-System ORS18

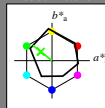
für Buntton $h^* = lab^*h = 141/360 = 0.393$

lab^*ich und lab^*nch

D65: Buntton J75G

LCH*Ma: 60 64 141

olv*Ma: 0.15 1.0 0.0



Dreiecks-Helligkeit i^*

%Umfang

$u^*_{rel} = 85$

%Regularität

$g^*_{H,rel} = 57$

$g^*_{C,rel} = 59$

ORS18; adaptierte CIELAB-Daten

| | $L^*=L^*_a$ | a^*_a | b^*_a | $C^*_{ab,a}$ | $h^*_{ab,a}$ |
|------------------|-------------|---------|---------|--------------|--------------|
| O _{Ma} | 51.74 | 60.16 | 46.48 | 76.02 | 38 |
| Y _{Ma} | 90.77 | -9.44 | 84.41 | 84.94 | 96 |
| L _{Ma} | 54.46 | -57.8 | 32.16 | 66.15 | 151 |
| C _{Ma} | 61.56 | -27.91 | -41.41 | 49.95 | 236 |
| V _{Ma} | 31.3 | 28.61 | -40.85 | 49.88 | 305 |
| M _{Ma} | 51.91 | 69.26 | -7.69 | 69.68 | 354 |
| N _{Ma} | 24.2 | 0.0 | 0.0 | 0.0 | 0 |
| W _{Ma} | 95.41 | 0.0 | 0.0 | 0.0 | 0 |
| R _{CIE} | 44.36 | 53.97 | 24.82 | 59.4 | 25 |
| J _{CIE} | 82.39 | -1.99 | 62.34 | 62.37 | 92 |
| G _{CIE} | 55.68 | -38.87 | 10.82 | 40.36 | 164 |
| B _{CIE} | 35.76 | 1.06 | -43.09 | 43.11 | 271 |

Ausgabe: Farbmetrisches Offset-Refektiv-System ORS18

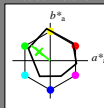
für Buntton $h^* = lab^*h = 141/360 = 0.393$

lab^*ich und lab^*nch

D65: Buntton J75G

LCH*Ma: 60 64 141

olv*Ma: 0.15 1.0 0.0



Dreiecks-Helligkeit i^*

%Umfang

$u^*_{rel} = 85$

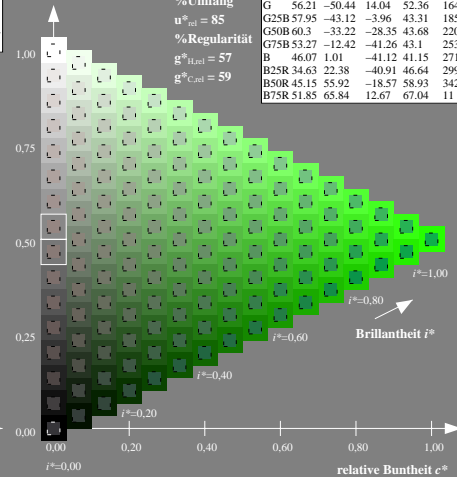
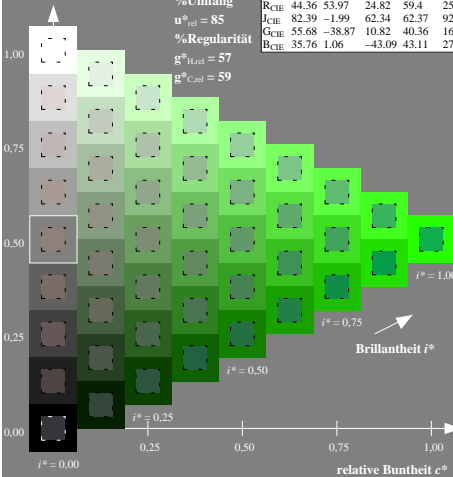
%Regularität

$g^*_{H,rel} = 57$

$g^*_{C,rel} = 59$

ORS18; adaptierte CIELAB-Daten

| | $L^*=L^*_a$ | a^*_a | b^*_a | $C^*_{ab,a}$ | $h^*_{ab,a}$ |
|------|-------------|---------|---------|--------------|--------------|
| R | 51.79 | 63.09 | 29.02 | 69.44 | 25 |
| R25J | 53.73 | 56.6 | 48.42 | 74.48 | 41 |
| R50J | 65.47 | 35.67 | 59.82 | 69.65 | 59 |
| R75J | 76.51 | 15.98 | 70.55 | 72.34 | 77 |
| J | 86.93 | -2.58 | 80.67 | 80.71 | 92 |
| J25G | 84.92 | -17.23 | 75.99 | 77.92 | 103 |
| J50G | 73.11 | -32.96 | 59.0 | 67.58 | 119 |
| J75G | 60.06 | -50.34 | 40.22 | 64.44 | 141 |
| G | 56.21 | -50.44 | 14.04 | 52.36 | 164 |
| G25B | 57.95 | -43.12 | -3.96 | 43.31 | 185 |
| G50B | 60.3 | -33.22 | -28.35 | 43.68 | 220 |
| G75B | 53.27 | -12.42 | -41.26 | 43.1 | 253 |
| B | 46.07 | 1.01 | -41.12 | 41.15 | 271 |
| B25R | 34.63 | 22.38 | -40.91 | 46.64 | 299 |
| B50R | 45.15 | 55.92 | -18.57 | 58.93 | 342 |
| B75R | 51.85 | 65.84 | 12.67 | 67.04 | 411 |



ZG920-7N, 9stufige Reihen für konstanten CIELAB Buntton 141/360 = 0.393 (links)

ZG920-7N, 16stufige Reihen für konstanten CIELAB Buntton 141/360 = 0.393 (rechts)

BAM-Prüfvorlage ZG92; Farbmetrik-Systeme, Seite 8/96 Eingabe: $rgb / cmy0$ set($rgb/cmyk/color$)
D65: 9 und 16stufige Farbreihen für 16 Elementar-Bunttöne Ausgabe: keine Eingabeänderung

Eingabe: Farbmetrisches Offset-Reflektiv-System ORS18

für Buntton $h^* = lab^*h = 164/360 = 0.457$

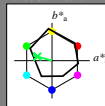
lab^*tch und lab^*nch

D65: Buntton G

LCH*Ma: 56 52 164

olv*Ma: 0.0 1.0 0.25

Dreiecks-Helligkeit i^*



%Umfang

$u^*_{rel} = 85$

%Regularität

$g^*_{H,rel} = 57$

$g^*_{C,rel} = 59$

ORS18; adaptierte CIELAB-Daten

| | $L^*=L^*_a$ | a^*_a | b^*_a | $C^*_{ab,a}$ | $h^*_{ab,a}$ |
|------------------|-------------|---------|---------|--------------|--------------|
| O _{Ma} | 51.74 | 60.16 | 46.48 | 76.02 | 38 |
| Y _{Ma} | 90.77 | -9.44 | 84.41 | 84.94 | 96 |
| L _{Ma} | 54.46 | -57.8 | 32.16 | 66.15 | 151 |
| C _{Ma} | 61.56 | -27.91 | -41.41 | 49.95 | 236 |
| V _{Ma} | 31.3 | 28.61 | -40.85 | 49.88 | 305 |
| M _{Ma} | 51.91 | 69.26 | -7.69 | 69.68 | 354 |
| N _{Ma} | 24.2 | 0.0 | 0.0 | 0.0 | 0 |
| W _{Ma} | 95.41 | 0.0 | 0.0 | 0.0 | 0 |
| R _{CIE} | 44.36 | 53.97 | 24.82 | 59.4 | 25 |
| J _{CIE} | 82.39 | -1.99 | 62.34 | 62.37 | 92 |
| G _{CIE} | 55.68 | -38.87 | 10.82 | 40.36 | 164 |
| B _{CIE} | 35.76 | 1.06 | -43.09 | 43.11 | 271 |

Ausgabe: Farbmetrisches Offset-Reflektiv-System ORS18

für Buntton $h^* = lab^*h = 164/360 = 0.457$

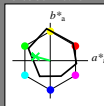
lab^*tch und lab^*nch

D65: Buntton G

LCH*Ma: 56 52 164

olv*Ma: 0.0 1.0 0.25

Dreiecks-Helligkeit i^*



%Umfang

$u^*_{rel} = 85$

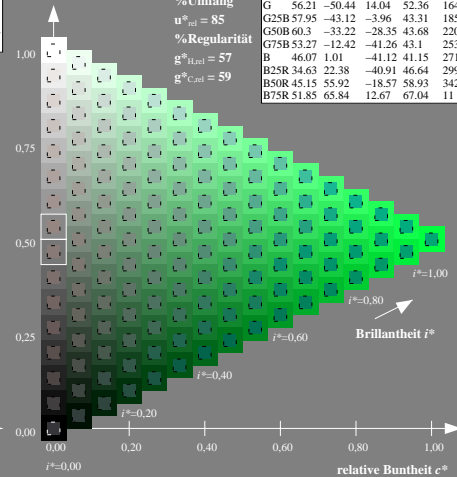
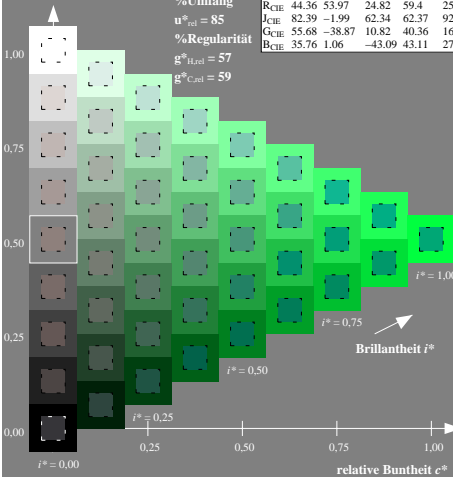
%Regularität

$g^*_{H,rel} = 57$

$g^*_{C,rel} = 59$

ORS18; adaptierte CIELAB-Daten

| | $L^*=L^*_a$ | a^*_a | b^*_a | $C^*_{ab,a}$ | $h^*_{ab,a}$ |
|------|-------------|---------|---------|--------------|--------------|
| R | 51.79 | 63.09 | 29.02 | 69.44 | 25 |
| R25J | 53.73 | 56.6 | 48.42 | 74.48 | 41 |
| R50J | 65.47 | 35.67 | 59.82 | 69.65 | 59 |
| R75J | 76.51 | 15.98 | 70.55 | 72.34 | 77 |
| J | 86.93 | -2.58 | 80.67 | 80.71 | 92 |
| J25G | 84.92 | -17.23 | 75.99 | 77.92 | 103 |
| J50G | 73.11 | -32.96 | 59.0 | 67.58 | 119 |
| J75G | 60.06 | -50.34 | 40.22 | 64.44 | 141 |
| G | 56.21 | -50.44 | 14.04 | 52.36 | 164 |
| G25B | 57.95 | -43.12 | -3.96 | 43.31 | 185 |
| G50B | 60.3 | -33.22 | -28.35 | 43.68 | 220 |
| G75B | 53.27 | -12.42 | -41.26 | 43.1 | 253 |
| B | 46.07 | 1.01 | -41.12 | 41.15 | 271 |
| B25R | 34.63 | 22.38 | -40.91 | 46.64 | 299 |
| B50R | 45.15 | 55.92 | -18.57 | 58.93 | 342 |
| B75R | 51.85 | 65.84 | 12.67 | 67.04 | 411 |



ZG920-7N, 9stufige Reihen für konstanten CIELAB Buntton 164/360 = 0.457 (links)

ZG920-7N, 16stufige Reihen für konstanten CIELAB Buntton 164/360 = 0.457 (rechts)

BAM-Prüfvorlage ZG92; Farbmetrik-Systeme, Seite 9/96 Eingabe: $rgb / cmy0$ set($rgb/cmyk/color$)

D65: 9 und 16stufige Farbreihen für 16 Elementar-Bunttöne Ausgabe: keine Eingabeänderung

Siehe ähnliche Dateien: <http://www.ps.bam.de/ZG92/>; <http://www.ps.bam.de/ZG.HTM>
Technische Information: <http://www.ps.bam.de> Version 2.1, 10-1.1

BAM-Registrierung: 20071001-ZG92/L92G00N1.PS/.TXT
Anwendung für Beurteilung und Messung von Drucker- oder Monitorsystemen

BAM-Material-Code=thada

Eingabe: Farbmetrisches Offset-Reflektiv-System ORS18

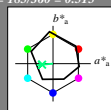
für Buntton $h^* = lab^*h = 185/360 = 0.515$

lab^*ch und lab^*nch

D65: Buntton G25B

LCH*Ma: 58 43 185

olv*Ma: 0.0 1.0 0.49

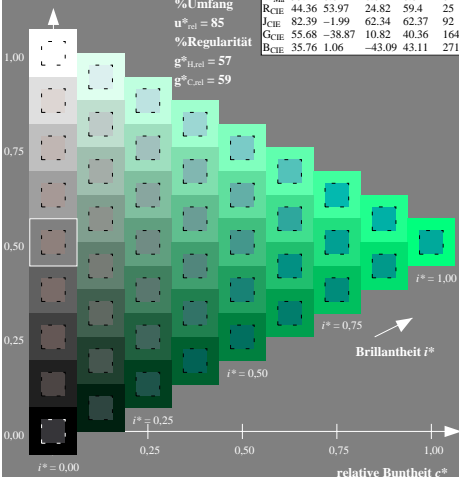


ORS18; adaptierte CIELAB-Daten

| | $L^*=L^*_a$ | a^*_a | b^*_a | $C^*_{ab,a}$ | $h^*_{ab,a}$ |
|------------------|-------------|---------|---------|--------------|--------------|
| O _{Ma} | 51.74 | 60.16 | 46.48 | 76.02 | 38 |
| Y _{Ma} | 90.77 | -9.44 | 84.41 | 84.94 | 96 |
| L _{Ma} | 54.46 | -57.8 | 32.16 | 66.15 | 151 |
| C _{Ma} | 61.56 | -27.91 | -41.41 | 49.95 | 236 |
| V _{Ma} | 31.3 | 28.61 | -40.85 | 49.88 | 305 |
| M _{Ma} | 51.91 | 69.26 | -7.69 | 69.68 | 354 |
| N _{Ma} | 24.2 | 0.0 | 0.0 | 0.0 | 0 |
| W _{Ma} | 95.41 | 0.0 | 0.0 | 0.0 | 0 |
| R _{CIE} | 44.36 | 53.97 | 24.82 | 59.4 | 25 |
| J _{CIE} | 82.39 | -1.99 | 62.34 | 62.37 | 92 |
| G _{CIE} | 55.68 | -38.87 | 10.82 | 40.36 | 164 |
| B _{CIE} | 35.76 | 1.06 | -43.09 | 43.11 | 271 |

%Umfang
 $u^*_{rel} = 85$
%Regularität
 $g^*_{H,rel} = 57$
 $g^*_{C,rel} = 59$

Dreiecks-Helligkeit i^*



Ausgabe: Farbmetrisches Offset-Reflektiv-System ORS18

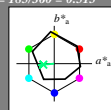
für Buntton $h^* = lab^*h = 185/360 = 0.515$

lab^*ch und lab^*nch

D65: Buntton G25B

LCH*Ma: 58 43 185

olv*Ma: 0.0 1.0 0.49

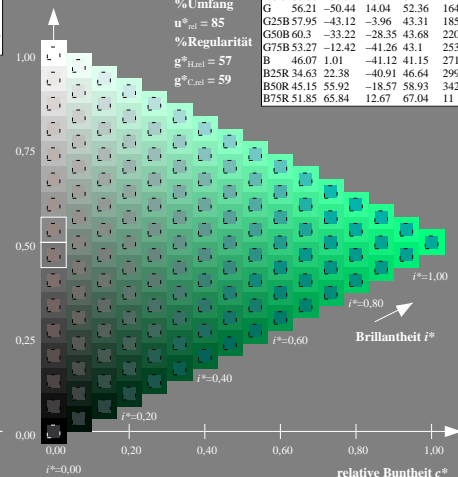


ORS18; adaptierte CIELAB-Daten

| | $L^*=L^*_a$ | a^*_a | b^*_a | $C^*_{ab,a}$ | $h^*_{ab,a}$ |
|------|-------------|---------|---------|--------------|--------------|
| R | 51.79 | 63.09 | 29.02 | 69.44 | 25 |
| R25J | 53.73 | 56.6 | 48.42 | 74.48 | 41 |
| R50J | 65.47 | 35.67 | 59.82 | 69.65 | 59 |
| R75J | 76.51 | 15.98 | 70.55 | 72.34 | 77 |
| J | 86.93 | -2.58 | 80.67 | 80.71 | 92 |
| J25G | 84.92 | -17.23 | 75.99 | 77.92 | 103 |
| J50G | 73.11 | -32.96 | 59.0 | 67.58 | 119 |
| J75G | 60.06 | -50.34 | 40.22 | 64.44 | 141 |
| G | 56.21 | -50.44 | 14.04 | 52.36 | 164 |
| G25B | 57.95 | -43.12 | -3.96 | 43.31 | 185 |
| G50B | 60.3 | -33.22 | -28.35 | 43.68 | 220 |
| G75B | 53.27 | -12.42 | -41.26 | 43.1 | 253 |
| B | 46.07 | 1.01 | -41.12 | 41.15 | 271 |
| B25R | 34.63 | 22.38 | -40.91 | 46.64 | 299 |
| B50R | 45.15 | 55.92 | -18.57 | 58.93 | 342 |
| B75R | 51.85 | 65.84 | 12.67 | 67.04 | 411 |

%Umfang
 $u^*_{rel} = 85$
%Regularität
 $g^*_{H,rel} = 57$
 $g^*_{C,rel} = 59$

Dreiecks-Helligkeit i^*



ZG920-7N, 9stufige Reihen für konstanten CIELAB Buntton 185/360 = 0.515 (links)

ZG920-7N, 16stufige Reihen für konstanten CIELAB Buntton 185/360 = 0.515 (rechts)

BAM-Prüfvorlage ZG92; Farbmetrik-Systeme, Seite 10/96 Eingabe: $rgb / cmy0$ set($rgb/cmyk/color$)
D65: 9 und 16stufige Farbreihen für 16 Elementar-Bunttöne Ausgabe: keine Eingabeänderung

Siehe ähnliche Dateien: <http://www.ps.bam.de/ZG92/>; <http://www.ps.bam.de/ZG.HTM>
Technische Information: <http://www.ps.bam.de> Version 2.1, 10-1.1

BAM-Registrierung: 20071001-ZG92/L92G00N1.PS/TXT
Anwendung für Beurteilung und Messung von Drucker- oder Monitorsystemen

BAM-Material-Code=thada

Eingabe: Farbmetrisches Offset-Reflektiv-System ORS18

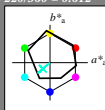
für Buntton $h^* = lab^*h = 220/360 = 0.612$

lab^*tch und lab^*nch

D65: Buntton G50B

LCH*Ma: 60 44 220

olv*Ma: 0.0 1.0 0.82



Dreiecks-Helligkeit i^*

%Umfang

$u^*_{rel} = 85$

%Regularität

$g^*_{H,rel} = 57$

$g^*_{C,rel} = 59$

ORS18; adaptierte CIELAB-Daten

| | $L^*=L^*_a$ | a^*_a | b^*_a | $C^*_{ab,a}$ | $h^*_{ab,a}$ |
|------------------|-------------|---------|---------|--------------|--------------|
| O _{Ma} | 51.74 | 60.16 | 46.48 | 76.02 | 38 |
| Y _{Ma} | 90.77 | -9.44 | 84.41 | 84.94 | 96 |
| L _{Ma} | 54.46 | -57.8 | 32.16 | 66.15 | 151 |
| C _{Ma} | 61.56 | -27.91 | -41.41 | 49.95 | 236 |
| V _{Ma} | 31.3 | 28.61 | -40.85 | 49.88 | 305 |
| M _{Ma} | 51.91 | 69.26 | -7.69 | 69.68 | 354 |
| N _{Ma} | 24.2 | 0.0 | 0.0 | 0.0 | 0 |
| W _{Ma} | 95.41 | 0.0 | 0.0 | 0.0 | 0 |
| R _{CIE} | 44.36 | 53.97 | 24.82 | 59.4 | 25 |
| J _{CIE} | 82.39 | -1.99 | 62.34 | 62.37 | 92 |
| G _{CIE} | 55.68 | -38.87 | 10.82 | 40.36 | 164 |
| B _{CIE} | 35.76 | 1.06 | -43.09 | 43.11 | 271 |

Ausgabe: Farbmetrisches Offset-Reflektiv-System ORS18

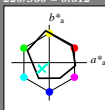
für Buntton $h^* = lab^*h = 220/360 = 0.612$

lab^*tch und lab^*nch

D65: Buntton G50B

LCH*Ma: 60 44 220

olv*Ma: 0.0 1.0 0.82



Dreiecks-Helligkeit i^*

%Umfang

$u^*_{rel} = 85$

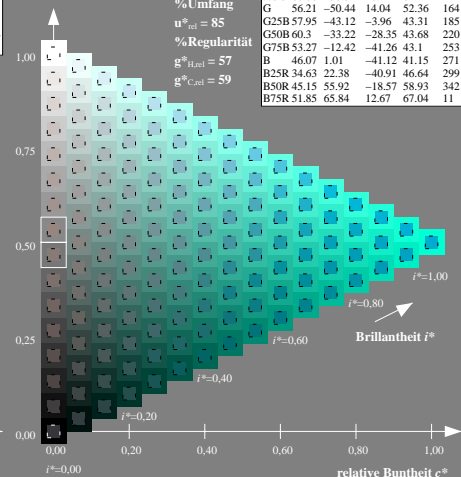
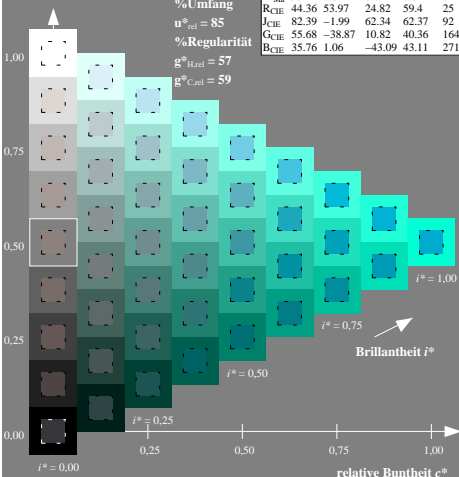
%Regularität

$g^*_{H,rel} = 57$

$g^*_{C,rel} = 59$

ORS18; adaptierte CIELAB-Daten

| | $L^*=L^*_a$ | a^*_a | b^*_a | $C^*_{ab,a}$ | $h^*_{ab,a}$ |
|------|-------------|---------|---------|--------------|--------------|
| R | 51.79 | 63.09 | 29.02 | 69.44 | 25 |
| R25J | 53.73 | 56.6 | 48.42 | 74.48 | 41 |
| R50J | 65.47 | 35.67 | 59.82 | 69.65 | 59 |
| R75J | 76.51 | 15.98 | 70.55 | 72.34 | 77 |
| J | 86.93 | -2.58 | 80.67 | 80.71 | 92 |
| J25G | 84.92 | -17.23 | 75.99 | 77.92 | 103 |
| J50G | 73.11 | -32.96 | 59.0 | 67.58 | 119 |
| J75G | 60.06 | -50.34 | 40.22 | 64.44 | 141 |
| G | 56.21 | -50.44 | 14.04 | 52.36 | 164 |
| G25B | 57.95 | -43.12 | -3.96 | 43.31 | 185 |
| G50B | 60.3 | -33.22 | -28.35 | 43.68 | 220 |
| G75B | 53.27 | -12.42 | -41.26 | 43.1 | 253 |
| B | 46.07 | 1.01 | -41.12 | 41.15 | 271 |
| B25R | 34.63 | 22.38 | -40.91 | 46.64 | 299 |
| B50R | 45.15 | 55.92 | -18.57 | 58.93 | 342 |
| B75R | 51.85 | 65.84 | 12.67 | 67.04 | 411 |



ZG920-7N, 9stufige Reihen für konstanten CIELAB Buntton 220/360 = 0.612 (links) Seite 11/96

ZG920-7N, 16stufige Reihen für konstanten CIELAB Buntton 220/360 = 0.612 (rechts)

BAM-Prüfvorlage ZG92; Farbmetrik-Systeme, Seite 11/96 Eingabe: $rgb / cmy0$ set($rgb/cmyk/color$)
D65: 9 und 16stufige Farbreihen für 16 Elementar-Bunttöne Ausgabe: keine Eingabeänderung

Eingabe: Farbmetrisches Offset-Reflektiv-System ORS18

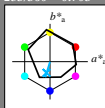
für Buntton $h^* = lab^*h = 253/360 = 0.703$

lab^*ch und lab^*nh

D65: Buntton G75B

LCH*Ma: 53 43 253

olv*Ma: 0.0 0.73 1.0

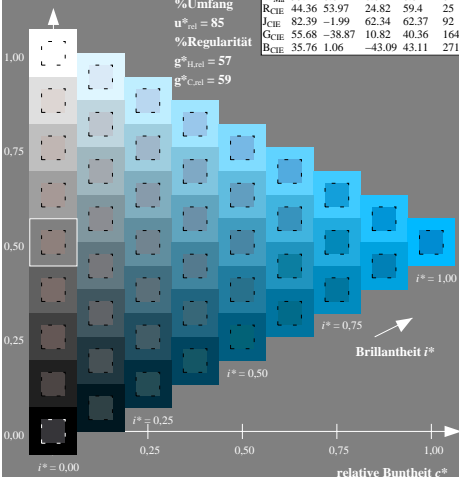


Dreiecks-Helligkeit i^*

%Umfang
 $u^*_{rel} = 85$
%Regularität
 $g^*_{H,rel} = 57$
 $g^*_{C,rel} = 59$

ORS18; adaptierte CIELAB-Daten

| | $L^*=L^*_a$ | a^*_a | b^*_a | C^*_{aba} | h^*_{aba} |
|------------------|-------------|---------|---------|-------------|-------------|
| O _{Ma} | 51.74 | 60.16 | 46.48 | 76.02 | 38 |
| Y _{Ma} | 90.77 | -9.44 | 84.41 | 84.94 | 96 |
| L _{Ma} | 54.46 | -57.8 | 32.16 | 66.15 | 151 |
| C _{Ma} | 61.56 | -27.91 | -41.41 | 49.95 | 236 |
| V _{Ma} | 31.3 | 28.61 | -40.85 | 49.88 | 305 |
| N _{Ma} | 51.91 | 69.26 | -7.69 | 69.68 | 354 |
| M _{Ma} | 24.2 | 0.0 | 0.0 | 0.0 | 0 |
| W _{Ma} | 95.41 | 0.0 | 0.0 | 0.0 | 0 |
| R _{CIE} | 44.36 | 53.97 | 24.82 | 59.4 | 25 |
| J _{CIE} | 82.39 | -1.99 | 62.34 | 62.37 | 92 |
| G _{CIE} | 55.68 | -38.87 | 10.82 | 40.36 | 164 |
| B _{CIE} | 35.76 | 1.06 | -43.09 | 43.11 | 271 |



Ausgabe: Farbmetrisches Offset-Reflektiv-System ORS18

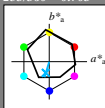
für Buntton $h^* = lab^*h = 253/360 = 0.703$

lab^*ch und lab^*nh

D65: Buntton G75B

LCH*Ma: 53 43 253

olv*Ma: 0.0 0.73 1.0

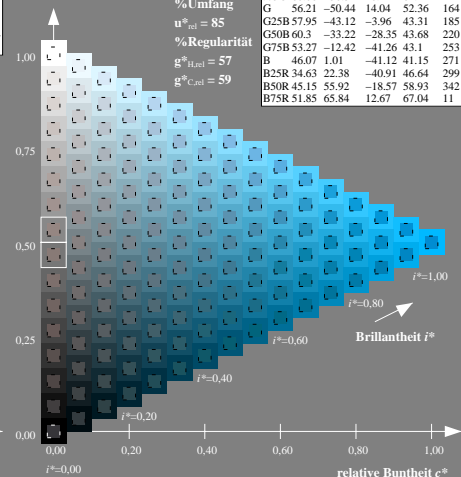


Dreiecks-Helligkeit i^*

%Umfang
 $u^*_{rel} = 85$
%Regularität
 $g^*_{H,rel} = 57$
 $g^*_{C,rel} = 59$

ORS18; adaptierte CIELAB-Daten

| | $L^*=L^*_a$ | a^*_a | b^*_a | C^*_{aba} | h^*_{aba} |
|------|-------------|---------|---------|-------------|-------------|
| R | 51.79 | 63.09 | 29.02 | 69.44 | 25 |
| R25J | 53.73 | 56.6 | 48.42 | 74.48 | 41 |
| R50J | 65.47 | 35.67 | 59.82 | 69.65 | 59 |
| R75J | 76.51 | 15.98 | 70.55 | 72.34 | 77 |
| J | 86.93 | -2.58 | 80.67 | 80.71 | 92 |
| J25G | 84.92 | -17.23 | 75.99 | 77.92 | 103 |
| J50G | 73.11 | -32.96 | 59.0 | 67.58 | 119 |
| J75G | 60.06 | -50.34 | 40.22 | 64.44 | 141 |
| G | 56.21 | -50.44 | 14.04 | 52.36 | 164 |
| G25B | 57.95 | -43.12 | -3.96 | 43.31 | 185 |
| G50B | 60.3 | -33.22 | -28.35 | 43.68 | 220 |
| G75B | 53.27 | -12.42 | -41.26 | 43.1 | 253 |
| B | 46.07 | 1.01 | -41.12 | 41.15 | 271 |
| B25R | 34.63 | 22.38 | -40.91 | 46.64 | 299 |
| B50R | 45.15 | 55.92 | -18.57 | 58.93 | 342 |
| B75R | 51.85 | 65.84 | 12.67 | 67.04 | 411 |



ZG920-7N, 9stufige Reihen für konstanten CIELAB Buntton 253/360 = 0.703 (links)

ZG920-7N, 16stufige Reihen für konstanten CIELAB Buntton 253/360 = 0.703 (rechts)

BAM-Prüfvorlage ZG92; Farbmetrik-Systeme, Seite 12/96 Eingabe: $rgb / cmy0$ set($rgb/cmyk$)color
D65: 9 und 16stufige Farbreihen für 16 Elementar-Bunttöne Ausgabe: keine Eingabeänderung

Eingabe: Farbmetrisches Offset-Reflektiv-System ORS18

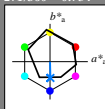
für Buntton $h^* = \text{lab}^*h = 271/360 = 0.754$

lab^*tch und lab^*nch

D65: Buntton B

LCH*Ma: 46 41 271

olv*Ma: 0.0 0.49 1.0



Dreiecks-Helligkeit t^*

%Umfang

$u^*_{rel} = 85$

%Regularität

$g^*_{H,rel} = 57$

$g^*_{C,rel} = 59$

ORS18; adaptierte CIELAB-Daten

| | $L^*=L^*_a$ | a^*_a | b^*_a | C^*_{aba} | h^*_{aba} |
|------------------|-------------|---------|---------|-------------|-------------|
| O _{Ma} | 51.74 | 60.16 | 46.48 | 76.02 | 38 |
| Y _{Ma} | 90.77 | -9.44 | 84.41 | 84.94 | 96 |
| L _{Ma} | 54.46 | -57.8 | 32.16 | 66.15 | 151 |
| C _{Ma} | 61.56 | -27.91 | -41.41 | 49.95 | 236 |
| V _{Ma} | 31.3 | 28.61 | -40.85 | 49.88 | 305 |
| M _{Ma} | 51.91 | 69.26 | -7.69 | 69.68 | 354 |
| N _{Ma} | 24.2 | 0.0 | 0.0 | 0.0 | 0 |
| W _{Ma} | 95.41 | 0.0 | 0.0 | 0.0 | 0 |
| R _{CIE} | 44.36 | 53.97 | 24.82 | 59.4 | 25 |
| J _{CIE} | 82.39 | -1.99 | 62.34 | 62.37 | 92 |
| G _{CIE} | 55.68 | -38.87 | 10.82 | 40.36 | 164 |
| B _{CIE} | 35.76 | 1.06 | -43.09 | 43.11 | 271 |

Ausgabe: Farbmetrisches Offset-Reflektiv-System ORS18

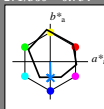
für Buntton $h^* = \text{lab}^*h = 271/360 = 0.754$

lab^*tch und lab^*nch

D65: Buntton B

LCH*Ma: 46 41 271

olv*Ma: 0.0 0.49 1.0



Dreiecks-Helligkeit t^*

%Umfang

$u^*_{rel} = 85$

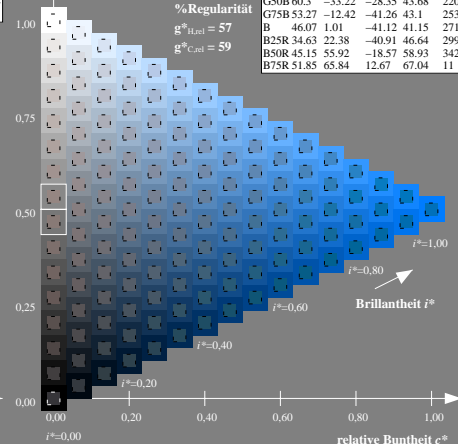
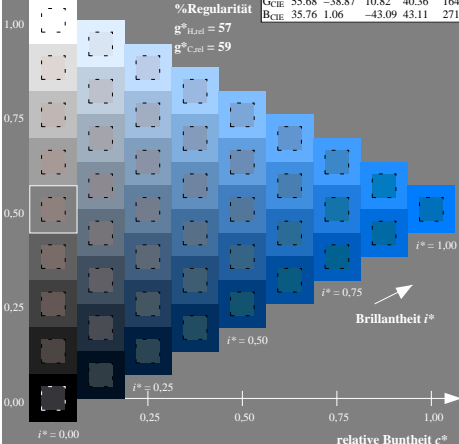
%Regularität

$g^*_{H,rel} = 57$

$g^*_{C,rel} = 59$

ORS18; adaptierte CIELAB-Daten

| | $L^*=L^*_a$ | a^*_a | b^*_a | C^*_{aba} | h^*_{aba} |
|------|-------------|---------|---------|-------------|-------------|
| R | 51.79 | 63.09 | 29.02 | 69.44 | 25 |
| R25J | 53.73 | 56.6 | 48.42 | 74.48 | 41 |
| R50J | 65.47 | 35.67 | 59.82 | 69.65 | 59 |
| R75J | 76.51 | 15.98 | 70.55 | 72.34 | 77 |
| J | 86.93 | -2.58 | 80.67 | 80.71 | 92 |
| J25G | 84.92 | -17.23 | 75.99 | 77.92 | 103 |
| J50G | 73.11 | -32.96 | 59.0 | 67.58 | 119 |
| J75G | 60.06 | -50.34 | 40.22 | 64.44 | 141 |
| G | 56.21 | -50.44 | 14.04 | 52.36 | 164 |
| G25B | 57.95 | -43.12 | -3.96 | 43.31 | 185 |
| G50B | 60.3 | -33.22 | -28.35 | 43.68 | 220 |
| G75B | 53.27 | -12.42 | -41.26 | 43.1 | 253 |
| B | 46.07 | 1.01 | -41.12 | 41.15 | 271 |
| B25R | 34.63 | 22.38 | -40.91 | 46.64 | 299 |
| B50R | 45.15 | 55.92 | -18.57 | 58.93 | 342 |
| B75R | 51.85 | 65.84 | 12.67 | 67.04 | 411 |



ZG920-7N, 9stufige Reihen für konstanten CIELAB Buntton 271/360 = 0.754 (links) Seite 13/96

ZG920-7N, 16stufige Reihen für konstanten CIELAB Buntton 271/360 = 0.754 (rechts)

BAM-Prüfvorlage ZG92; Farbmetrik-Systeme, Seite 13/96 Eingabe: $rgb / cmy0 \text{ set}(rgb/cmyk/color$
D65: 9 und 16stufige Farbreihen für 16 Elementar-Bunttöne Ausgabe: keine Eingabeänderung

Eingabe: Farbmetrisches Offset-Refektiv-System ORS18

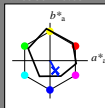
für Buntton $h^* = lab^*h = 299/360 = 0.83$

lab^*tch und lab^*nch

D65: Buntton B25R

LCH*Ma: 35 47 299

olv*Ma: 0.0 0.11 1.0



Dreiecks-Helligkeit i^*

%Umfang

$u^*_{rel} = 85$

%Regularität

$g^*_{H,rel} = 57$

$g^*_{C,rel} = 59$

ORS18; adaptierte CIELAB-Daten

| | $L^* = L^*_a$ | a^*_a | b^*_a | $C^*_{ab,a}$ | $h^*_{ab,a}$ |
|------------------|---------------|---------|---------|--------------|--------------|
| O _{Ma} | 51.74 | 60.16 | 46.48 | 76.02 | 38 |
| Y _{Ma} | 90.77 | -9.44 | 84.41 | 84.94 | 96 |
| L _{Ma} | 54.46 | -57.8 | 32.16 | 66.15 | 151 |
| C _{Ma} | 61.56 | -27.91 | -41.41 | 49.95 | 236 |
| V _{Ma} | 31.3 | 28.61 | -40.85 | 49.88 | 305 |
| M _{Ma} | 51.91 | 69.26 | -7.69 | 69.68 | 354 |
| N _{Ma} | 24.2 | 0.0 | 0.0 | 0.0 | 0 |
| W _{Ma} | 95.41 | 0.0 | 0.0 | 0.0 | 0 |
| R _{CIE} | 44.36 | 53.97 | 24.82 | 59.4 | 25 |
| J _{CIE} | 82.39 | -1.99 | 62.34 | 62.37 | 92 |
| G _{CIE} | 55.68 | -38.87 | 10.82 | 40.36 | 164 |
| B _{CIE} | 35.76 | 1.06 | -43.09 | 43.11 | 271 |

Ausgabe: Farbmetrisches Offset-Refektiv-System ORS18

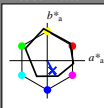
für Buntton $h^* = lab^*h = 299/360 = 0.83$

lab^*tch und lab^*nch

D65: Buntton B25R

LCH*Ma: 35 47 299

olv*Ma: 0.0 0.11 1.0



Dreiecks-Helligkeit i^*

%Umfang

$u^*_{rel} = 85$

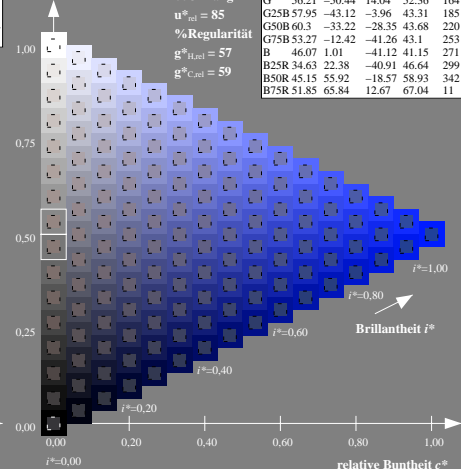
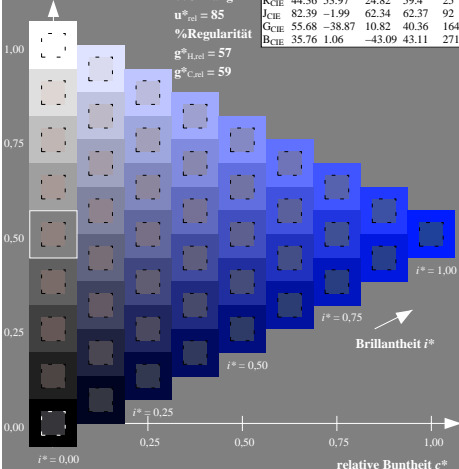
%Regularität

$g^*_{H,rel} = 57$

$g^*_{C,rel} = 59$

ORS18; adaptierte CIELAB-Daten

| | $L^* = L^*_a$ | a^*_a | b^*_a | $C^*_{ab,a}$ | $h^*_{ab,a}$ |
|------|---------------|---------|---------|--------------|--------------|
| R | 51.79 | 63.09 | 29.02 | 69.44 | 25 |
| R25J | 53.73 | 56.6 | 48.42 | 74.48 | 41 |
| R50J | 65.47 | 35.67 | 59.82 | 69.65 | 59 |
| J | 76.51 | 15.98 | 70.55 | 72.34 | 77 |
| J | 86.93 | -2.58 | 80.67 | 80.71 | 92 |
| J25G | 84.92 | -17.23 | 75.99 | 77.92 | 103 |
| J50G | 73.11 | -32.96 | 59.0 | 67.58 | 119 |
| J75G | 60.06 | -50.34 | 40.22 | 64.44 | 141 |
| G | 56.21 | -50.44 | 14.04 | 52.36 | 164 |
| G25B | 57.95 | -43.12 | -3.96 | 43.31 | 185 |
| G50B | 60.3 | -33.22 | -28.35 | 43.68 | 220 |
| G75B | 53.27 | -12.42 | -41.26 | 43.1 | 253 |
| B | 46.07 | 1.01 | -41.12 | 41.15 | 271 |
| B25R | 34.63 | 22.38 | -40.91 | 46.64 | 299 |
| B50R | 45.15 | 55.92 | -18.57 | 58.93 | 342 |
| B75R | 51.85 | 65.84 | 12.67 | 67.04 | 411 |



ZG920-7N, 9stufige Reihen für konstanten CIELAB Buntton 299/360 = 0.83 (links)

Seite 14/96

ZG920-7N, 16stufige Reihen für konstanten CIELAB Buntton 299/360 = 0.83 (rechts)

BAM-Prüfvorlage ZG92; Farbmetrik-Systeme, Seite 14/96 Eingabe: $rgb / cmy0$ set($rgb/cmyk/color$)

D65: 9 und 16stufige Farbreihen für 16 Elementar-Bunttöne Ausgabe: keine Eingabeänderung

Eingabe: Farbmetrisches Offset-Refektiv-System ORS18

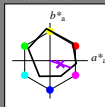
für Buntton $h^* = lab^*h = 342/360 = 0.949$

lab^*tch und lab^*nch

D65: Buntton B50R

LCH*Ma: 45 59 342

olv*Ma: 0.67 0.0 1.0



Dreiecks-Helligkeit r^*

%Umfang

$u^*_{rel} = 85$

%Regularität

$g^*_{H,rel} = 57$

$g^*_{C,rel} = 59$

ORS18; adaptierte CIELAB-Daten

| | $L^* = L^*_a$ | a^*_a | b^*_a | $C^*_{ab,a}$ | $h^*_{ab,a}$ |
|------------------|---------------|---------|---------|--------------|--------------|
| O _{Ma} | 51.74 | 60.16 | 46.48 | 76.02 | 38 |
| Y _{Ma} | 90.77 | -9.44 | 84.41 | 84.94 | 96 |
| L _{Ma} | 54.46 | -57.8 | 32.16 | 66.15 | 151 |
| C _{Ma} | 61.56 | -27.91 | -41.41 | 49.95 | 236 |
| V _{Ma} | 31.3 | 28.61 | -40.85 | 49.88 | 305 |
| M _{Ma} | 51.91 | 69.26 | -7.69 | 69.68 | 354 |
| N _{Ma} | 24.2 | 0.0 | 0.0 | 0.0 | 0 |
| W _{Ma} | 95.41 | 0.0 | 0.0 | 0.0 | 0 |
| R _{CIE} | 44.36 | 53.97 | 24.82 | 59.4 | 25 |
| J _{CIE} | 82.39 | -1.99 | 62.34 | 62.37 | 92 |
| G _{CIE} | 55.68 | -38.87 | 10.82 | 40.36 | 164 |
| B _{CIE} | 35.76 | 1.06 | -43.09 | 43.11 | 271 |

Ausgabe: Farbmetrisches Offset-Refektiv-System ORS18

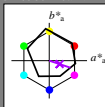
für Buntton $h^* = lab^*h = 342/360 = 0.949$

lab^*tch und lab^*nch

D65: Buntton B50R

LCH*Ma: 45 59 342

olv*Ma: 0.67 0.0 1.0



Dreiecks-Helligkeit r^*

%Umfang

$u^*_{rel} = 85$

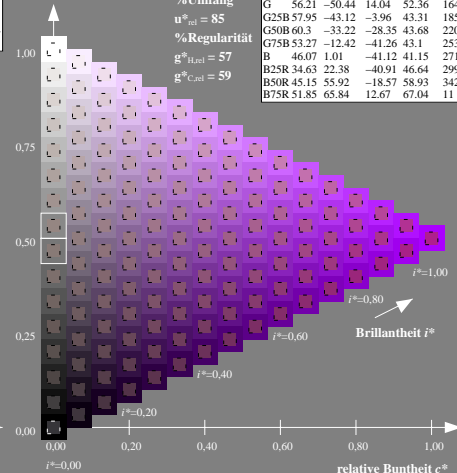
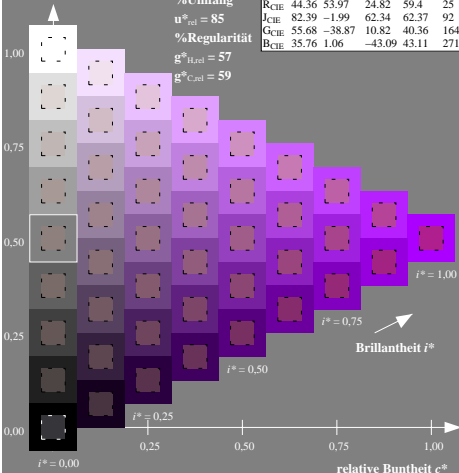
%Regularität

$g^*_{H,rel} = 57$

$g^*_{C,rel} = 59$

ORS18; adaptierte CIELAB-Daten

| | $L^* = L^*_a$ | a^*_a | b^*_a | $C^*_{ab,a}$ | $h^*_{ab,a}$ |
|------|---------------|---------|---------|--------------|--------------|
| R | 51.79 | 63.09 | 29.02 | 69.44 | 25 |
| R25J | 53.73 | 56.6 | 48.42 | 74.48 | 41 |
| R50J | 65.47 | 35.67 | 59.82 | 69.65 | 59 |
| R75J | 76.51 | 15.98 | 70.55 | 72.34 | 77 |
| J | 86.93 | -2.58 | 80.67 | 80.71 | 92 |
| J25G | 84.92 | -17.23 | 75.99 | 77.92 | 103 |
| J50G | 73.11 | -32.96 | 59.0 | 67.58 | 119 |
| J75G | 60.06 | -50.34 | 40.22 | 64.44 | 141 |
| G | 56.21 | -50.44 | 14.04 | 52.36 | 164 |
| G25B | 57.95 | -43.12 | -3.96 | 43.31 | 185 |
| G50B | 60.3 | -33.22 | -28.35 | 43.68 | 220 |
| G75B | 53.27 | -12.42 | -41.26 | 43.1 | 253 |
| B | 46.07 | 1.01 | -41.12 | 41.15 | 271 |
| B25R | 34.63 | 22.38 | -40.91 | 46.64 | 299 |
| B50R | 45.15 | 55.92 | -18.57 | 58.93 | 342 |
| B75R | 51.85 | 65.84 | 12.67 | 67.04 | 411 |



ZG920-7N, 9stufige Reihen für konstanten CIELAB Buntton 342/360 = 0.949 (links) Seite 15/96

ZG920-7N, 16stufige Reihen für konstanten CIELAB Buntton 342/360 = 0.949 (rechts)

BAM-Prüfvorlage ZG92; Farbmetrik-Systeme, Seite 15/96 Eingabe: $rgb / cmy0$ set($rgb/cmyk/color$)
D65: 9 und 16stufige Farbreihen für 16 Elementar-Bunttöne Ausgabe: keine Eingabeänderung

Eingabe: Farbmetrisches Offset-Reflektiv-System ORS18

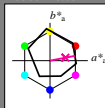
für Buntton $h^* = lab^*h = 11/360 = 0.03$

lab^*ch und lab^*nh

D65: Buntton B75R

LCH*Ma: 52 67 11

ol*Ma: 1.0 0.0 0.62



Dreiecks-Helligkeit r^*

%Umfang
 $u^*_{rel} = 85$

%Regularität
 $g^*_{H,rel} = 57$
 $g^*_{C,rel} = 59$

ORS18; adaptierte CIELAB-Daten

| | $L^*=L^*_a$ | a^*_a | b^*_a | $C^*_{ab,a}$ | $h^*_{ab,a}$ |
|------------------|-------------|---------|---------|--------------|--------------|
| O _{Ma} | 51.74 | 60.16 | 46.48 | 76.02 | 38 |
| Y _{Ma} | 90.77 | -9.44 | 84.41 | 84.94 | 96 |
| L _{Ma} | 54.46 | -57.8 | 32.16 | 66.15 | 151 |
| C _{Ma} | 61.56 | -27.91 | -41.41 | 49.95 | 236 |
| V _{Ma} | 31.3 | 28.61 | -40.85 | 49.88 | 305 |
| M _{Ma} | 51.91 | 69.26 | -7.69 | 69.68 | 354 |
| N _{Ma} | 24.2 | 0.0 | 0.0 | 0.0 | 0 |
| W _{Ma} | 95.41 | 0.0 | 0.0 | 0.0 | 0 |
| R _{CIE} | 44.36 | 53.97 | 24.82 | 59.4 | 25 |
| J _{CIE} | 82.39 | -1.99 | 62.34 | 62.37 | 92 |
| G _{CIE} | 55.68 | -38.87 | 10.82 | 40.36 | 164 |
| B _{CIE} | 35.76 | 1.06 | -43.09 | 43.11 | 271 |

Ausgabe: Farbmetrisches Offset-Reflektiv-System ORS18

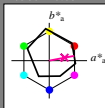
für Buntton $h^* = lab^*h = 11/360 = 0.03$

lab^*ch und lab^*nh

D65: Buntton B75R

LCH*Ma: 52 67 11

ol*Ma: 1.0 0.0 0.62



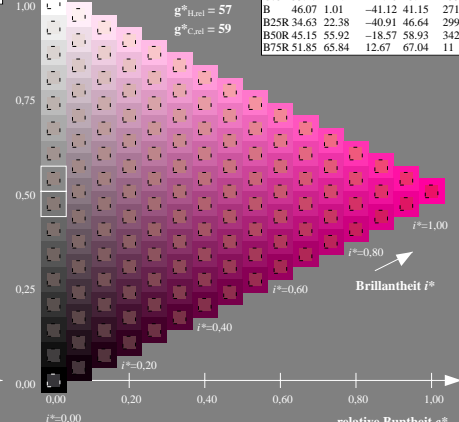
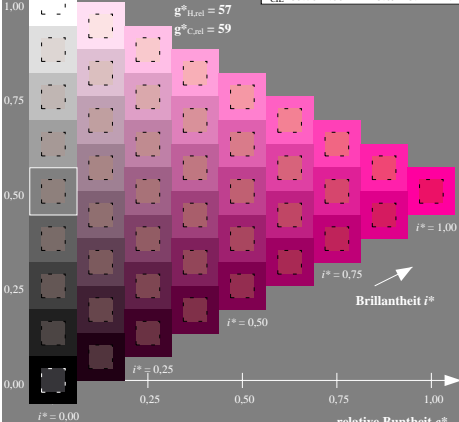
Dreiecks-Helligkeit r^*

%Umfang
 $u^*_{rel} = 85$

%Regularität
 $g^*_{H,rel} = 57$
 $g^*_{C,rel} = 59$

ORS18; adaptierte CIELAB-Daten

| | $L^*=L^*_a$ | a^*_a | b^*_a | $C^*_{ab,a}$ | $h^*_{ab,a}$ |
|------|-------------|---------|---------|--------------|--------------|
| R | 51.79 | 63.09 | 29.02 | 69.44 | 25 |
| R25J | 53.73 | 56.6 | 48.42 | 74.48 | 41 |
| R50J | 65.47 | 35.67 | 59.82 | 69.65 | 59 |
| R75J | 76.51 | 15.98 | 70.55 | 72.34 | 77 |
| J | 86.93 | -2.58 | 80.67 | 80.71 | 92 |
| J25G | 84.92 | -17.23 | 75.99 | 77.92 | 103 |
| J50G | 73.11 | -32.96 | 59.0 | 67.58 | 119 |
| J75G | 60.06 | -50.34 | 40.22 | 64.44 | 141 |
| G | 56.21 | -50.44 | 14.04 | 52.36 | 164 |
| G25B | 57.95 | -43.12 | -3.96 | 43.31 | 185 |
| G50B | 60.3 | -33.22 | -28.35 | 43.68 | 220 |
| G75B | 53.27 | -12.42 | -41.26 | 43.1 | 253 |
| B | 46.07 | 1.01 | -41.12 | 41.15 | 271 |
| B25R | 34.63 | 22.38 | -40.91 | 46.64 | 299 |
| B50R | 45.15 | 55.92 | -18.57 | 58.93 | 342 |
| B75R | 51.85 | 65.84 | 12.67 | 67.04 | 411 |



ZG920-7N, 9stufige Reihen für konstanten CIELAB Buntton 11/360 = 0.03 (links)

Seite 16/96

ZG920-7N, 16stufige Reihen für konstanten CIELAB Buntton 11/360 = 0.03 (rechts)

BAM-Prüfvorlage ZG92; Farbmetrik-Systeme, Seite 16/96 Eingabe: $rgb / cmy0$ set($rgb/cmyk/color$)
D65: 9 und 16stufige Farbreihen für 16 Elementar-Bunttöne Ausgabe: keine Eingabeänderung

BAM-Prüfvorlage ZG92; Farbmeter-Systeme, Seite 17/96 Eingabe: *rgb / cmy0 set(rgb/cmyk)color*
D65: 9 und 16stufige Farbreihen für 16 Elementar-Bunttöne Ausgabe: *->cmy0n5* setcmykcolor*

Eingabe: Farbmetrisches Offset-Reflektiv-System ORS18

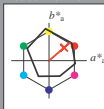
für Buntton $h^* = lab^*h = 41/360 = 0.113$

lab^*tch und lab^*nch

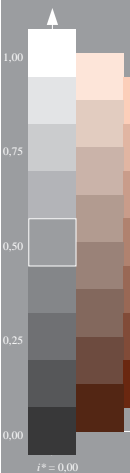
D65: Buntton R25J

LCH*Ma: 54 74 41

olv*Ma: 1.0 0.05 0.0



Dreiecks-Helligkeit r^*



%Umfang

$u^*_{rel} = 85$

%Regularität

$g^*_{H,rel} = 57$

$g^*_{C,rel} = 59$

ORS18; adaptierte CIELAB-Daten

| | $L^*=L^*_a$ | a^*_a | b^*_a | $C^*_{ab,a}$ | $h^*_{ab,a}$ |
|------------------|-------------|---------|---------|--------------|--------------|
| O _{Ma} | 51.74 | 60.16 | 46.48 | 76.02 | 38 |
| Y _{Ma} | 90.77 | -9.44 | 84.41 | 84.94 | 96 |
| L _{Ma} | 54.46 | -57.8 | 32.16 | 66.15 | 151 |
| C _{Ma} | 61.56 | -27.91 | -41.41 | 49.95 | 236 |
| V _{Ma} | 31.3 | 28.61 | -40.85 | 49.88 | 305 |
| N _{Ma} | 51.91 | 69.26 | -7.69 | 69.68 | 354 |
| M _{Ma} | 24.2 | 0.0 | 0.0 | 0.0 | 0 |
| W _{Ma} | 95.41 | 0.0 | 0.0 | 0.0 | 0 |
| R _{CIE} | 44.36 | 53.97 | 24.82 | 59.4 | 25 |
| J _{CIE} | 82.39 | -1.99 | 62.34 | 62.37 | 92 |
| G _{CIE} | 55.68 | -38.87 | 10.82 | 40.36 | 164 |
| B _{CIE} | 35.76 | 1.06 | -43.09 | 43.11 | 271 |

Ausgabe: Farbmetrisches Offset-Reflektiv-System ORS18

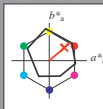
für Buntton $h^* = lab^*h = 41/360 = 0.113$

lab^*tch und lab^*nch

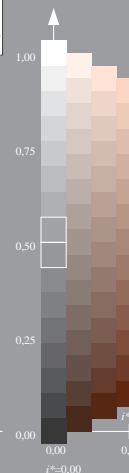
D65: Buntton R25J

LCH*Ma: 54 74 41

olv*Ma: 1.0 0.05 0.0



Dreiecks-Helligkeit r^*



%Umfang

$u^*_{rel} = 85$

%Regularität

$g^*_{H,rel} = 57$

$g^*_{C,rel} = 59$

ORS18; adaptierte CIELAB-Daten

| | $L^*=L^*_a$ | a^*_a | b^*_a | $C^*_{ab,a}$ | $h^*_{ab,a}$ |
|------|-------------|---------|---------|--------------|--------------|
| R | 51.79 | 63.09 | 29.02 | 69.44 | 25 |
| R25J | 53.73 | 56.6 | 48.42 | 74.48 | 41 |
| R50J | 65.47 | 35.67 | 59.82 | 69.65 | 59 |
| R75J | 76.51 | 15.98 | 70.55 | 72.34 | 77 |
| J | 86.93 | -2.58 | 80.67 | 80.71 | 92 |
| J25G | 84.92 | -17.23 | 75.99 | 77.92 | 103 |
| J50G | 73.11 | -32.96 | 59.0 | 67.58 | 119 |
| J75G | 60.06 | -50.34 | 40.22 | 64.44 | 141 |
| G | 56.21 | -50.44 | 14.04 | 52.36 | 164 |
| G25B | 57.95 | -43.12 | -3.96 | 43.31 | 185 |
| G50B | 60.3 | -33.22 | -28.35 | 43.68 | 220 |
| G75B | 53.27 | -12.42 | -41.26 | 43.1 | 253 |
| B | 46.07 | 1.01 | -41.12 | 41.15 | 271 |
| B25R | 34.63 | 22.38 | -40.91 | 46.64 | 299 |
| B50R | 45.15 | 55.92 | -18.57 | 58.93 | 342 |
| B75R | 51.85 | 65.84 | 12.67 | 67.04 | 411 |

ZG920-7N, 9stufige Reihen für konstanten CIELAB Buntton 41/360 = 0.113 (links)

Seite 18/96

ZG920-7N, 16stufige Reihen für konstanten CIELAB Buntton 41/360 = 0.113 (rechts)

BAM-Prüfvorlage ZG92; Farbmetrik-Systeme, Seite 18/96 Eingabe: $rgb / cmy0$ set($rgb/cmyk$)color

D65: 9 und 16stufige Farbreihen für 16 Elementar-Bunttöne Ausgabe: $\rightarrow cmy5$ set($cmyk$)color

Eingabe: Farbmetrisches Offset-Reflektiv-System ORS18

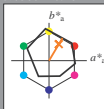
für Buntton $h^* = lab^*h = 59/360 = 0.164$

lab^*tch und lab^*nch

D65: Buntton R50J

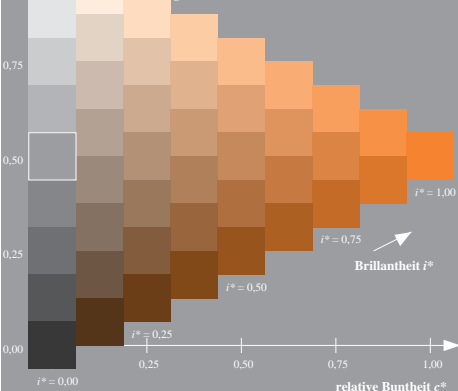
LCH*Ma: 65 70 59

olv*Ma: 1.0 0.35 0.0



Dreiecks-Helligkeit r^*

%Umfang
 $u^*_{rel} = 85$
%Regularität
 $g^*_{H,rel} = 57$
 $g^*_{C,rel} = 59$



ORS18; adaptierte CIELAB-Daten

| | $L^*=L^*_a$ | a^*_a | b^*_a | $C^*_{ab,a}$ | $h^*_{ab,a}$ |
|------------------|-------------|---------|---------|--------------|--------------|
| O _{Ma} | 51.74 | 60.16 | 46.48 | 76.02 | 38 |
| Y _{Ma} | 90.77 | -9.44 | 84.41 | 84.94 | 96 |
| L _{Ma} | 54.46 | -57.8 | 32.16 | 66.15 | 151 |
| C _{Ma} | 61.56 | -27.91 | -41.41 | 49.95 | 236 |
| V _{Ma} | 31.3 | 28.61 | -40.85 | 49.88 | 305 |
| N _{Ma} | 51.91 | 69.26 | -7.69 | 69.68 | 354 |
| M _{Ma} | 24.2 | 0.0 | 0.0 | 0.0 | 0 |
| W _{Ma} | 95.41 | 0.0 | 0.0 | 0.0 | 0 |
| R _{CIE} | 44.36 | 53.97 | 24.82 | 59.4 | 25 |
| J _{CIE} | 82.39 | -1.99 | 62.34 | 62.37 | 92 |
| G _{CIE} | 55.68 | -38.87 | 10.82 | 40.36 | 164 |
| B _{CIE} | 35.76 | 1.06 | -43.09 | 43.11 | 271 |

Ausgabe: Farbmetrisches Offset-Reflektiv-System ORS18

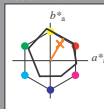
für Buntton $h^* = lab^*h = 59/360 = 0.164$

lab^*tch und lab^*nch

D65: Buntton R50J

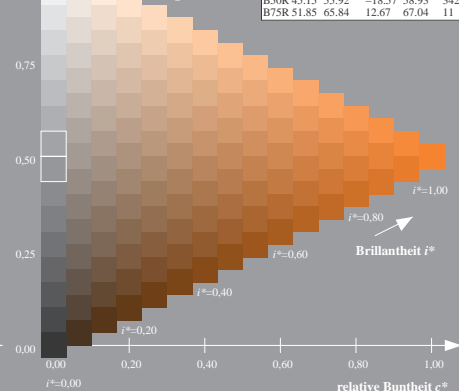
LCH*Ma: 65 70 59

olv*Ma: 1.0 0.35 0.0



Dreiecks-Helligkeit r^*

%Umfang
 $u^*_{rel} = 85$
%Regularität
 $g^*_{H,rel} = 57$
 $g^*_{C,rel} = 59$



ORS18; adaptierte CIELAB-Daten

| | $L^*=L^*_a$ | a^*_a | b^*_a | $C^*_{ab,a}$ | $h^*_{ab,a}$ |
|------|-------------|---------|---------|--------------|--------------|
| R | 51.79 | 63.09 | 29.02 | 69.44 | 25 |
| R25J | 53.73 | 56.6 | 48.42 | 74.48 | 41 |
| R50J | 65.47 | 35.67 | 59.82 | 69.65 | 59 |
| R75J | 76.51 | 15.98 | 70.55 | 72.34 | 77 |
| J | 86.93 | -2.58 | 80.67 | 80.71 | 92 |
| J25G | 84.92 | -17.23 | 75.99 | 77.92 | 103 |
| J50G | 73.11 | -32.96 | 59.0 | 67.58 | 119 |
| J75G | 60.06 | -50.34 | 40.22 | 64.44 | 141 |
| G | 56.21 | -50.44 | 14.04 | 52.36 | 164 |
| G25B | 57.95 | -43.12 | -3.96 | 43.31 | 185 |
| G50B | 60.3 | -33.22 | -28.35 | 43.68 | 220 |
| G75B | 53.27 | -12.42 | -41.26 | 43.1 | 253 |
| B | 46.07 | 1.01 | -41.12 | 41.15 | 271 |
| B25R | 34.63 | 22.38 | -40.91 | 46.64 | 299 |
| B50R | 45.15 | 55.92 | -18.57 | 58.93 | 342 |
| B75R | 51.85 | 65.84 | 12.67 | 67.04 | 411 |

ZG920-7N, 9stufige Reihen für konstanten CIELAB Buntton 59/360 = 0.164 (links)

Seite 19/96

ZG920-7N, 16stufige Reihen für konstanten CIELAB Buntton 59/360 = 0.164 (rechts)

BAM-Prüfvorlage ZG92; Farbmetrik-Systeme, Seite 19/96 Eingabe: $rgb / cmy0$ set($rgb/cmyk$)color
D65: 9 und 16stufige Farbreihen für 16 Elementar-Bunttöne Ausgabe: $\rightarrow cmy5$ set($cmyk$)color

Eingabe: Farbmetrisches Offset-Reflektiv-System ORS18

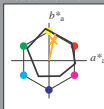
für Buntton $h^* = lab^*h = 77/360 = 0.215$

lab^*tch und lab^*nch

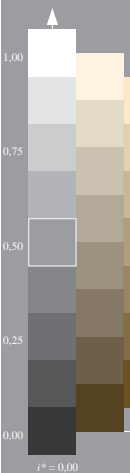
D65: Buntton R75J

LCH*Ma: 77 72 77

olv*Ma: 1.0 0.63 0.0



Dreiecks-Helligkeit r^*



%Umfang
 $u^*_{rel} = 85$
%Regularität
 $g^*_{H,rel} = 57$
 $g^*_{C,rel} = 59$

ORS18; adaptierte CIELAB-Daten

| | $L^*=L^*_a$ | a^*_a | b^*_a | $C^*_{ab,a}$ | $h^*_{ab,a}$ |
|------------------|-------------|---------|---------|--------------|--------------|
| O _{Ma} | 51.74 | 60.16 | 46.48 | 76.02 | 38 |
| Y _{Ma} | 90.77 | -9.44 | 84.41 | 84.94 | 96 |
| L _{Ma} | 54.46 | -57.8 | 32.16 | 66.15 | 151 |
| C _{Ma} | 61.56 | -27.91 | -41.41 | 49.95 | 236 |
| V _{Ma} | 31.3 | 28.61 | -40.85 | 49.88 | 305 |
| M _{Ma} | 51.91 | 69.26 | -7.69 | 69.68 | 354 |
| N _{Ma} | 24.2 | 0.0 | 0.0 | 0.0 | 0 |
| W _{Ma} | 95.41 | 0.0 | 0.0 | 0.0 | 0 |
| R _{CIE} | 44.36 | 53.97 | 24.82 | 59.4 | 25 |
| J _{CIE} | 82.39 | -1.99 | 62.34 | 62.37 | 92 |
| G _{CIE} | 55.68 | -38.87 | 10.82 | 40.36 | 164 |
| B _{CIE} | 35.76 | 1.06 | -43.09 | 43.11 | 271 |

Ausgabe: Farbmetrisches Offset-Reflektiv-System ORS18

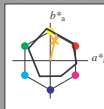
für Buntton $h^* = lab^*h = 77/360 = 0.215$

lab^*tch und lab^*nch

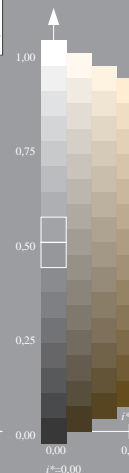
D65: Buntton R75J

LCH*Ma: 77 72 77

olv*Ma: 1.0 0.63 0.0



Dreiecks-Helligkeit r^*



%Umfang
 $u^*_{rel} = 85$
%Regularität
 $g^*_{H,rel} = 57$
 $g^*_{C,rel} = 59$

ORS18; adaptierte CIELAB-Daten

| | $L^*=L^*_a$ | a^*_a | b^*_a | $C^*_{ab,a}$ | $h^*_{ab,a}$ |
|------|-------------|---------|---------|--------------|--------------|
| R | 51.79 | 63.09 | 29.02 | 69.44 | 25 |
| R25J | 53.73 | 56.6 | 48.42 | 74.48 | 41 |
| R50J | 65.47 | 35.67 | 59.82 | 69.65 | 59 |
| R75J | 76.51 | 15.98 | 70.55 | 72.34 | 77 |
| J | 86.93 | -2.58 | 80.67 | 80.71 | 92 |
| J25G | 84.92 | -17.23 | 75.99 | 77.92 | 103 |
| J50G | 73.11 | -32.96 | 59.0 | 67.58 | 119 |
| J75G | 60.06 | -50.34 | 40.22 | 64.44 | 141 |
| G | 56.21 | -50.44 | 14.04 | 52.36 | 164 |
| G25B | 57.95 | -43.12 | -3.96 | 43.31 | 185 |
| G50B | 60.3 | -33.22 | -28.35 | 43.68 | 220 |
| G75B | 53.27 | -12.42 | -41.26 | 43.1 | 253 |
| B | 46.07 | 1.01 | -41.12 | 41.15 | 271 |
| B25R | 34.63 | 22.38 | -40.91 | 46.64 | 299 |
| B50R | 45.15 | 55.92 | -18.57 | 58.93 | 342 |
| B75R | 51.85 | 65.84 | 12.67 | 67.04 | 411 |

ZG920-7N, 9stufige Reihen für konstanten CIELAB Buntton 77/360 = 0.215 (links) Seite 20/96

ZG920-7N, 16stufige Reihen für konstanten CIELAB Buntton 77/360 = 0.215 (rechts)

BAM-Prüfvorlage ZG92; Farbmetrik-Systeme, Seite 20/96 Eingabe: $rgb / cmy0$ set($rgb/cmyk$)color
D65: 9 und 16stufige Farbreihen für 16 Elementar-Bunttöne Ausgabe: $\rightarrow cmy5$ set($cmyk$)color

Eingabe: Farbmetrisches Offset-Reflektiv-System ORS18

für Buntton $h^* = lab^*h = 92/360 = 0.255$

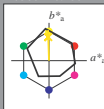
lab^*tch und lab^*nch

D65: Buntton J

LCH*Ma: 87 81 92

olv*Ma: 1.0 0.9 0.0

Dreiecks-Helligkeit t^*



%Umfang

$u^*_{rel} = 85$

%Regularität

$g^*_{H,rel} = 57$

$g^*_{C,rel} = 59$

ORS18; adaptierte CIELAB-Daten

| | $L^*=L^*_a$ | a^*_a | b^*_a | $C^*_{ab,a}$ | $h^*_{ab,a}$ |
|------------------|-------------|---------|---------|--------------|--------------|
| O _{Ma} | 51.74 | 60.16 | 46.48 | 76.02 | 38 |
| Y _{Ma} | 90.77 | -9.44 | 84.41 | 84.94 | 96 |
| L _{Ma} | 54.46 | -57.8 | 32.16 | 66.15 | 151 |
| C _{Ma} | 61.56 | -27.91 | -41.41 | 49.95 | 236 |
| V _{Ma} | 31.3 | 28.61 | -40.85 | 49.88 | 305 |
| M _{Ma} | 51.91 | 69.26 | -7.69 | 69.68 | 354 |
| N _{Ma} | 24.2 | 0.0 | 0.0 | 0.0 | 0 |
| W _{Ma} | 95.41 | 0.0 | 0.0 | 0.0 | 0 |
| C _{CIE} | 44.36 | 53.97 | 24.82 | 59.4 | 25 |
| J _{CIE} | 82.39 | -1.99 | 62.34 | 62.37 | 92 |
| G _{CIE} | 55.68 | -38.87 | 10.82 | 40.36 | 164 |
| B _{CIE} | 35.76 | 1.06 | -43.09 | 43.11 | 271 |

Ausgabe: Farbmetrisches Offset-Reflektiv-System ORS18

für Buntton $h^* = lab^*h = 92/360 = 0.255$

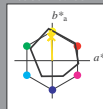
lab^*tch und lab^*nch

D65: Buntton J

LCH*Ma: 87 81 92

olv*Ma: 1.0 0.9 0.0

Dreiecks-Helligkeit t^*



%Umfang

$u^*_{rel} = 85$

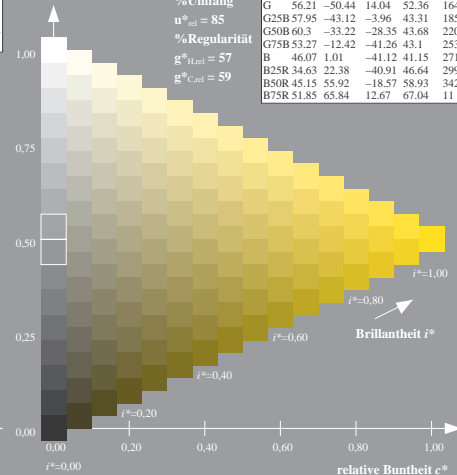
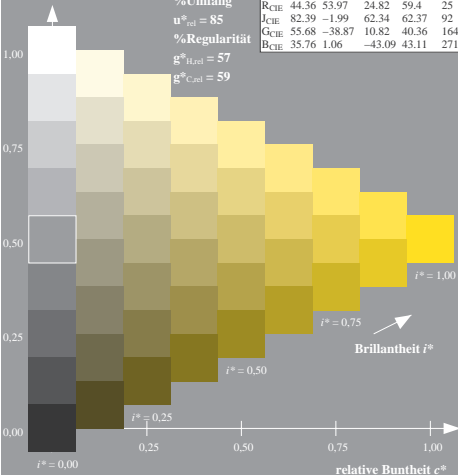
%Regularität

$g^*_{H,rel} = 57$

$g^*_{C,rel} = 59$

ORS18; adaptierte CIELAB-Daten

| | $L^*=L^*_a$ | a^*_a | b^*_a | $C^*_{ab,a}$ | $h^*_{ab,a}$ |
|------|-------------|---------|---------|--------------|--------------|
| R | 51.79 | 63.09 | 29.02 | 69.44 | 25 |
| R25J | 53.73 | 56.6 | 48.42 | 74.48 | 41 |
| R50J | 65.47 | 35.67 | 59.82 | 69.65 | 59 |
| R75J | 76.51 | 15.98 | 70.55 | 72.34 | 77 |
| J | 86.93 | -2.58 | 80.67 | 80.71 | 92 |
| J25G | 84.92 | -17.23 | 75.99 | 77.92 | 103 |
| J50G | 73.11 | -32.96 | 59.0 | 67.58 | 119 |
| J75G | 60.06 | -50.34 | 40.22 | 64.44 | 141 |
| G | 56.21 | -50.44 | 14.04 | 52.36 | 164 |
| G25B | 57.95 | -43.12 | -3.96 | 43.31 | 185 |
| G50B | 60.3 | -33.22 | -28.35 | 43.68 | 220 |
| G75B | 53.27 | -12.42 | -41.26 | 43.1 | 253 |
| B | 46.07 | 1.01 | -41.12 | 41.15 | 271 |
| B25R | 34.63 | 22.38 | -40.91 | 46.64 | 299 |
| B50R | 45.15 | 55.92 | -18.57 | 58.93 | 342 |
| B75R | 51.85 | 65.84 | 12.67 | 67.04 | 411 |



ZG920-7N, 9stufige Reihen für konstanten CIELAB Buntton 92/360 = 0.255 (links) Seite 21/96

ZG920-7N, 16stufige Reihen für konstanten CIELAB Buntton 92/360 = 0.255 (rechts)

BAM-Prüfvorlage ZG92; Farbmetrik-Systeme, Seite 21/96 Eingabe: $rgb / cmy0$ set($rgb/cmyk/color$)
D65: 9 und 16stufige Farbreihen für 16 Elementar-Bunttöne Ausgabe: $\rightarrow cmy5$ set($cmyk/color$)

Eingabe: Farbmetrisches Offset-Reflektiv-System ORS18

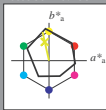
für Buntton $h^* = lab^*h = 103/360 = 0.286$

lab^*tch und lab^*nch

D65: Buntton J25G

LCH*Ma: 85 78 103

olv*Ma: 0.84 1.0 0.0



Dreiecks-Helligkeit i^*

%Umfang
 $u^*_{rel} = 85$
%Regularität
 $g^*_{H,rel} = 57$
 $g^*_{C,rel} = 59$

ORS18; adaptierte CIELAB-Daten

| | $L^*=L^*_a$ | a^*_a | b^*_a | $C^*_{ab,a}$ | $h^*_{ab,a}$ |
|------------------|-------------|---------|---------|--------------|--------------|
| O _{Ma} | 51.74 | 60.16 | 46.48 | 76.02 | 38 |
| Y _{Ma} | 90.77 | -9.44 | 84.41 | 84.94 | 96 |
| L _{Ma} | 54.46 | -57.8 | 32.16 | 66.15 | 151 |
| C _{Ma} | 61.56 | -27.91 | -41.41 | 49.95 | 236 |
| V _{Ma} | 31.3 | 28.61 | -40.85 | 49.88 | 305 |
| M _{Ma} | 51.91 | 69.26 | -7.69 | 69.68 | 354 |
| N _{Ma} | 24.2 | 0.0 | 0.0 | 0.0 | 0 |
| W _{Ma} | 95.41 | 0.0 | 0.0 | 0.0 | 0 |
| R _{CIE} | 44.36 | 53.97 | 24.82 | 59.4 | 25 |
| J _{CIE} | 82.39 | -1.99 | 62.34 | 62.37 | 92 |
| G _{CIE} | 55.68 | -38.87 | 10.82 | 40.36 | 164 |
| B _{CIE} | 35.76 | 1.06 | -43.09 | 43.11 | 271 |

Ausgabe: Farbmetrisches Offset-Reflektiv-System ORS18

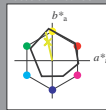
für Buntton $h^* = lab^*h = 103/360 = 0.286$

lab^*tch und lab^*nch

D65: Buntton J25G

LCH*Ma: 85 78 103

olv*Ma: 0.84 1.0 0.0

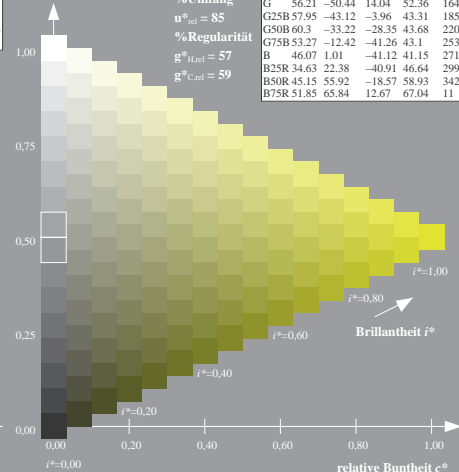
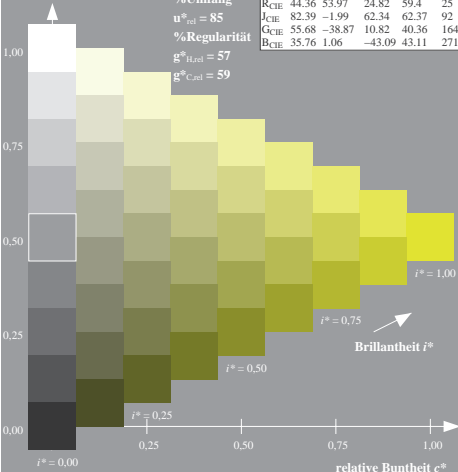


Dreiecks-Helligkeit i^*

%Umfang
 $u^*_{rel} = 85$
%Regularität
 $g^*_{H,rel} = 57$
 $g^*_{C,rel} = 59$

ORS18; adaptierte CIELAB-Daten

| | $L^*=L^*_a$ | a^*_a | b^*_a | $C^*_{ab,a}$ | $h^*_{ab,a}$ |
|------|-------------|---------|---------|--------------|--------------|
| R | 51.79 | 63.09 | 29.02 | 69.44 | 25 |
| R25J | 53.73 | 56.6 | 48.42 | 74.48 | 41 |
| R50J | 65.47 | 35.67 | 59.82 | 69.65 | 59 |
| R75J | 76.51 | 15.98 | 70.55 | 72.34 | 77 |
| J | 86.93 | -2.58 | 80.67 | 80.71 | 92 |
| J25G | 84.92 | -17.23 | 75.99 | 77.92 | 103 |
| J50G | 73.11 | -32.96 | 59.0 | 67.58 | 119 |
| J75G | 60.06 | -50.34 | 40.22 | 64.44 | 141 |
| G | 56.21 | -50.44 | 14.04 | 52.36 | 164 |
| G25B | 57.95 | -43.12 | -3.96 | 43.31 | 185 |
| G50B | 60.3 | -33.22 | -28.35 | 43.68 | 220 |
| G75B | 53.27 | -12.42 | -41.26 | 43.1 | 253 |
| B | 46.07 | 1.01 | -41.12 | 41.15 | 271 |
| B25R | 34.63 | 22.38 | -40.91 | 46.64 | 299 |
| B50R | 45.15 | 55.92 | -18.57 | 58.93 | 342 |
| B75R | 51.85 | 65.84 | 12.67 | 67.04 | 411 |



ZG920-7N, 9stufige Reihen für konstanten CIELAB Buntton 103/360 = 0.286 (links) Seite 22/96

ZG920-7N, 16stufige Reihen für konstanten CIELAB Buntton 103/360 = 0.286 (rechts)

BAM-Prüfvorlage ZG92; Farbmetrik-Systeme, Seite 22/96 Eingabe: $rgb / cmy0$ set($rgb/cmyk$)color
D65: 9 und 16stufige Farbreihen für 16 Elementar-Bunttöne Ausgabe: $\rightarrow cmy5$ set($cmyk$)color

Siehe ähnliche Dateien: <http://www.ps.bam.de/ZG92/>, <http://www.ps.bam.de/ZG.HTM>
Technische Information: <http://www.ps.bam.de> Version 2.1, 10-1.1

BAM-Registrierung: 20071001-ZG92/L92G00N1.PS/.TXT
Anwendung für Beurteilung und Messung von Drucker- oder Monitorsystemen
BAM-Material-Code=thada

Eingabe: Farbmetrisches Offset-Reflektiv-System ORS18

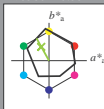
für Buntton $h^* = lab^*h = 119/360 = 0.331$

lab^*tch und lab^*nch

D65: Buntton J50G

LCH*Ma: 73 68 119

olv*Ma: 0.51 1.0 0.0



Dreiecks-Helligkeit r^*

%Umfang

$u^*_{rel} = 85$

%Regularität

$g^*_{H,rel} = 57$

$g^*_{C,rel} = 59$

ORS18; adaptierte CIELAB-Daten

| | $L^*=L^*_a$ | a^*_a | b^*_a | $C^*_{ab,a}$ | $h^*_{ab,a}$ |
|------------------|-------------|---------|---------|--------------|--------------|
| O _{Ma} | 51.74 | 60.16 | 46.48 | 76.02 | 38 |
| Y _{Ma} | 90.77 | -9.44 | 84.41 | 84.94 | 96 |
| L _{Ma} | 54.46 | -57.8 | 32.16 | 66.15 | 151 |
| C _{Ma} | 61.56 | -27.91 | -41.41 | 49.95 | 236 |
| V _{Ma} | 31.3 | 28.61 | -40.85 | 49.88 | 305 |
| M _{Ma} | 51.91 | 69.26 | -7.69 | 69.68 | 354 |
| N _{Ma} | 24.2 | 0.0 | 0.0 | 0.0 | 0 |
| W _{Ma} | 95.41 | 0.0 | 0.0 | 0.0 | 0 |
| R _{CIE} | 44.36 | 53.97 | 24.82 | 59.4 | 25 |
| J _{CIE} | 82.39 | -1.99 | 62.34 | 62.37 | 92 |
| G _{CIE} | 55.68 | -38.87 | 10.82 | 40.36 | 164 |
| B _{CIE} | 35.76 | 1.06 | -43.09 | 43.11 | 271 |

Ausgabe: Farbmetrisches Offset-Reflektiv-System ORS18

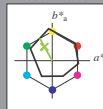
für Buntton $h^* = lab^*h = 119/360 = 0.331$

lab^*tch und lab^*nch

D65: Buntton J50G

LCH*Ma: 73 68 119

olv*Ma: 0.51 1.0 0.0



Dreiecks-Helligkeit r^*

%Umfang

$u^*_{rel} = 85$

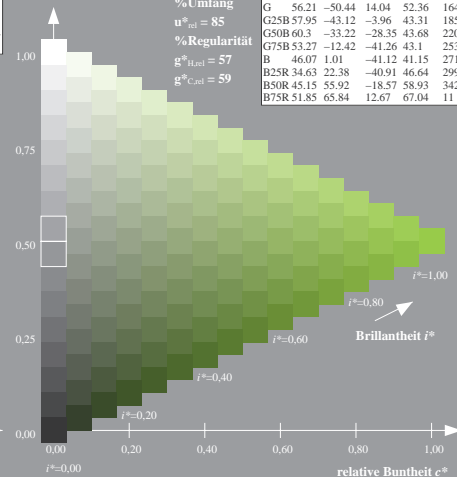
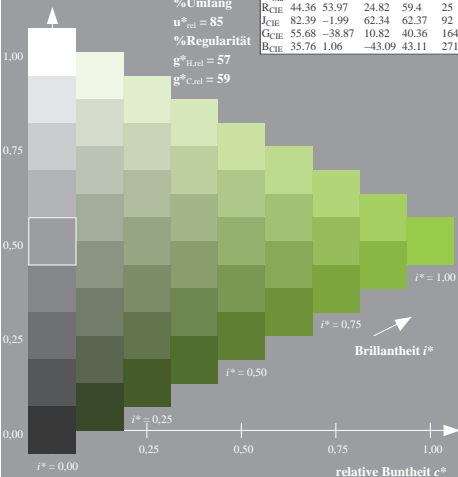
%Regularität

$g^*_{H,rel} = 57$

$g^*_{C,rel} = 59$

ORS18; adaptierte CIELAB-Daten

| | $L^*=L^*_a$ | a^*_a | b^*_a | $C^*_{ab,a}$ | $h^*_{ab,a}$ |
|------|-------------|---------|---------|--------------|--------------|
| R | 51.79 | 63.09 | 29.02 | 69.44 | 25 |
| R25J | 53.73 | 56.6 | 48.42 | 74.48 | 41 |
| R50J | 65.47 | 35.67 | 59.82 | 69.65 | 59 |
| R75J | 76.51 | 15.98 | 70.55 | 72.34 | 77 |
| J | 86.93 | -2.58 | 80.67 | 80.71 | 92 |
| J25G | 84.92 | -17.23 | 75.99 | 77.92 | 103 |
| J50G | 73.11 | -32.96 | 59.0 | 67.58 | 119 |
| J75G | 60.06 | -50.34 | 40.22 | 64.44 | 141 |
| G | 56.21 | -50.44 | 14.04 | 52.36 | 164 |
| G25B | 57.95 | -43.12 | -3.96 | 43.31 | 185 |
| G50B | 60.3 | -33.22 | -28.35 | 43.68 | 220 |
| G75B | 53.27 | -12.42 | -41.26 | 43.1 | 253 |
| B | 46.07 | 1.01 | -41.12 | 41.15 | 271 |
| B25R | 34.63 | 22.38 | -40.91 | 46.64 | 299 |
| B50R | 45.15 | 55.92 | -18.57 | 58.93 | 342 |
| B75R | 51.85 | 65.84 | 12.67 | 67.04 | 411 |



ZG920-7N, 9stufige Reihen für konstanten CIELAB Buntton 119/360 = 0.331 (links) Seite 23/96

ZG920-7N, 16stufige Reihen für konstanten CIELAB Buntton 119/360 = 0.331 (rechts)

BAM-Prüfvorlage ZG92; Farbmetrik-Systeme, Seite 23/96 Eingabe: $rgb / cmy0$ set($rgb/cmyk$)color
D65: 9 und 16stufige Farbreihen für 16 Elementar-Bunttöne Ausgabe: $\rightarrow cmy5^*$ set($cmyk$)color

Eingabe: Farbmetrisches Offset-Reflektiv-System ORS18

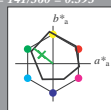
für Buntton $h^* = lab^*h = 141/360 = 0.393$

lab^*tch und lab^*nch

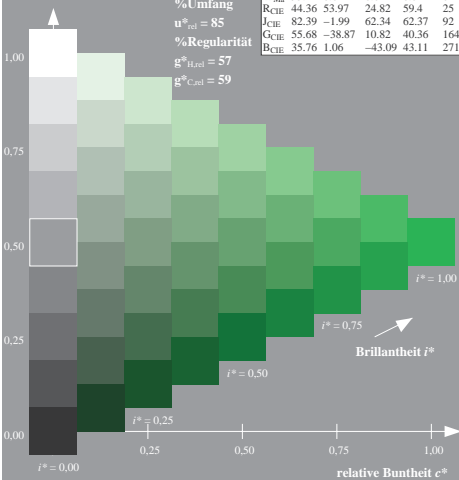
D65: Buntton J75G

LCH*Ma: 60 64 141

olv*Ma: 0.15 1.0 0.0



Dreiecks-Helligkeit t^*



ORS18; adaptierte CIELAB-Daten

| | $L^*=L^*_a$ | a^*_a | b^*_a | $C^*_{ab,a}$ | $h^*_{ab,a}$ |
|------------------|-------------|---------|---------|--------------|--------------|
| O _{Ma} | 51.74 | 60.16 | 46.48 | 76.02 | 38 |
| Y _{Ma} | 90.77 | -9.44 | 84.41 | 84.94 | 96 |
| L _{Ma} | 54.46 | -57.8 | 32.16 | 66.15 | 151 |
| C _{Ma} | 61.56 | -27.91 | -41.41 | 49.95 | 236 |
| V _{Ma} | 31.3 | 28.61 | -40.85 | 49.88 | 305 |
| M _{Ma} | 51.91 | 69.26 | -7.69 | 69.68 | 354 |
| N _{Ma} | 24.2 | 0.0 | 0.0 | 0.0 | 0 |
| W _{Ma} | 95.41 | 0.0 | 0.0 | 0.0 | 0 |
| R _{CIE} | 44.36 | 53.97 | 24.82 | 59.4 | 25 |
| J _{CIE} | 82.39 | -1.99 | 62.34 | 62.37 | 92 |
| G _{CIE} | 55.68 | -38.87 | 10.82 | 40.36 | 164 |
| B _{CIE} | 35.76 | 1.06 | -43.09 | 43.11 | 271 |

Ausgabe: Farbmetrisches Offset-Reflektiv-System ORS18

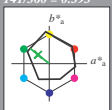
für Buntton $h^* = lab^*h = 141/360 = 0.393$

lab^*tch und lab^*nch

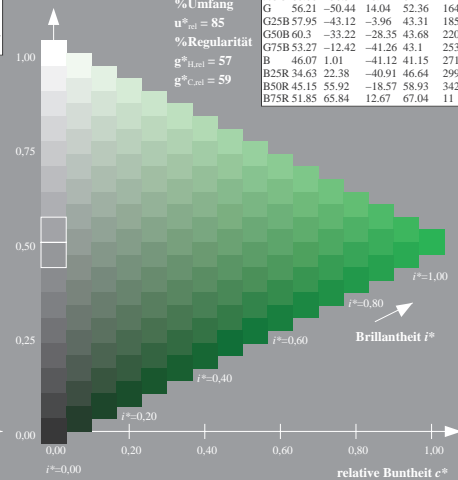
D65: Buntton J75G

LCH*Ma: 60 64 141

olv*Ma: 0.15 1.0 0.0



Dreiecks-Helligkeit t^*



ORS18; adaptierte CIELAB-Daten

| | $L^*=L^*_a$ | a^*_a | b^*_a | $C^*_{ab,a}$ | $h^*_{ab,a}$ |
|------|-------------|---------|---------|--------------|--------------|
| R | 51.79 | 63.09 | 29.02 | 69.44 | 25 |
| R25J | 53.73 | 56.6 | 48.42 | 74.48 | 41 |
| R50J | 65.47 | 35.67 | 59.82 | 69.65 | 59 |
| R75J | 76.51 | 15.98 | 70.55 | 72.34 | 77 |
| J | 86.93 | -2.58 | 80.67 | 80.71 | 92 |
| J25G | 84.92 | -17.23 | 75.99 | 77.92 | 103 |
| J50G | 73.11 | -32.96 | 59.0 | 67.58 | 119 |
| J75G | 60.06 | -50.34 | 40.22 | 64.44 | 141 |
| G | 56.21 | -50.44 | 14.04 | 52.36 | 164 |
| G25B | 57.95 | -43.12 | -3.96 | 43.31 | 185 |
| G50B | 60.3 | -33.22 | -28.35 | 43.68 | 220 |
| G75B | 53.27 | -12.42 | -41.26 | 43.1 | 253 |
| B | 46.07 | 1.01 | -41.12 | 41.15 | 271 |
| B25R | 34.63 | 22.38 | -40.91 | 46.64 | 299 |
| B50R | 45.15 | 55.92 | -18.57 | 58.93 | 342 |
| B75R | 51.85 | 65.84 | 12.67 | 67.04 | 411 |

ZG920-7N, 9stufige Reihen für konstanten CIELAB Buntton 141/360 = 0.393 (links)

ZG920-7N, 16stufige Reihen für konstanten CIELAB Buntton 141/360 = 0.393 (rechts)

BAM-Prüfvorlage ZG92; Farbmetrik-Systeme, Seite 24/96 Eingabe: $rgb / cmy0$ set($rgb/cmyk$)color
D65: 9 und 16stufige Farbreihen für 16 Elementar-Bunttöne Ausgabe: $\rightarrow cmy5^* set(cmyk)color$

Siehe ähnliche Dateien: <http://www.ps.bam.de/ZG92/>; <http://www.ps.bam.de/ZG.HTM>
Technische Information: <http://www.ps.bam.de> Version 2.1, 10-1.1

BAM-Registrierung: 20071001-ZG92/L92G00N1.PS/.TXT
Anwendung für Beurteilung und Messung von Drucker- oder Monitorsystemen
BAM-Material-Code=thada

Eingabe: Farbmetrisches Offset-Reflektiv-System ORS18

für Buntton $h^* = lab^*h = 164/360 = 0.457$

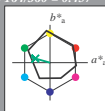
lab^*tch und lab^*nch

D65: Buntton G

LCH*Ma: 56 52 164

olv*Ma: 0.0 1.0 0.25

Dreiecks-Helligkeit t^*



%Umfang

$u^*_{rel} = 85$

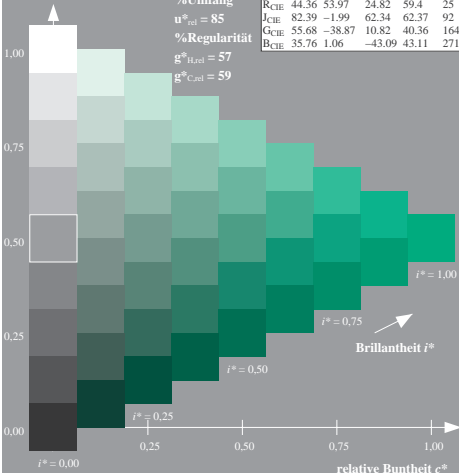
%Regularität

$g^*_{H,rel} = 57$

$g^*_{C,rel} = 59$

ORS18; adaptierte CIELAB-Daten

| | $L^*=L^*_a$ | a^*_a | b^*_a | $C^*_{ab,a}$ | $h^*_{ab,a}$ |
|------------------|-------------|---------|---------|--------------|--------------|
| O _{Ma} | 51.74 | 60.16 | 46.48 | 76.02 | 38 |
| Y _{Ma} | 90.77 | -9.44 | 84.41 | 84.94 | 96 |
| L _{Ma} | 54.46 | -57.8 | 32.16 | 66.15 | 151 |
| C _{Ma} | 61.56 | -27.91 | -41.41 | 49.95 | 236 |
| V _{Ma} | 31.3 | 28.61 | -40.85 | 49.88 | 305 |
| M _{Ma} | 51.91 | 69.26 | -7.69 | 69.68 | 354 |
| N _{Ma} | 24.2 | 0.0 | 0.0 | 0.0 | 0 |
| W _{Ma} | 95.41 | 0.0 | 0.0 | 0.0 | 0 |
| R _{CIE} | 44.36 | 53.97 | 24.82 | 59.4 | 25 |
| J _{CIE} | 82.39 | -1.99 | 62.34 | 62.37 | 92 |
| G _{CIE} | 55.68 | -38.87 | 10.82 | 40.36 | 164 |
| B _{CIE} | 35.76 | 1.06 | -43.09 | 43.11 | 271 |



Ausgabe: Farbmetrisches Offset-Reflektiv-System ORS18

für Buntton $h^* = lab^*h = 164/360 = 0.457$

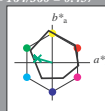
lab^*tch und lab^*nch

D65: Buntton G

LCH*Ma: 56 52 164

olv*Ma: 0.0 1.0 0.25

Dreiecks-Helligkeit t^*



%Umfang

$u^*_{rel} = 85$

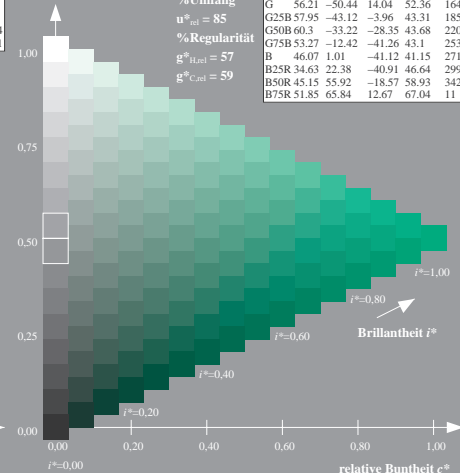
%Regularität

$g^*_{H,rel} = 57$

$g^*_{C,rel} = 59$

ORS18; adaptierte CIELAB-Daten

| | $L^*=L^*_a$ | a^*_a | b^*_a | $C^*_{ab,a}$ | $h^*_{ab,a}$ |
|------|-------------|---------|---------|--------------|--------------|
| R | 51.79 | 63.09 | 29.02 | 69.44 | 25 |
| R25J | 53.73 | 56.6 | 48.42 | 74.48 | 41 |
| R50J | 65.47 | 35.67 | 59.82 | 69.65 | 59 |
| R75J | 76.51 | 15.98 | 70.55 | 72.34 | 77 |
| J | 86.93 | -2.58 | 80.67 | 80.71 | 92 |
| J25G | 84.92 | -17.23 | 75.99 | 77.92 | 103 |
| J50G | 73.11 | -32.96 | 59.0 | 67.58 | 119 |
| J75G | 60.06 | -50.34 | 40.22 | 64.44 | 141 |
| G | 56.21 | -50.44 | 14.04 | 52.36 | 164 |
| G25B | 57.95 | -43.12 | -3.96 | 43.31 | 185 |
| G50B | 60.3 | -33.22 | -28.35 | 43.68 | 220 |
| G75B | 53.27 | -12.42 | -41.26 | 43.1 | 253 |
| B | 46.07 | 1.01 | -41.12 | 41.15 | 271 |
| B25R | 34.63 | 22.38 | -40.91 | 46.64 | 299 |
| B50R | 45.15 | 55.92 | -18.57 | 58.93 | 342 |
| B75R | 51.85 | 65.84 | 12.67 | 67.04 | 411 |



ZG920-7N, 9stufige Reihen für konstanten CIELAB Buntton 164/360 = 0.457 (links) Seite 25/96

ZG920-7N, 16stufige Reihen für konstanten CIELAB Buntton 164/360 = 0.457 (rechts)

BAM-Prüfvorlage ZG92; Farbmetrik-Systeme, Seite 25/96 Eingabe: $rgb / cmy0$ set($rgb/cmyk$)color
D65: 9 und 16stufige Farbreihen für 16 Elementar-Bunttöne Ausgabe: $\rightarrow cmy5^* setcmykcolor$

Eingabe: Farbmetrisches Offset-Reflektiv-System ORS18

für Buntton $h^* = lab^*h = 185/360 = 0.515$

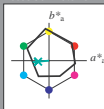
lab^*tch und lab^*nch

D65: Buntton G25B

LCH*Ma: 58 43 185

olv*Ma: 0.0 1.0 0.49

Dreiecks-Helligkeit t^*



%Umfang

$u^*_{rel} = 85$

%Regularität

$g^*_{H,rel} = 57$

$g^*_{C,rel} = 59$

ORS18; adaptierte CIELAB-Daten

| | $L^*=L^*_a$ | a^*_a | b^*_a | $C^*_{ab,a}$ | $h^*_{ab,a}$ |
|------------------|-------------|---------|---------|--------------|--------------|
| O _{Ma} | 51.74 | 60.16 | 46.48 | 76.02 | 38 |
| Y _{Ma} | 90.77 | -9.44 | 84.41 | 84.94 | 96 |
| L _{Ma} | 54.46 | -57.8 | 32.16 | 66.15 | 151 |
| C _{Ma} | 61.56 | -27.91 | -41.41 | 49.95 | 236 |
| V _{Ma} | 31.3 | 28.61 | -40.85 | 49.88 | 305 |
| M _{Ma} | 51.91 | 69.26 | -7.69 | 69.68 | 354 |
| N _{Ma} | 24.2 | 0.0 | 0.0 | 0.0 | 0 |
| W _{Ma} | 95.41 | 0.0 | 0.0 | 0.0 | 0 |
| R _{CIE} | 44.36 | 53.97 | 24.82 | 59.4 | 25 |
| J _{CIE} | 82.39 | -1.99 | 62.34 | 62.37 | 92 |
| G _{CIE} | 55.68 | -38.87 | 10.82 | 40.36 | 164 |
| B _{CIE} | 35.76 | 1.06 | -43.09 | 43.11 | 271 |

Ausgabe: Farbmetrisches Offset-Reflektiv-System ORS18

für Buntton $h^* = lab^*h = 185/360 = 0.515$

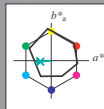
lab^*tch und lab^*nch

D65: Buntton G25B

LCH*Ma: 58 43 185

olv*Ma: 0.0 1.0 0.49

Dreiecks-Helligkeit t^*



%Umfang

$u^*_{rel} = 85$

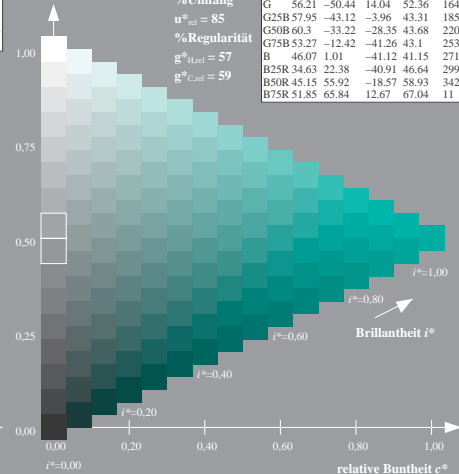
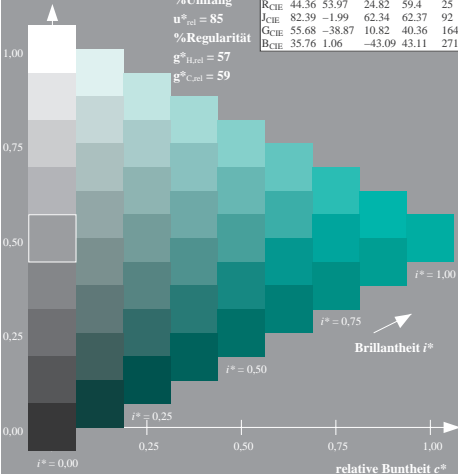
%Regularität

$g^*_{H,rel} = 57$

$g^*_{C,rel} = 59$

ORS18; adaptierte CIELAB-Daten

| | $L^*=L^*_a$ | a^*_a | b^*_a | $C^*_{ab,a}$ | $h^*_{ab,a}$ |
|------|-------------|---------|---------|--------------|--------------|
| R | 51.79 | 63.09 | 29.02 | 69.44 | 25 |
| R25J | 53.73 | 56.6 | 48.42 | 74.48 | 41 |
| R50J | 65.47 | 35.67 | 59.82 | 69.65 | 59 |
| R75J | 76.51 | 15.98 | 70.55 | 72.34 | 77 |
| J | 86.93 | -2.58 | 80.67 | 80.71 | 92 |
| J25G | 84.92 | -17.23 | 75.99 | 77.92 | 103 |
| J50G | 73.11 | -32.96 | 59.0 | 67.58 | 119 |
| J75G | 60.06 | -50.34 | 40.22 | 64.44 | 141 |
| G | 56.21 | -50.44 | 14.04 | 52.36 | 164 |
| G25B | 57.95 | -43.12 | -3.96 | 43.31 | 185 |
| G50B | 60.3 | -33.22 | -28.35 | 43.68 | 220 |
| G75B | 53.27 | -12.42 | -41.26 | 43.1 | 253 |
| B | 46.07 | 1.01 | -41.12 | 41.15 | 271 |
| B25R | 34.63 | 22.38 | -40.91 | 46.64 | 299 |
| B50R | 45.15 | 55.92 | -18.57 | 58.93 | 342 |
| B75R | 51.85 | 65.84 | 12.67 | 67.04 | 411 |



ZG920-7N, 9stufige Reihen für konstanten CIELAB Buntton 185/360 = 0.515 (links) Seite 26/96

ZG920-7N, 16stufige Reihen für konstanten CIELAB Buntton 185/360 = 0.515 (rechts)

BAM-Prüfvorlage ZG92; Farbmetrik-Systeme, Seite 26/96 Eingabe: $rgb / cmy0$ set($rgb/cmyk$)color
D65: 9 und 16stufige Farbreihen für 16 Elementar-Bunttöne Ausgabe: $\rightarrow cmy5^* setcmykcolor$

Eingabe: Farbmetrisches Offset-Reflektiv-System ORS18

für Buntton $h^* = lab^*h = 220/360 = 0.612$

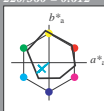
lab^*tch und lab^*nch

D65: Buntton G50B

LCH*Ma: 60 44 220

olv*Ma: 0.0 1.0 0.82

Dreiecks-Helligkeit t^*



%Umfang

$u^*_{rel} = 85$

%Regularität

$g^*_{H,rel} = 57$

$g^*_{C,rel} = 59$

ORS18; adaptierte CIELAB-Daten

| | $L^*=L^*_a$ | a^*_a | b^*_a | $C^*_{ab,a}$ | $h^*_{ab,a}$ |
|------------------|-------------|---------|---------|--------------|--------------|
| O _{Ma} | 51.74 | 60.16 | 46.48 | 76.02 | 38 |
| Y _{Ma} | 90.77 | -9.44 | 84.41 | 84.94 | 96 |
| L _{Ma} | 54.46 | -57.8 | 32.16 | 66.15 | 151 |
| C _{Ma} | 61.56 | -27.91 | -41.41 | 49.95 | 236 |
| V _{Ma} | 31.3 | 28.61 | -40.85 | 49.88 | 305 |
| M _{Ma} | 51.91 | 69.26 | -7.69 | 69.68 | 354 |
| N _{Ma} | 24.2 | 0.0 | 0.0 | 0.0 | 0 |
| W _{Ma} | 95.41 | 0.0 | 0.0 | 0.0 | 0 |
| R _{CIE} | 44.36 | 53.97 | 24.82 | 59.4 | 25 |
| J _{CIE} | 82.39 | -1.99 | 62.34 | 62.37 | 92 |
| G _{CIE} | 55.68 | -38.87 | 10.82 | 40.36 | 164 |
| B _{CIE} | 35.76 | 1.06 | -43.09 | 43.11 | 271 |

Ausgabe: Farbmetrisches Offset-Reflektiv-System ORS18

für Buntton $h^* = lab^*h = 220/360 = 0.612$

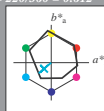
lab^*tch und lab^*nch

D65: Buntton G50B

LCH*Ma: 60 44 220

olv*Ma: 0.0 1.0 0.82

Dreiecks-Helligkeit t^*



%Umfang

$u^*_{rel} = 85$

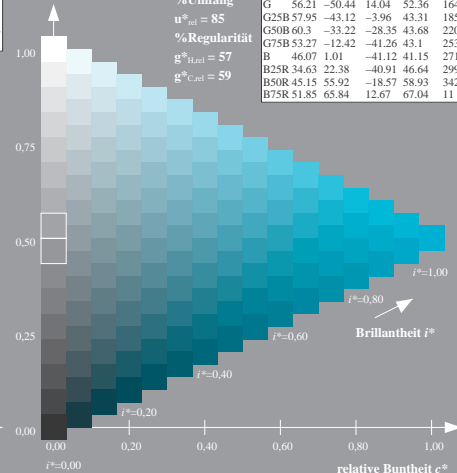
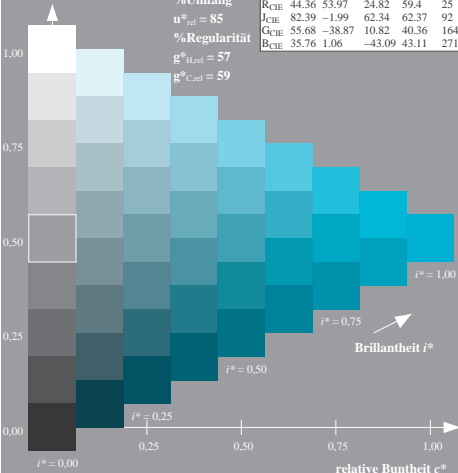
%Regularität

$g^*_{H,rel} = 57$

$g^*_{C,rel} = 59$

ORS18; adaptierte CIELAB-Daten

| | $L^*=L^*_a$ | a^*_a | b^*_a | $C^*_{ab,a}$ | $h^*_{ab,a}$ |
|------|-------------|---------|---------|--------------|--------------|
| R | 51.79 | 63.09 | 29.02 | 69.44 | 25 |
| R25J | 53.73 | 56.6 | 48.42 | 74.48 | 41 |
| R50J | 65.47 | 35.67 | 59.82 | 69.65 | 59 |
| R75J | 76.51 | 15.98 | 70.55 | 72.34 | 77 |
| J | 86.93 | -2.58 | 80.67 | 80.71 | 92 |
| J25G | 84.92 | -17.23 | 75.99 | 77.92 | 103 |
| J50G | 73.11 | -32.96 | 59.0 | 67.58 | 119 |
| J75G | 60.06 | -50.34 | 40.22 | 64.44 | 141 |
| G | 56.21 | -50.44 | 14.04 | 52.36 | 164 |
| G25B | 57.95 | -43.12 | -3.96 | 43.31 | 185 |
| G50B | 60.3 | -33.22 | -28.35 | 43.68 | 220 |
| G75B | 53.27 | -12.42 | -41.26 | 43.1 | 253 |
| B | 46.07 | 1.01 | -41.12 | 41.15 | 271 |
| B25R | 34.63 | 22.38 | -40.91 | 46.64 | 299 |
| B50R | 45.15 | 55.92 | -18.57 | 58.93 | 342 |
| B75R | 51.85 | 65.84 | 12.67 | 67.04 | 411 |



ZG920-7N, 9stufige Reihen für konstanten CIELAB Buntton 220/360 = 0.612 (links) Seite 27/96

ZG920-7N, 16stufige Reihen für konstanten CIELAB Buntton 220/360 = 0.612 (rechts)

BAM-Prüfvorlage ZG92; Farbmetrik-Systeme, Seite 27/96 Eingabe: $rgb / cmy0$ set($rgb/cmyk$)color
D65: 9 und 16stufige Farbreihen für 16 Elementar-Bunttöne Ausgabe: $\rightarrow cmy0$ set($cmyk$)color

Eingabe: Farbmetrisches Offset-Reflektiv-System ORS18

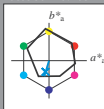
für Buntton $h^* = lab^*h = 253/360 = 0.703$

lab^*tch und lab^*nch

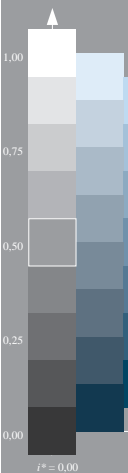
D65: Buntton G75B

LCH*Ma: 53 43 253

olv*Ma: 0.0 0.73 1.0



Dreiecks-Helligkeit r^*



%Umfang

$u^*_{rel} = 85$

%Regularität

$g^*_{H,rel} = 57$

$g^*_{C,rel} = 59$

ORS18; adaptierte CIELAB-Daten

| | $L^*=L^*_a$ | a^*_a | b^*_a | $C^*_{ab,a}$ | $h^*_{ab,a}$ |
|------------------|-------------|---------|---------|--------------|--------------|
| O _{Ma} | 51.74 | 60.16 | 46.48 | 76.02 | 38 |
| Y _{Ma} | 90.77 | -9.44 | 84.41 | 84.94 | 96 |
| L _{Ma} | 54.46 | -57.8 | 32.16 | 66.15 | 151 |
| C _{Ma} | 61.56 | -27.91 | -41.41 | 49.95 | 236 |
| V _{Ma} | 31.3 | 28.61 | -40.85 | 49.88 | 305 |
| M _{Ma} | 51.91 | 69.26 | -7.69 | 69.68 | 354 |
| N _{Ma} | 24.2 | 0.0 | 0.0 | 0.0 | 0 |
| W _{Ma} | 95.41 | 0.0 | 0.0 | 0.0 | 0 |
| R _{CIE} | 44.36 | 53.97 | 24.82 | 59.4 | 25 |
| J _{CIE} | 82.39 | -1.99 | 62.34 | 62.37 | 92 |
| G _{CIE} | 55.68 | -38.87 | 10.82 | 40.36 | 164 |
| B _{CIE} | 35.76 | 1.06 | -43.09 | 43.11 | 271 |

Ausgabe: Farbmetrisches Offset-Reflektiv-System ORS18

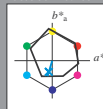
für Buntton $h^* = lab^*h = 253/360 = 0.703$

lab^*tch und lab^*nch

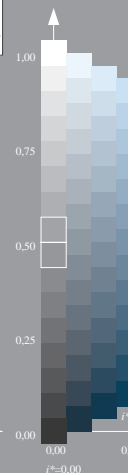
D65: Buntton G75B

LCH*Ma: 53 43 253

olv*Ma: 0.0 0.73 1.0



Dreiecks-Helligkeit r^*



%Umfang

$u^*_{rel} = 85$

%Regularität

$g^*_{H,rel} = 57$

$g^*_{C,rel} = 59$

ORS18; adaptierte CIELAB-Daten

| | $L^*=L^*_a$ | a^*_a | b^*_a | $C^*_{ab,a}$ | $h^*_{ab,a}$ |
|------|-------------|---------|---------|--------------|--------------|
| R | 51.79 | 63.09 | 29.02 | 69.44 | 25 |
| R25J | 53.73 | 56.6 | 48.42 | 74.48 | 41 |
| R50J | 65.47 | 35.67 | 59.82 | 69.65 | 59 |
| R75J | 76.51 | 15.98 | 70.55 | 72.34 | 77 |
| J | 86.93 | -2.58 | 80.67 | 80.71 | 92 |
| J25G | 84.92 | -17.23 | 75.99 | 77.92 | 103 |
| J50G | 73.11 | -32.96 | 59.0 | 67.58 | 119 |
| J75G | 60.06 | -50.34 | 40.22 | 64.44 | 141 |
| G | 56.21 | -50.44 | 14.04 | 52.36 | 164 |
| G25B | 57.95 | -43.12 | -3.96 | 43.31 | 185 |
| G50B | 60.3 | -33.22 | -28.35 | 43.68 | 220 |
| G75B | 53.27 | -12.42 | -41.26 | 43.1 | 253 |
| B | 46.07 | 1.01 | -41.12 | 41.15 | 271 |
| B25R | 34.63 | 22.38 | -40.91 | 46.64 | 299 |
| B50R | 45.15 | 55.92 | -18.57 | 58.93 | 342 |
| B75R | 51.85 | 65.84 | 12.67 | 67.04 | 411 |

ZG920-7N, 9stufige Reihen für konstanten CIELAB Buntton 253/360 = 0.703 (links) Seite 28/96

ZG920-7N, 16stufige Reihen für konstanten CIELAB Buntton 253/360 = 0.703 (rechts)

BAM-Prüfvorlage ZG92; Farbmetrik-Systeme, Seite 28/96 Eingabe: $rgb / cmy0 set(rgb/cmyk)color$
D65: 9 und 16stufige Farbreihen für 16 Elementar-Bunttöne Ausgabe: $\rightarrow cmy5^* setcmykcolor$

Eingabe: Farbmetrisches Offset-Reflektiv-System ORS18

für Buntton $h^* = lab^*h = 271/360 = 0.754$

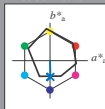
lab^*tch und lab^*nch

D65: Buntton B

LCH*Ma: 46 41 271

olv*Ma: 0.0 0.49 1.0

Dreiecks-Helligkeit t^*



%Umfang

$u^*_{rel} = 85$

%Regularität

$g^*_{H,rel} = 57$

$g^*_{C,rel} = 59$

ORS18; adaptierte CIELAB-Daten

| | $L^*=L^*_a$ | a^*_a | b^*_a | $C^*_{ab,a}$ | $h^*_{ab,a}$ |
|------------------|-------------|---------|---------|--------------|--------------|
| O _{Ma} | 51.74 | 60.16 | 46.48 | 76.02 | 38 |
| Y _{Ma} | 90.77 | -9.44 | 84.41 | 84.94 | 96 |
| L _{Ma} | 54.46 | -57.8 | 32.16 | 66.15 | 151 |
| C _{Ma} | 61.56 | -27.91 | -41.41 | 49.95 | 236 |
| V _{Ma} | 31.3 | 28.61 | -40.85 | 49.88 | 305 |
| M _{Ma} | 51.91 | 69.26 | -7.69 | 69.68 | 354 |
| N _{Ma} | 24.2 | 0.0 | 0.0 | 0.0 | 0 |
| W _{Ma} | 95.41 | 0.0 | 0.0 | 0.0 | 0 |
| R _{CIE} | 44.36 | 53.97 | 24.82 | 59.4 | 25 |
| J _{CIE} | 82.39 | -1.99 | 62.34 | 62.37 | 92 |
| G _{CIE} | 55.68 | -38.87 | 10.82 | 40.36 | 164 |
| B _{CIE} | 35.76 | 1.06 | -43.09 | 43.11 | 271 |

Ausgabe: Farbmetrisches Offset-Reflektiv-System ORS18

für Buntton $h^* = lab^*h = 271/360 = 0.754$

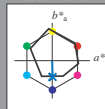
lab^*tch und lab^*nch

D65: Buntton B

LCH*Ma: 46 41 271

olv*Ma: 0.0 0.49 1.0

Dreiecks-Helligkeit t^*



%Umfang

$u^*_{rel} = 85$

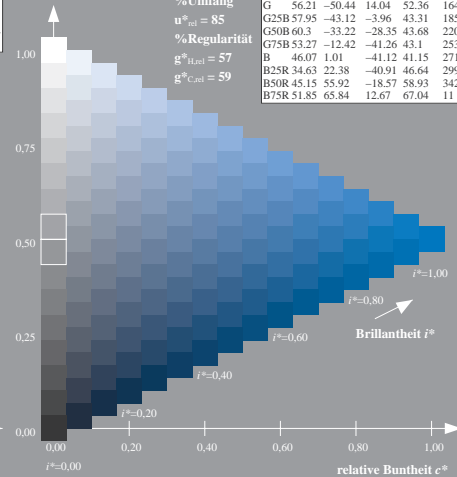
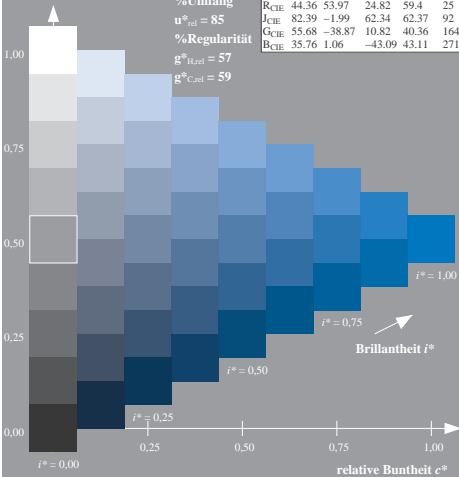
%Regularität

$g^*_{H,rel} = 57$

$g^*_{C,rel} = 59$

ORS18; adaptierte CIELAB-Daten

| | $L^*=L^*_a$ | a^*_a | b^*_a | $C^*_{ab,a}$ | $h^*_{ab,a}$ |
|------|-------------|---------|---------|--------------|--------------|
| R | 51.79 | 63.09 | 29.02 | 69.44 | 25 |
| R25J | 53.73 | 56.6 | 48.42 | 74.48 | 41 |
| R50J | 65.47 | 35.67 | 59.82 | 69.65 | 59 |
| R75J | 76.51 | 15.98 | 70.55 | 72.34 | 77 |
| J | 86.93 | -2.58 | 80.67 | 80.71 | 92 |
| J25G | 84.92 | -17.23 | 75.99 | 77.92 | 103 |
| J50G | 73.11 | -32.96 | 59.0 | 67.58 | 119 |
| J75G | 60.06 | -50.34 | 40.22 | 64.44 | 141 |
| G | 56.21 | -50.44 | 14.04 | 52.36 | 164 |
| G25B | 57.95 | -43.12 | -3.96 | 43.31 | 185 |
| G50B | 60.3 | -33.22 | -28.35 | 43.68 | 220 |
| G75B | 53.27 | -12.42 | -41.26 | 43.1 | 253 |
| B | 46.07 | 1.01 | -41.12 | 41.15 | 271 |
| B25R | 34.63 | 22.38 | -40.91 | 46.64 | 299 |
| B50R | 45.15 | 55.92 | -18.57 | 58.93 | 342 |
| B75R | 51.85 | 65.84 | 12.67 | 67.04 | 411 |



ZG920-7N, 9stufige Reihen für konstanten CIELAB Buntton 271/360 = 0.754 (links) Seite 29/96

ZG920-7N, 16stufige Reihen für konstanten CIELAB Buntton 271/360 = 0.754 (rechts)

BAM-Prüfvorlage ZG92; Farbmetrik-Systeme, Seite 29/96 Eingabe: $rgb / cmy0$ set($rgb/cmyk$)color
D65: 9 und 16stufige Farbreihen für 16 Elementar-Bunttöne Ausgabe: $\rightarrow cmy0$ set($cmyk$)color

Eingabe: Farbmetrisches Offset-Reflektiv-System ORS18

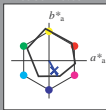
für Buntton $h^* = lab^*h = 299/360 = 0.83$

lab^*tch und lab^*nch

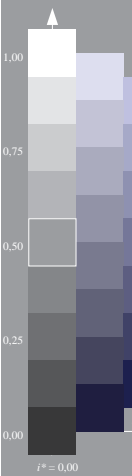
D65: Buntton B25R

LCH*Ma: 35 47 299

olv*Ma: 0.0 0.11 1.0



Dreiecks-Helligkeit r^*



%Umfang
 $u^*_{rel} = 85$
%Regularität
 $g^*_{H,rel} = 57$
 $g^*_{C,rel} = 59$

ORS18; adaptierte CIELAB-Daten

| | $L^*=L^*_a$ | a^*_a | b^*_a | $C^*_{ab,a}$ | $h^*_{ab,a}$ |
|------------------|-------------|---------|---------|--------------|--------------|
| O _{Ma} | 51.74 | 60.16 | 46.48 | 76.02 | 38 |
| Y _{Ma} | 90.77 | -9.44 | 84.41 | 84.94 | 96 |
| L _{Ma} | 54.46 | -57.8 | 32.16 | 66.15 | 151 |
| C _{Ma} | 61.56 | -27.91 | -41.41 | 49.95 | 236 |
| V _{Ma} | 31.3 | 28.61 | -40.85 | 49.88 | 305 |
| M _{Ma} | 51.91 | 69.26 | -7.69 | 69.68 | 354 |
| N _{Ma} | 24.2 | 0.0 | 0.0 | 0.0 | 0 |
| W _{Ma} | 95.41 | 0.0 | 0.0 | 0.0 | 0 |
| R _{CIE} | 44.36 | 53.97 | 24.82 | 59.4 | 25 |
| J _{CIE} | 82.39 | -1.99 | 62.34 | 62.37 | 92 |
| G _{CIE} | 55.68 | -38.87 | 10.82 | 40.36 | 164 |
| B _{CIE} | 35.76 | 1.06 | -43.09 | 43.11 | 271 |

Ausgabe: Farbmetrisches Offset-Reflektiv-System ORS18

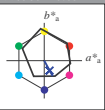
für Buntton $h^* = lab^*h = 299/360 = 0.83$

lab^*tch und lab^*nch

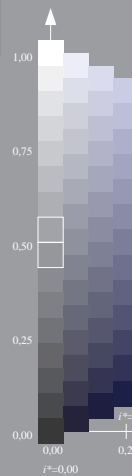
D65: Buntton B25R

LCH*Ma: 35 47 299

olv*Ma: 0.0 0.11 1.0



Dreiecks-Helligkeit r^*



%Umfang
 $u^*_{rel} = 85$
%Regularität
 $g^*_{H,rel} = 57$
 $g^*_{C,rel} = 59$

ORS18; adaptierte CIELAB-Daten

| | $L^*=L^*_a$ | a^*_a | b^*_a | $C^*_{ab,a}$ | $h^*_{ab,a}$ |
|------|-------------|---------|---------|--------------|--------------|
| R | 51.79 | 63.09 | 29.02 | 69.44 | 25 |
| R25J | 53.73 | 56.6 | 48.42 | 74.48 | 41 |
| R50J | 65.47 | 35.67 | 59.82 | 69.65 | 59 |
| R75J | 76.51 | 15.98 | 70.55 | 72.34 | 77 |
| J | 86.93 | -2.58 | 80.67 | 80.71 | 92 |
| J25G | 84.92 | -17.23 | 75.99 | 77.92 | 103 |
| J50G | 73.11 | -32.96 | 59.0 | 67.58 | 119 |
| J75G | 60.06 | -50.34 | 40.22 | 64.44 | 141 |
| G | 56.21 | -50.44 | 14.04 | 52.36 | 164 |
| G25B | 57.95 | -43.12 | -3.96 | 43.31 | 185 |
| G50B | 60.3 | -33.22 | -28.35 | 43.68 | 220 |
| G75B | 53.27 | -12.42 | -41.26 | 43.1 | 253 |
| B | 46.07 | 1.01 | -41.12 | 41.15 | 271 |
| B25R | 34.63 | 22.38 | -40.91 | 46.64 | 299 |
| B50R | 45.15 | 55.92 | -18.57 | 58.93 | 342 |
| B75R | 51.85 | 65.84 | 12.67 | 67.04 | 411 |

ZG920-7N, 9stufige Reihen für konstanten CIELAB Buntton 299/360 = 0.83 (links) Seite 30/96

ZG920-7N, 16stufige Reihen für konstanten CIELAB Buntton 299/360 = 0.83 (rechts)

BAM-Prüfvorlage ZG92; Farbmetrik-Systeme, Seite 30/96 Eingabe: $rgb / cmy0$ set($rgb/cmyk$)color
D65: 9 und 16stufige Farbreihen für 16 Elementar-Bunttöne Ausgabe: $\rightarrow cmy5^* setcmykcolor$

Eingabe: Farbmetrisches Offset-Reflektiv-System ORS18

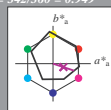
für Buntton $h^* = lab^*h = 342/360 = 0.949$

lab^*tch und lab^*nch

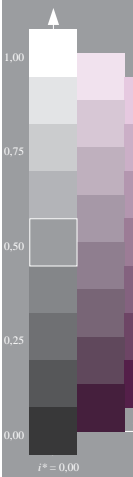
D65: Buntton B50R

LCH*Ma: 45 59 342

olv*Ma: 0.67 0.0 1.0



Dreiecks-Helligkeit i^*



%Umfang
 $u^*_{rel} = 85$
%Regularität
 $g^*_{H,rel} = 57$
 $g^*_{C,rel} = 59$

ORS18; adaptierte CIELAB-Daten

| | $L^*=L^*_a$ | a^*_a | b^*_a | $C^*_{ab,a}$ | $h^*_{ab,a}$ |
|------------------|-------------|---------|---------|--------------|--------------|
| O _{Ma} | 51.74 | 60.16 | 46.48 | 76.02 | 38 |
| Y _{Ma} | 90.77 | -9.44 | 84.41 | 84.94 | 96 |
| L _{Ma} | 54.46 | -57.8 | 32.16 | 66.15 | 151 |
| C _{Ma} | 61.56 | -27.91 | -41.41 | 49.95 | 236 |
| V _{Ma} | 31.3 | 28.61 | -40.85 | 49.88 | 305 |
| M _{Ma} | 51.91 | 69.26 | -7.69 | 69.68 | 354 |
| N _{Ma} | 24.2 | 0.0 | 0.0 | 0.0 | 0 |
| W _{Ma} | 95.41 | 0.0 | 0.0 | 0.0 | 0 |
| R _{CIE} | 44.36 | 53.97 | 24.82 | 59.4 | 25 |
| J _{CIE} | 82.39 | -1.99 | 62.34 | 62.37 | 92 |
| G _{CIE} | 55.68 | -38.87 | 10.82 | 40.36 | 164 |
| B _{CIE} | 35.76 | 1.06 | -43.09 | 43.11 | 271 |

Ausgabe: Farbmetrisches Offset-Reflektiv-System ORS18

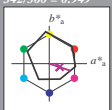
für Buntton $h^* = lab^*h = 342/360 = 0.949$

lab^*tch und lab^*nch

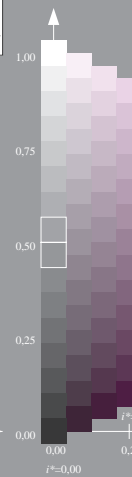
D65: Buntton B50R

LCH*Ma: 45 59 342

olv*Ma: 0.67 0.0 1.0



Dreiecks-Helligkeit i^*



%Umfang
 $u^*_{rel} = 85$
%Regularität
 $g^*_{H,rel} = 57$
 $g^*_{C,rel} = 59$

ORS18; adaptierte CIELAB-Daten

| | $L^*=L^*_a$ | a^*_a | b^*_a | $C^*_{ab,a}$ | $h^*_{ab,a}$ |
|------|-------------|---------|---------|--------------|--------------|
| R | 51.79 | 63.09 | 29.02 | 69.44 | 25 |
| R25J | 53.73 | 56.6 | 48.42 | 74.48 | 41 |
| R50J | 65.47 | 35.67 | 59.82 | 69.65 | 59 |
| R75J | 76.51 | 15.98 | 70.55 | 72.34 | 77 |
| J | 86.93 | -2.58 | 80.67 | 80.71 | 92 |
| J25G | 84.92 | -17.23 | 75.99 | 77.92 | 103 |
| J50G | 73.11 | -32.96 | 59.0 | 67.58 | 119 |
| J75G | 60.06 | -50.34 | 40.22 | 64.44 | 141 |
| G | 56.21 | -50.44 | 14.04 | 52.36 | 164 |
| G25B | 57.95 | -43.12 | -3.96 | 43.31 | 185 |
| G50B | 60.3 | -33.22 | -28.35 | 43.68 | 220 |
| G75B | 53.27 | -12.42 | -41.26 | 43.1 | 253 |
| B | 46.07 | 1.01 | -41.12 | 41.15 | 271 |
| B25R | 34.63 | 22.38 | -40.91 | 46.64 | 299 |
| B50R | 45.15 | 55.92 | -18.57 | 58.93 | 342 |
| B75R | 51.85 | 65.84 | 12.67 | 67.04 | 411 |

ZG920-7N, 9stufige Reihen für konstanten CIELAB Buntton 342/360 = 0.949 (links) Seite 31/96

ZG920-7N, 16stufige Reihen für konstanten CIELAB Buntton 342/360 = 0.949 (rechts)

BAM-Prüfvorlage ZG92; Farbmetrik-Systeme, Seite 31/96 Eingabe: $rgb / cmy0$ set($rgb/cmyk$)color
D65: 9 und 16stufige Farbreihen für 16 Elementar-Bunttöne Ausgabe: $\rightarrow cmy5^* setcmykcolor$

Eingabe: Farbmetrisches Offset-Reflektiv-System ORS18

für Buntton $h^* = lab^*h = 11/360 = 0.03$

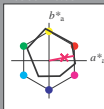
lab^*tch und lab^*nch

D65: Buntton B75R

LCH*Ma: 52 67 11

olv*Ma: 1.0 0.0 0.62

Dreiecks-Helligkeit i^*



%Umfang

$u^*_{rel} = 85$

%Regularität

$g^*_{H,rel} = 57$

$g^*_{C,rel} = 59$

ORS18; adaptierte CIELAB-Daten

| | $L^*=L^*_a$ | a^*_a | b^*_a | $C^*_{ab,a}$ | $h^*_{ab,a}$ |
|------------------|-------------|---------|---------|--------------|--------------|
| O _{Ma} | 51.74 | 60.16 | 46.48 | 76.02 | 38 |
| Y _{Ma} | 90.77 | -9.44 | 84.41 | 84.94 | 96 |
| L _{Ma} | 54.46 | -57.8 | 32.16 | 66.15 | 151 |
| C _{Ma} | 61.56 | -27.91 | -41.41 | 49.95 | 236 |
| V _{Ma} | 31.3 | 28.61 | -40.85 | 49.88 | 305 |
| N _{Ma} | 51.91 | 69.26 | -7.69 | 69.68 | 354 |
| M _{Ma} | 24.2 | 0.0 | 0.0 | 0.0 | 0 |
| W _{Ma} | 95.41 | 0.0 | 0.0 | 0.0 | 0 |
| R _{CIE} | 44.36 | 53.97 | 24.82 | 59.4 | 25 |
| J _{CIE} | 82.39 | -1.99 | 62.34 | 62.37 | 92 |
| G _{CIE} | 55.68 | -38.87 | 10.82 | 40.36 | 164 |
| B _{CIE} | 35.76 | 1.06 | -43.09 | 43.11 | 271 |

Ausgabe: Farbmetrisches Offset-Reflektiv-System ORS18

für Buntton $h^* = lab^*h = 11/360 = 0.03$

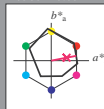
lab^*tch und lab^*nch

D65: Buntton B75R

LCH*Ma: 52 67 11

olv*Ma: 1.0 0.0 0.62

Dreiecks-Helligkeit i^*



%Umfang

$u^*_{rel} = 85$

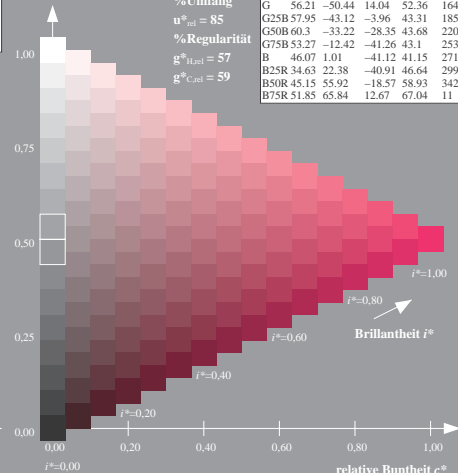
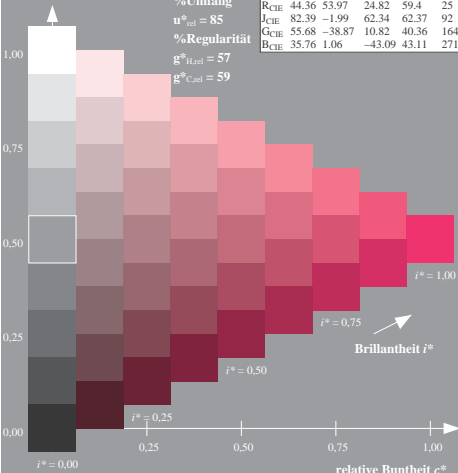
%Regularität

$g^*_{H,rel} = 57$

$g^*_{C,rel} = 59$

ORS18; adaptierte CIELAB-Daten

| | $L^*=L^*_a$ | a^*_a | b^*_a | $C^*_{ab,a}$ | $h^*_{ab,a}$ |
|------|-------------|---------|---------|--------------|--------------|
| R | 51.79 | 63.09 | 29.02 | 69.44 | 25 |
| R25J | 53.73 | 56.6 | 48.42 | 74.48 | 41 |
| R50J | 65.47 | 35.67 | 59.82 | 69.65 | 59 |
| R75J | 76.51 | 15.98 | 70.55 | 72.34 | 77 |
| J | 86.93 | -2.58 | 80.67 | 80.71 | 92 |
| J25G | 84.92 | -17.23 | 75.99 | 77.92 | 103 |
| J50G | 73.11 | -32.96 | 59.0 | 67.58 | 119 |
| J75G | 60.06 | -50.34 | 40.22 | 64.44 | 141 |
| G | 56.21 | -50.44 | 14.04 | 52.36 | 164 |
| G25B | 57.95 | -43.12 | -3.96 | 43.31 | 185 |
| G50B | 60.3 | -33.22 | -28.35 | 43.68 | 220 |
| G75B | 53.27 | -12.42 | -41.26 | 43.1 | 253 |
| B | 46.07 | 1.01 | -41.12 | 41.15 | 271 |
| B25R | 34.63 | 22.38 | -40.91 | 46.64 | 299 |
| B50R | 45.15 | 55.92 | -18.57 | 58.93 | 342 |
| B75R | 51.85 | 65.84 | 12.67 | 67.04 | 411 |



ZG920-7N, 9stufige Reihen für konstanten CIELAB Buntton 11/360 = 0.03 (links)

Seite 32/96

ZG920-7N, 16stufige Reihen für konstanten CIELAB Buntton 11/360 = 0.03 (rechts)

BAM-Prüfvorlage ZG92; Farbmetrik-Systeme, Seite 32/96 Eingabe: $rgb / cmy0$ set($rgb/cmyk$)color

D65: 9 und 16stufige Farbreihen für 16 Elementar-Bunttöne Ausgabe: $\rightarrow cmy5^* setcmykcolor$



c

•

•

•

•

•

•



c



c



c



c



c

=====

=====

=====

c

•

•

•

•

•

•

c

=====

=====

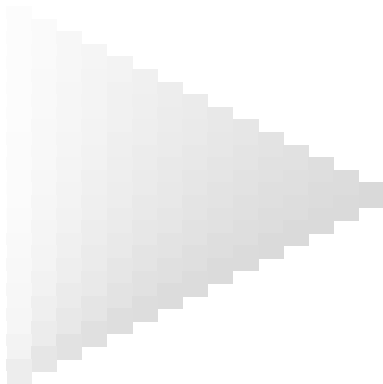
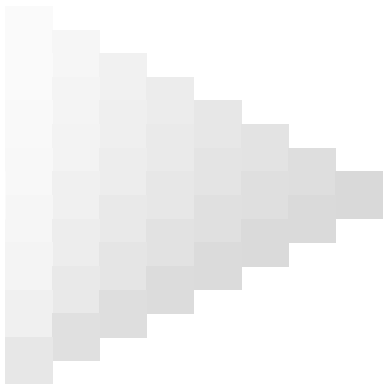
=====

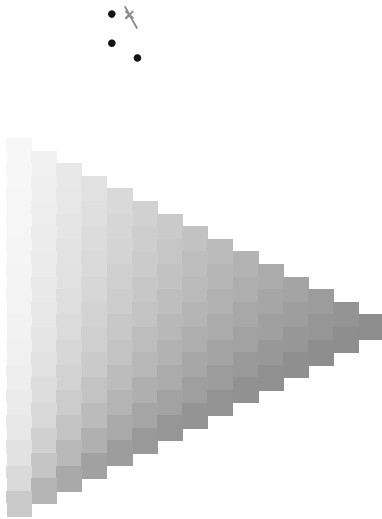
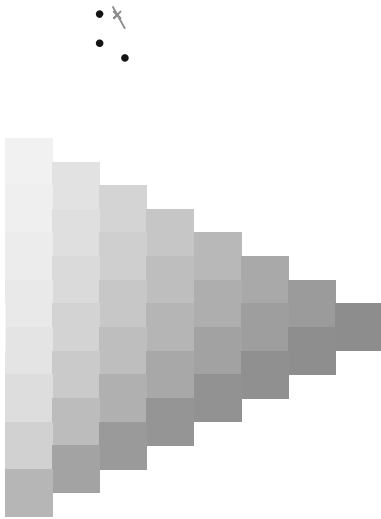


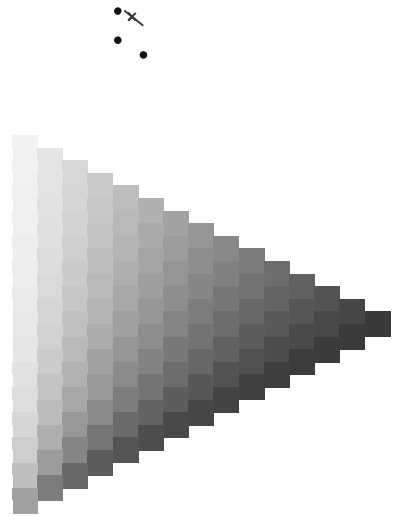
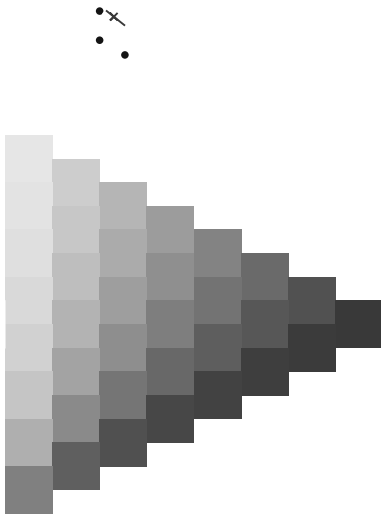
c



c

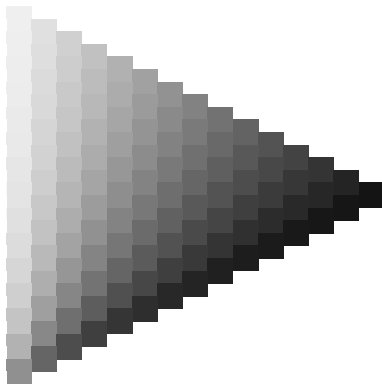
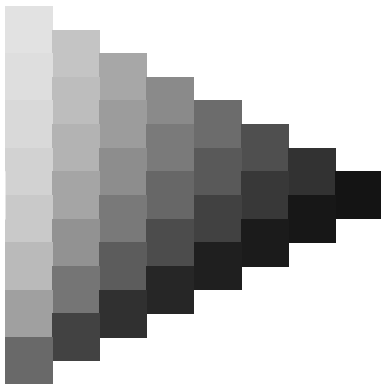






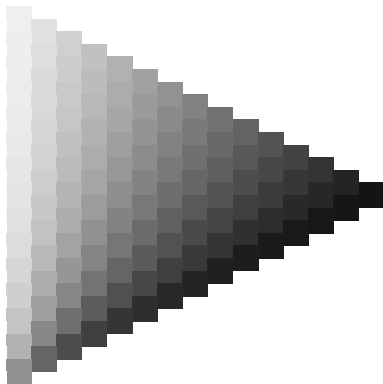
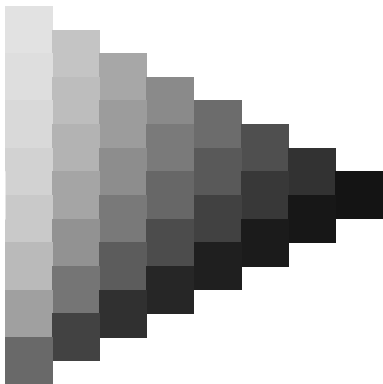
c

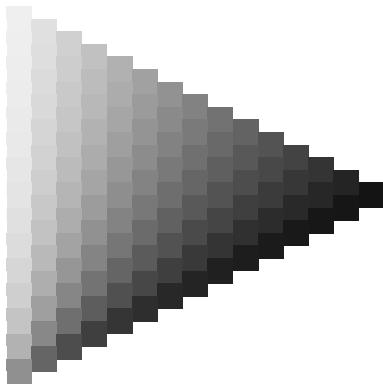
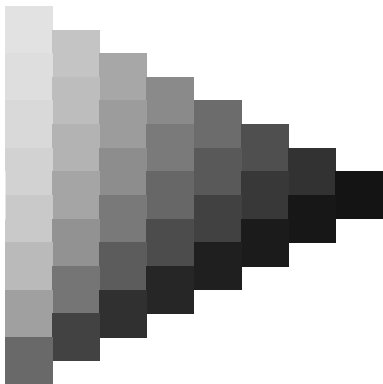
c



c

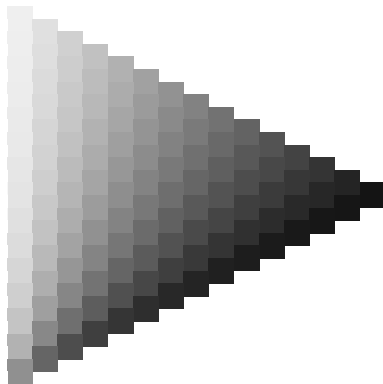
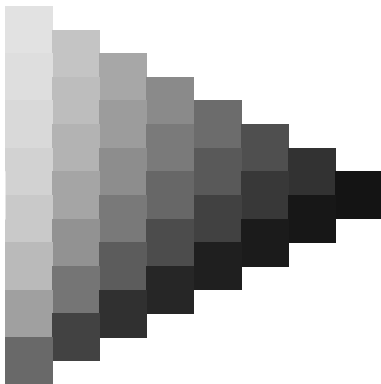
c

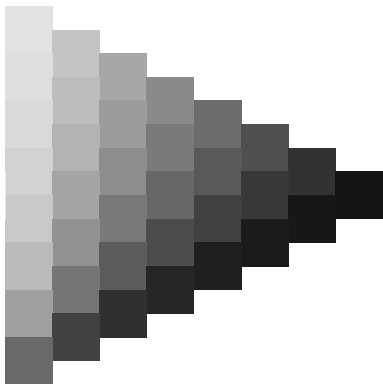




c

c

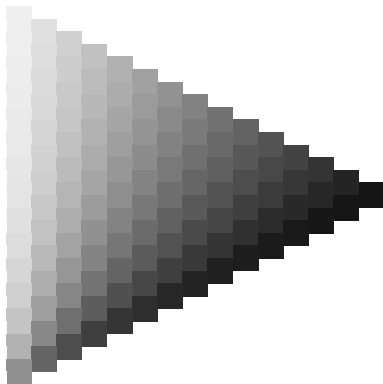




•
•
•
•

↓

•



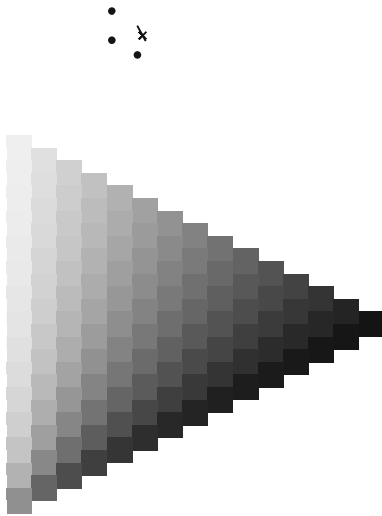
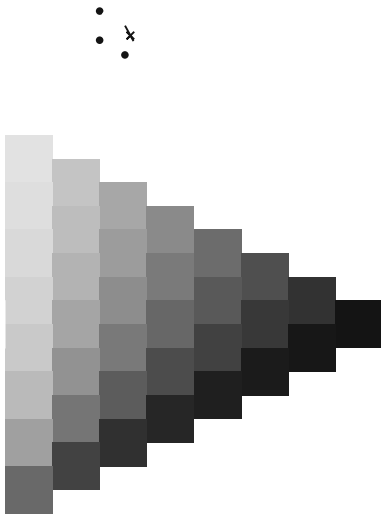
•
•
•
•

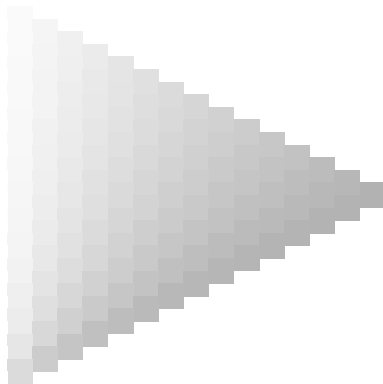
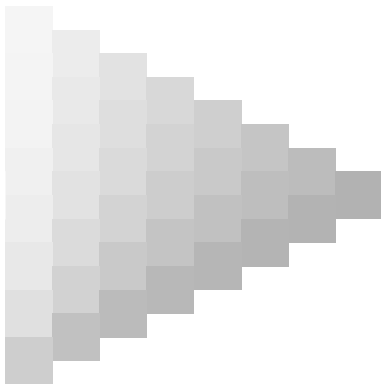
↓

•

c

c





c

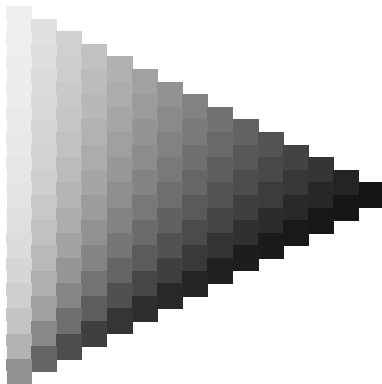
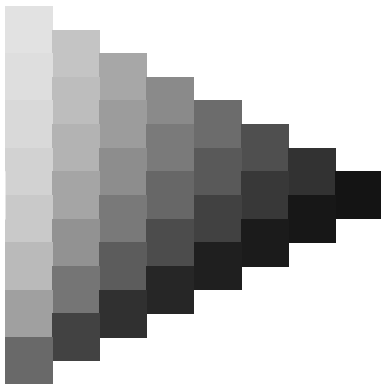
c



c

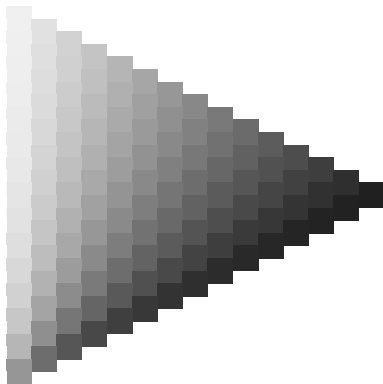
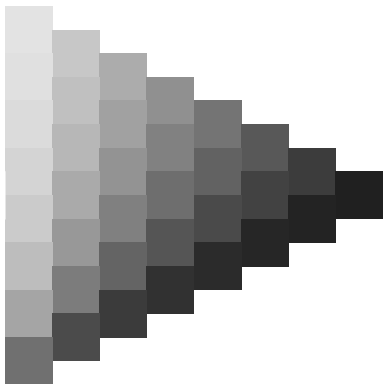


c



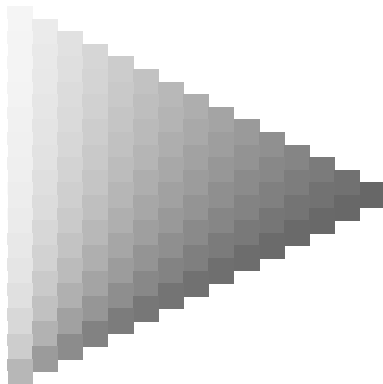
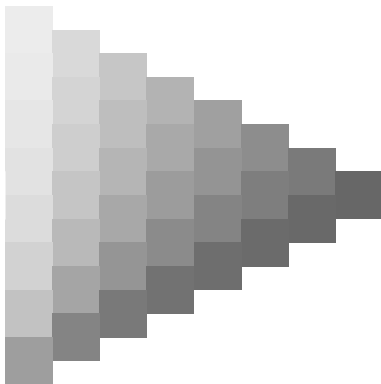
m

m



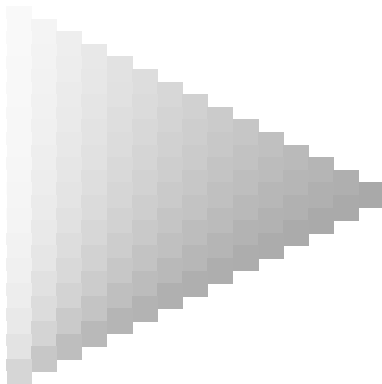
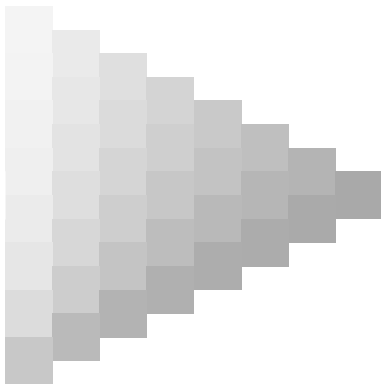
m

m



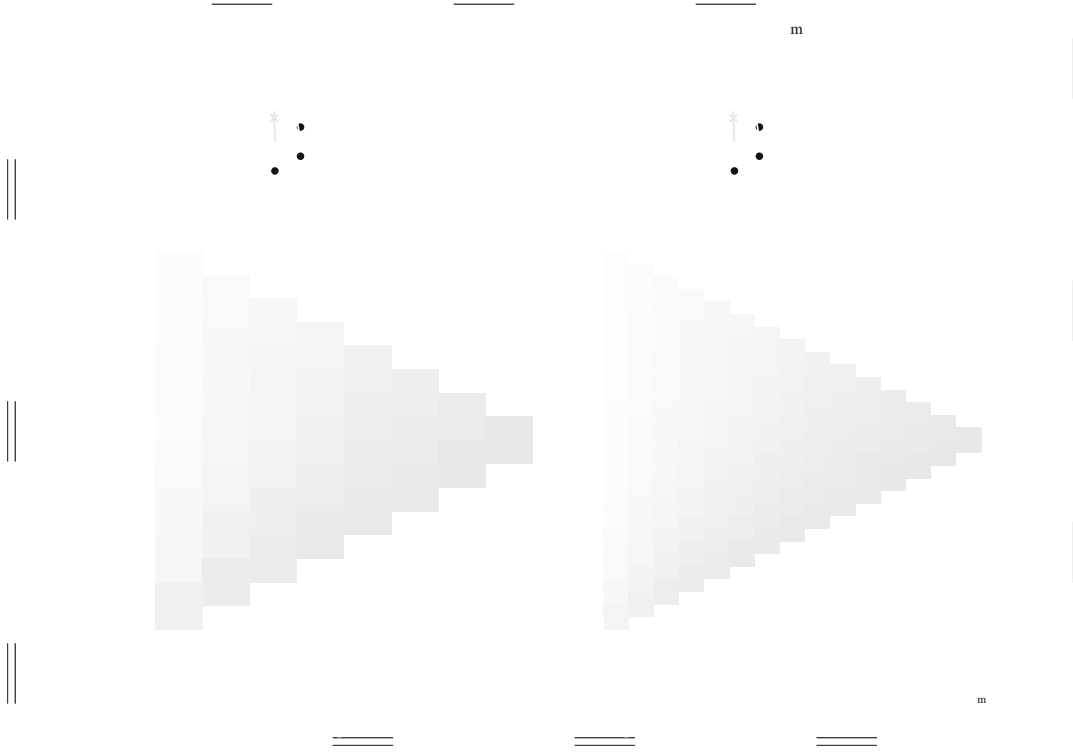
m

m



m

m



=====

=====

=====

m

=====

•
•

•
•

=====

=====

=====

=====

=====

m

=====

=====

=====

=====

=====

=====

m

=====

=====

•
•
•

•
•
•

=====

=====

=====

=====

m

=====

=====

=====

=====

=====

=====

m

=====

=====

•
•
•

•
•
•

=====

=====

=====

=====

m

=====

=====

=====

=====

=====

=====

m

=====

=====

•
•
•

•
•
•

=====

=====

=====

=====

m

=====

=====

=====

=====

=====

=====

m

=====

•
•

•
•

=====

=====

=====

=====

=====

m

=====

=====

=====

=====

=====

=====

m

=====

•
•

•
•

=====

=====

=====

=====

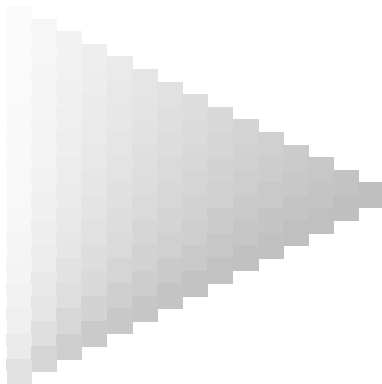
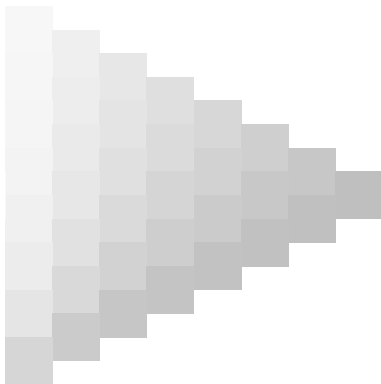
=====

m

=====

=====

=====

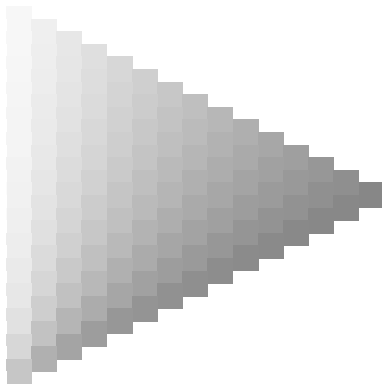
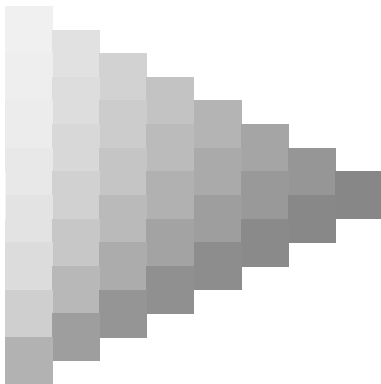


m



m



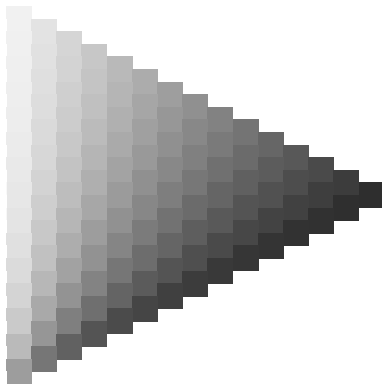
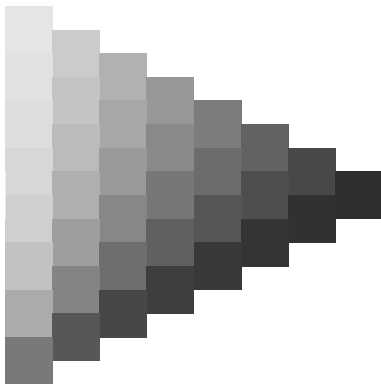


m



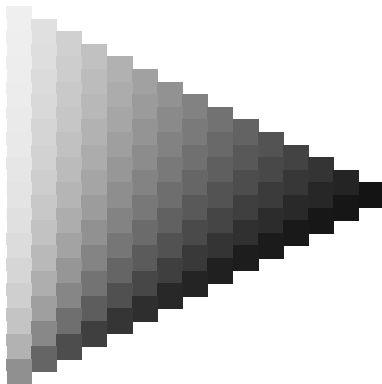
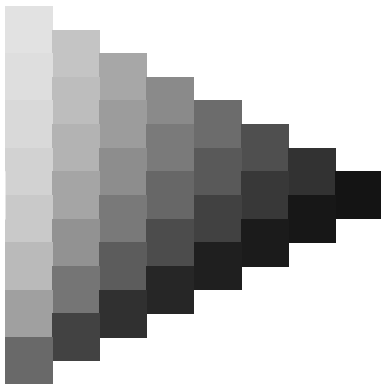
m





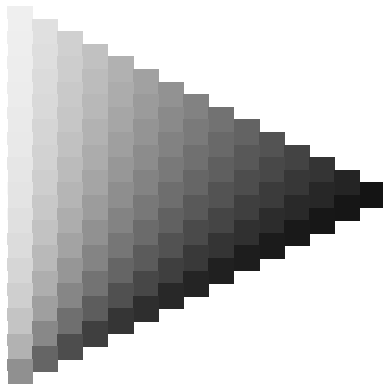
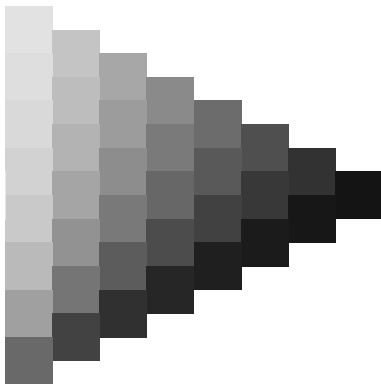
m

m



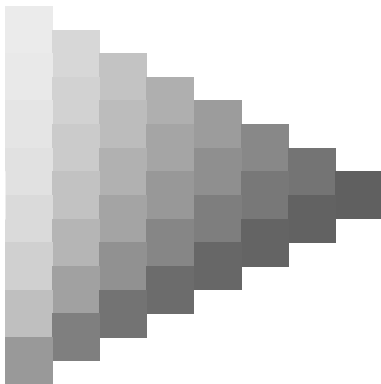
m

m



m

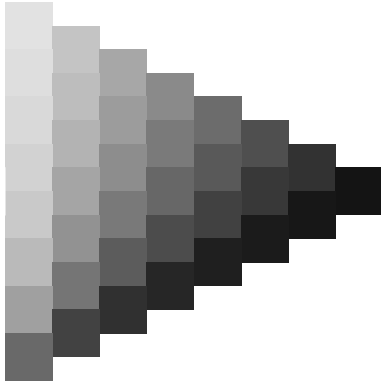
m



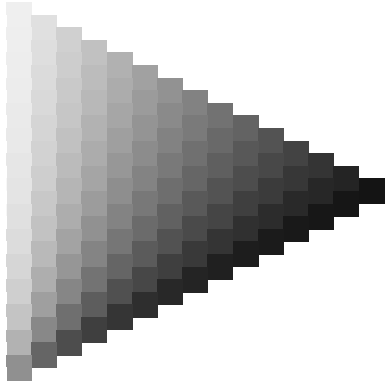
y



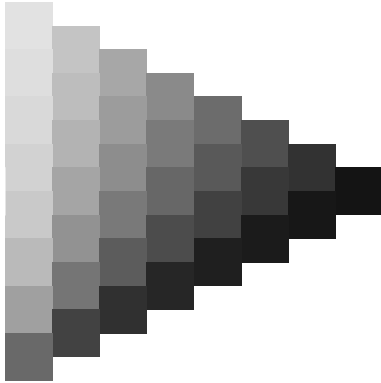
y



y



y

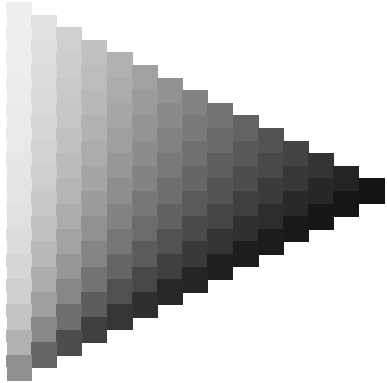


• $\frac{y}{x}$ •



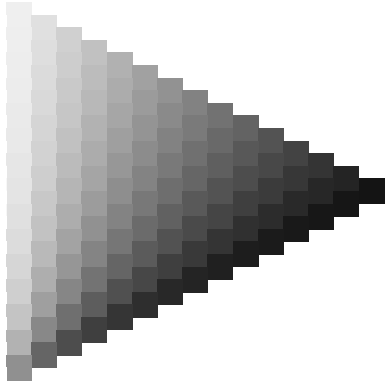
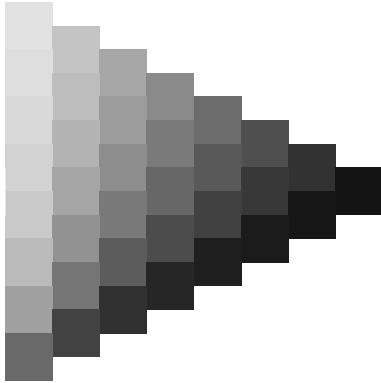
y

y



• $\frac{y}{x}$ •

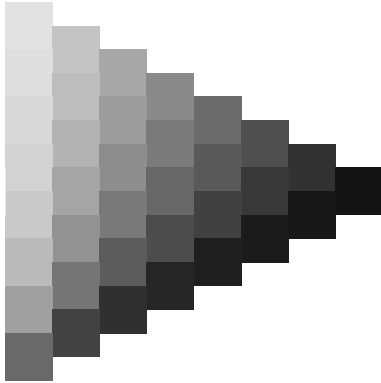




y

y





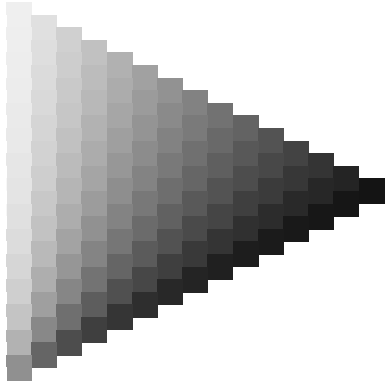
• $\frac{1}{2}$,

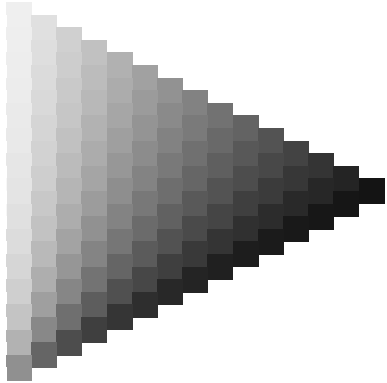
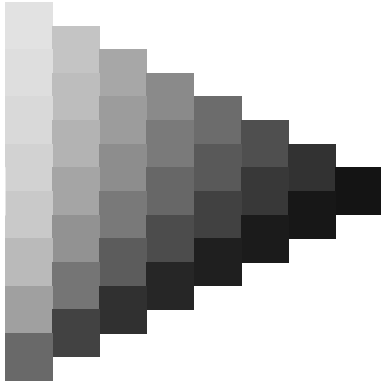


y

y

• $\frac{1}{2}$,

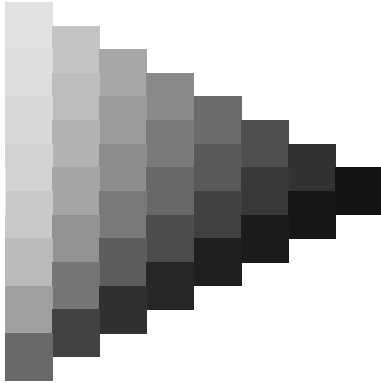




y

y



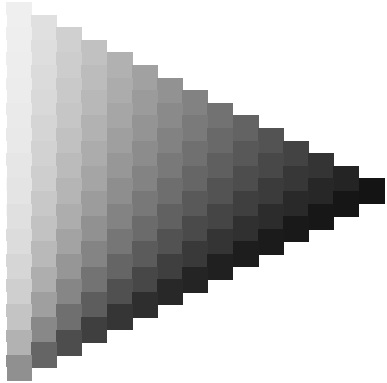


• $\frac{e}{x}$ •

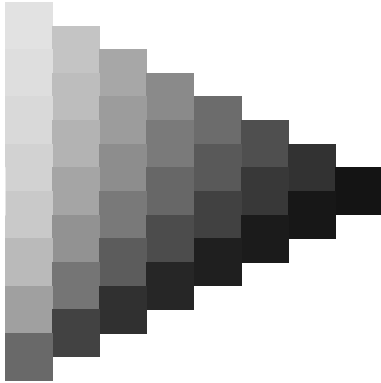


y

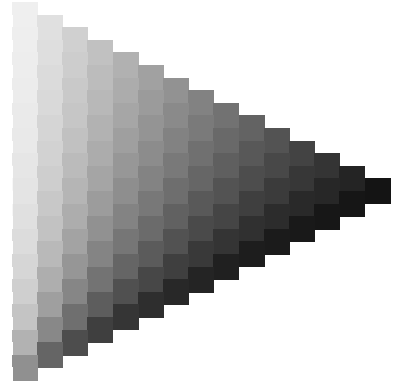
y



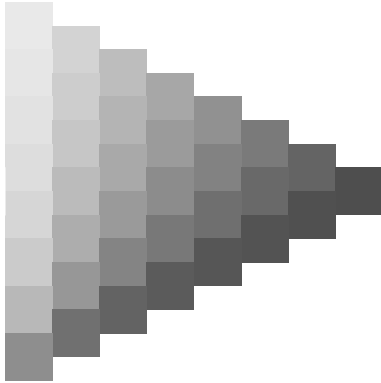
• $\frac{e}{x}$ •



y

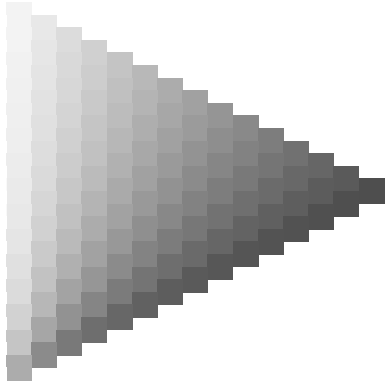


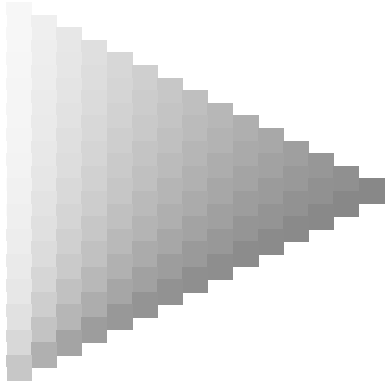
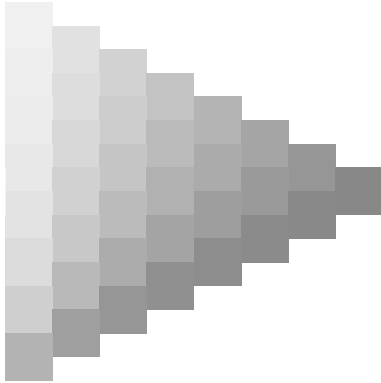
y



y

y

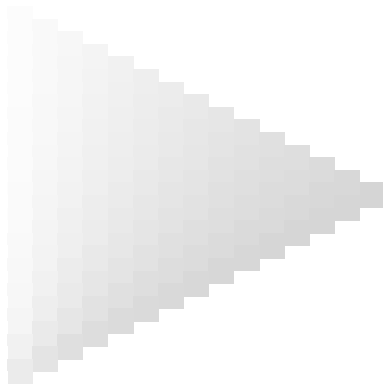
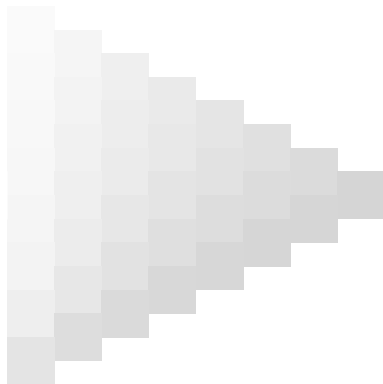




y

y





y

y

y



y

y



y

y



y

y

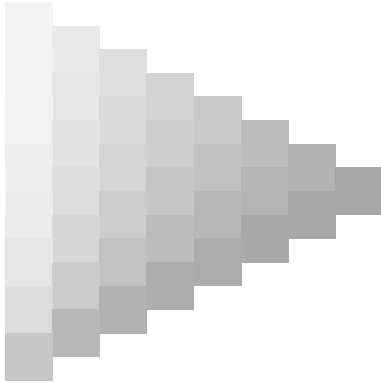


y

||

||

||



==

==

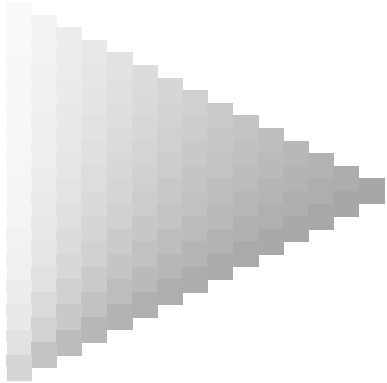
==

==

==

==

y



y

||

||

||

Eingabe: Farbmetrisches Offset-Reflektiv-System ORS18

für Buntton $h^* = \text{lab}^*h = 25/360 = 0.069$

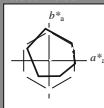
lab^*tch und lab^*nch

D65: Buntton R

LCH*Ma: 52 69 25

olv*Ma: 1.0 0.0 0.32

Dreiecks-Helligkeit t^*



%Umfang

$u^*_{rel} = 85$

%Regularität

$g^*_{H,rel} = 57$

$g^*_{C,rel} = 59$

ORS18; adaptierte CIELAB-Daten

| | $L^*=L^*_a$ | a^*_a | b^*_a | $C^*_{ab,a}$ | $h^*_{ab,a}$ |
|------------------|-------------|---------|---------|--------------|--------------|
| O _{Ma} | 51.74 | 60.16 | 46.48 | 76.02 | 38 |
| Y _{Ma} | 90.77 | -9.44 | 84.41 | 84.94 | 96 |
| L _{Ma} | 54.46 | -57.8 | 32.16 | 66.15 | 151 |
| C _{Ma} | 61.56 | -27.91 | -41.41 | 49.95 | 236 |
| V _{Ma} | 31.3 | 28.61 | -40.85 | 49.88 | 305 |
| M _{Ma} | 51.91 | 69.26 | -7.69 | 69.68 | 354 |
| N _{Ma} | 24.2 | 0.0 | 0.0 | 0.0 | 0 |
| W _{Ma} | 95.41 | 0.0 | 0.0 | 0.0 | 0 |
| R _{CIE} | 44.36 | 53.97 | 24.82 | 59.4 | 25 |
| J _{CIE} | 82.39 | -1.99 | 62.34 | 62.37 | 92 |
| G _{CIE} | 55.68 | -38.87 | 10.82 | 40.36 | 164 |
| B _{CIE} | 35.76 | 1.06 | -43.09 | 43.11 | 271 |

Ausgabe: Farbmetrisches Offset-Reflektiv-System ORS18

für Buntton $h^* = \text{lab}^*h = 25/360 = 0.069$

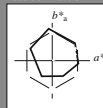
lab^*tch und lab^*nch

D65: Buntton R

LCH*Ma: 52 69 25

olv*Ma: 1.0 0.0 0.32

Dreiecks-Helligkeit t^*



%Umfang

$u^*_{rel} = 85$

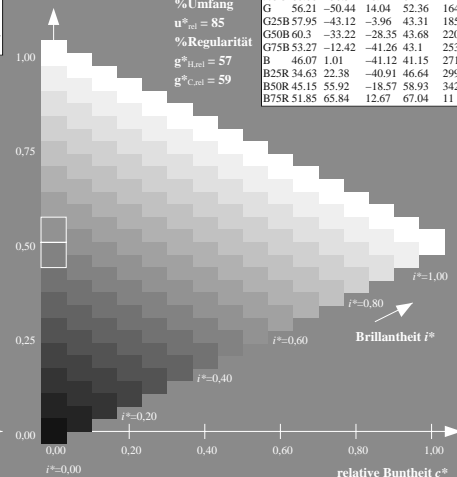
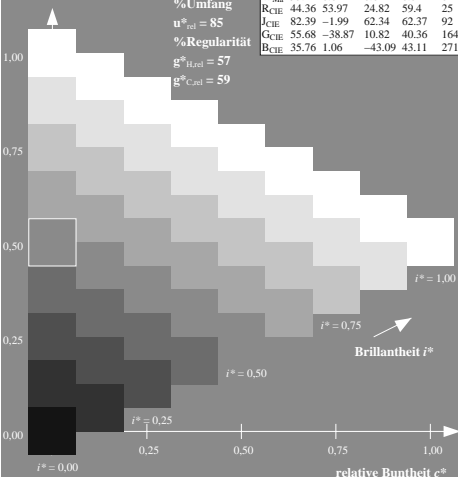
%Regularität

$g^*_{H,rel} = 57$

$g^*_{C,rel} = 59$

ORS18; adaptierte CIELAB-Daten

| | $L^*=L^*_a$ | a^*_a | b^*_a | $C^*_{ab,a}$ | $h^*_{ab,a}$ |
|------|-------------|---------|---------|--------------|--------------|
| R | 51.79 | 63.09 | 29.02 | 69.44 | 25 |
| R25J | 53.73 | 56.6 | 48.42 | 74.48 | 41 |
| R50J | 65.47 | 35.67 | 59.82 | 69.65 | 59 |
| R75J | 76.51 | 15.98 | 70.55 | 72.34 | 77 |
| J | 86.93 | -2.58 | 80.67 | 80.71 | 92 |
| J25G | 84.92 | -17.23 | 75.99 | 77.92 | 103 |
| J50G | 73.11 | -32.96 | 59.0 | 67.58 | 119 |
| J75G | 60.06 | -50.34 | 40.22 | 64.44 | 141 |
| G | 56.21 | -50.44 | 14.04 | 52.36 | 164 |
| G25B | 57.95 | -43.12 | -3.96 | 43.31 | 185 |
| G50B | 60.3 | -33.22 | -28.35 | 43.68 | 220 |
| G75B | 53.27 | -12.42 | -41.26 | 43.1 | 253 |
| B | 46.07 | 1.01 | -41.12 | 41.15 | 271 |
| B25R | 34.63 | 22.38 | -40.91 | 46.64 | 299 |
| B50R | 45.15 | 55.92 | -18.57 | 58.93 | 342 |
| B75R | 51.85 | 65.84 | 12.67 | 67.04 | 411 |



ZG920-7N, 9stufige Reihen für konstanten CIELAB Buntton 25/360 = 0.069 (links) Seite 81/96

ZG920-7N, 16stufige Reihen für konstanten CIELAB Buntton 25/360 = 0.069 (rechts)

BAM-Prüfvorlage ZG92; Farbmetrik-Systeme, Seite 81/96 Eingabe: $\text{rgb} / \text{cmy0 set}(\text{rgb}/\text{cmyk})\text{color}$
D65: 9 und 16stufige Farbreihen für 16 Elementar-Bunttöne Ausgabe: $\rightarrow \text{cmy}n5^* \text{ setcmykcolor}$

Eingabe: Farbmetrisches Offset-Reflektiv-System ORS18

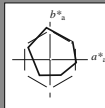
für Buntton $h^* = lab^*h = 41/360 = 0.113$

lab^*tch und lab^*nch

D65: Buntton R25J

LCH*Ma: 54 74 41

olv*Ma: 1.0 0.05 0.0



Dreiecks-Helligkeit t^*

%Umfang

$u^*_{rel} = 85$

%Regularität

$g^*_{H,rel} = 57$

$g^*_{C,rel} = 59$

ORS18; adaptierte CIELAB-Daten

| | $L^*=L^*_a$ | a^*_a | b^*_a | $C^*_{ab,a}$ | $h^*_{ab,a}$ |
|------------------|-------------|---------|---------|--------------|--------------|
| O _{Ma} | 51.74 | 60.16 | 46.48 | 76.02 | 38 |
| Y _{Ma} | 90.77 | -9.44 | 84.41 | 84.94 | 96 |
| L _{Ma} | 54.46 | -57.8 | 32.16 | 66.15 | 151 |
| C _{Ma} | 61.56 | -27.91 | -41.41 | 49.95 | 236 |
| V _{Ma} | 31.3 | 28.61 | -40.85 | 49.88 | 305 |
| M _{Ma} | 51.91 | 69.26 | -7.69 | 69.68 | 354 |
| N _{Ma} | 24.2 | 0.0 | 0.0 | 0.0 | 0 |
| W _{Ma} | 95.41 | 0.0 | 0.0 | 0.0 | 0 |
| R _{CIE} | 44.36 | 53.97 | 24.82 | 59.4 | 25 |
| J _{CIE} | 82.39 | -1.99 | 62.34 | 62.37 | 92 |
| G _{CIE} | 55.68 | -38.87 | 10.82 | 40.36 | 164 |
| B _{CIE} | 35.76 | 1.06 | -43.09 | 43.11 | 271 |

Ausgabe: Farbmetrisches Offset-Reflektiv-System ORS18

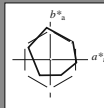
für Buntton $h^* = lab^*h = 41/360 = 0.113$

lab^*tch und lab^*nch

D65: Buntton R25J

LCH*Ma: 54 74 41

olv*Ma: 1.0 0.05 0.0



Dreiecks-Helligkeit t^*

%Umfang

$u^*_{rel} = 85$

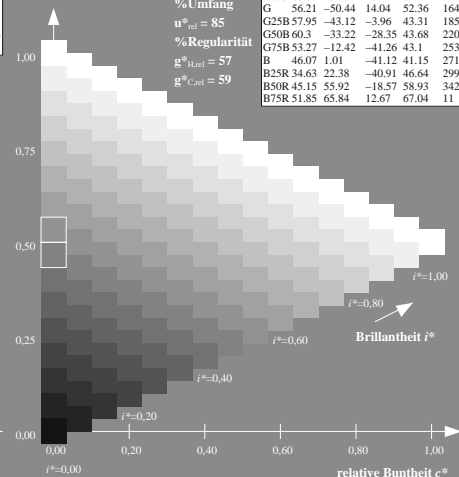
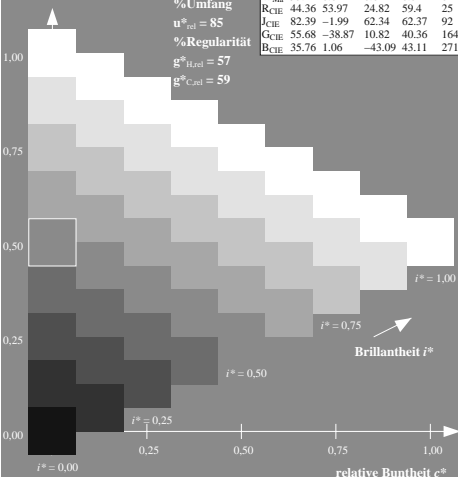
%Regularität

$g^*_{H,rel} = 57$

$g^*_{C,rel} = 59$

ORS18; adaptierte CIELAB-Daten

| | $L^*=L^*_a$ | a^*_a | b^*_a | $C^*_{ab,a}$ | $h^*_{ab,a}$ |
|------|-------------|---------|---------|--------------|--------------|
| R | 51.79 | 63.09 | 29.02 | 69.44 | 25 |
| R25J | 53.73 | 56.6 | 48.42 | 74.48 | 41 |
| R50J | 65.47 | 35.67 | 59.82 | 69.65 | 59 |
| R75J | 76.51 | 15.98 | 70.55 | 72.34 | 77 |
| J | 86.93 | -2.58 | 80.67 | 80.71 | 92 |
| J25G | 84.92 | -17.23 | 75.99 | 77.92 | 103 |
| J50G | 73.11 | -32.96 | 59.0 | 67.58 | 119 |
| J75G | 60.06 | -50.34 | 40.22 | 64.44 | 141 |
| G | 56.21 | -50.44 | 14.04 | 52.36 | 164 |
| G25B | 57.95 | -43.12 | -3.96 | 43.31 | 185 |
| G50B | 60.3 | -33.22 | -28.35 | 43.68 | 220 |
| G75B | 53.27 | -12.42 | -41.26 | 43.1 | 253 |
| B | 46.07 | 1.01 | -41.12 | 41.15 | 271 |
| B25R | 34.63 | 22.38 | -40.91 | 46.64 | 299 |
| B50R | 45.15 | 55.92 | -18.57 | 58.93 | 342 |
| B75R | 51.85 | 65.84 | 12.67 | 67.04 | 411 |



ZG920-7N, 9stufige Reihen für konstanten CIELAB Buntton 41/360 = 0.113 (links) Seite 82/96

ZG920-7N, 16stufige Reihen für konstanten CIELAB Buntton 41/360 = 0.113 (rechts)

BAM-Prüfvorlage ZG92; Farbmetrik-Systeme, Seite 82/96 Eingabe: $rgb / cmy0\ set(rgb/cmyk/color$
D65: 9 und 16stufige Farbreihen für 16 Elementar-Bunttöne Ausgabe: $\rightarrow cmy5\ set(cmyk/color$

Eingabe: Farbmetrisches Offset-Reflektiv-System ORS18

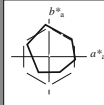
für Buntton $h^* = lab^*h = 59/360 = 0.164$

lab^*tch und lab^*nch

D65: Buntton R50J

LCH*Ma: 65 70 59

olv*Ma: 1.0 0.35 0.0



Dreiecks-Helligkeit t^*

%Umfang
 $u^*_{rel} = 85$
%Regularität
 $g^*_{H,rel} = 57$
 $g^*_{C,rel} = 59$

ORS18; adaptierte CIELAB-Daten

| | $L^*=L^*_a$ | a^*_a | b^*_a | $C^*_{ab,a}$ | $h^*_{ab,a}$ |
|------------------|-------------|---------|---------|--------------|--------------|
| O _{Ma} | 51.74 | 60.16 | 46.48 | 76.02 | 38 |
| Y _{Ma} | 90.77 | -9.44 | 84.41 | 84.94 | 96 |
| L _{Ma} | 54.46 | -57.8 | 32.16 | 66.15 | 151 |
| C _{Ma} | 61.56 | -27.91 | -41.41 | 49.95 | 236 |
| V _{Ma} | 31.3 | 28.61 | -40.85 | 49.88 | 305 |
| M _{Ma} | 51.91 | 69.26 | -7.69 | 69.68 | 354 |
| N _{Ma} | 24.2 | 0.0 | 0.0 | 0.0 | 0 |
| W _{Ma} | 95.41 | 0.0 | 0.0 | 0.0 | 0 |
| R _{CIE} | 44.36 | 53.97 | 24.82 | 59.4 | 25 |
| J _{CIE} | 82.39 | -1.99 | 62.34 | 62.37 | 92 |
| G _{CIE} | 55.68 | -38.87 | 10.82 | 40.36 | 164 |
| B _{CIE} | 35.76 | 1.06 | -43.09 | 43.11 | 271 |

Ausgabe: Farbmetrisches Offset-Reflektiv-System ORS18

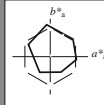
für Buntton $h^* = lab^*h = 59/360 = 0.164$

lab^*tch und lab^*nch

D65: Buntton R50J

LCH*Ma: 65 70 59

olv*Ma: 1.0 0.35 0.0

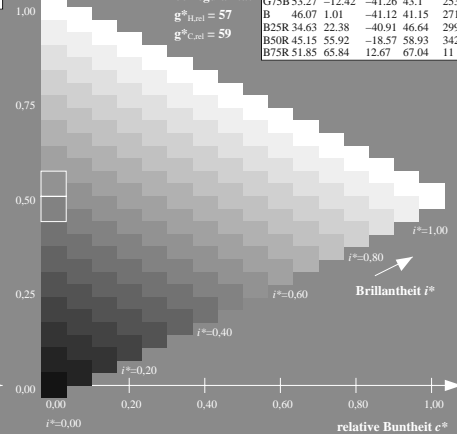
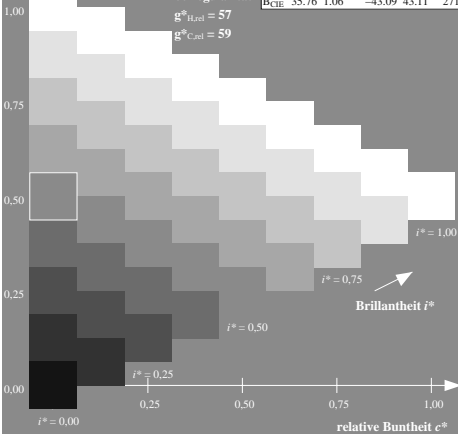


Dreiecks-Helligkeit t^*

%Umfang
 $u^*_{rel} = 85$
%Regularität
 $g^*_{H,rel} = 57$
 $g^*_{C,rel} = 59$

ORS18; adaptierte CIELAB-Daten

| | $L^*=L^*_a$ | a^*_a | b^*_a | $C^*_{ab,a}$ | $h^*_{ab,a}$ |
|------|-------------|---------|---------|--------------|--------------|
| R | 51.79 | 63.09 | 29.02 | 69.44 | 25 |
| R25J | 53.73 | 56.6 | 48.42 | 74.48 | 41 |
| R50J | 65.47 | 35.67 | 59.82 | 69.65 | 59 |
| R75J | 76.51 | 15.98 | 70.55 | 72.34 | 77 |
| J | 86.93 | -2.58 | 80.67 | 80.71 | 92 |
| J25G | 84.92 | -17.23 | 75.99 | 77.92 | 103 |
| J50G | 73.11 | -32.96 | 59.0 | 67.58 | 119 |
| J75G | 60.06 | -50.34 | 40.22 | 64.44 | 141 |
| G | 56.21 | -50.44 | 14.04 | 52.36 | 164 |
| G25B | 57.95 | -43.12 | -3.96 | 43.31 | 185 |
| G50B | 60.3 | -33.22 | -28.35 | 43.68 | 220 |
| G75B | 53.27 | -12.42 | -41.26 | 43.1 | 253 |
| B | 46.07 | 1.01 | -41.12 | 41.15 | 271 |
| B25R | 34.63 | 22.38 | -40.91 | 46.64 | 299 |
| B50R | 45.15 | 55.92 | -18.57 | 58.93 | 342 |
| B75R | 51.85 | 65.84 | 12.67 | 67.04 | 411 |



ZG920-7N, 9stufige Reihen für konstanten CIELAB Buntton 59/360 = 0.164 (links)

Seite 83/96

ZG920-7N, 16stufige Reihen für konstanten CIELAB Buntton 59/360 = 0.164 (rechts)

BAM-Prüfvorlage ZG92; Farbmetrik-Systeme, Seite 83/96 Eingabe: $rgb / cmy0$ set($rgb/cmyk$)color
D65: 9 und 16stufige Farbreihen für 16 Elementar-Bunttöne Ausgabe: $\rightarrow cmy5$ set($cmyk$)color

Eingabe: Farbmetrisches Offset-Reflektiv-System ORS18

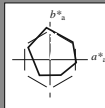
für Buntton $h^* = lab^*h = 77/360 = 0.215$

lab^*tch und lab^*nch

D65: Buntton R75J

LCH*Ma: 77 72 77

olv*Ma: 1.0 0.63 0.0



Dreiecks-Helligkeit t^*

%Umfang

$u^*_{rel} = 85$

%Regularität

$g^*_{H,rel} = 57$

$g^*_{C,rel} = 59$

ORS18; adaptierte CIELAB-Daten

| | $L^*=L^*_a$ | a^*_a | b^*_a | $C^*_{ab,a}$ | $h^*_{ab,a}$ |
|------------------|-------------|---------|---------|--------------|--------------|
| O _{Ma} | 51.74 | 60.16 | 46.48 | 76.02 | 38 |
| Y _{Ma} | 90.77 | -9.44 | 84.41 | 84.94 | 96 |
| L _{Ma} | 54.46 | -57.8 | 32.16 | 66.15 | 151 |
| C _{Ma} | 61.56 | -27.91 | -41.41 | 49.95 | 236 |
| V _{Ma} | 31.3 | 28.61 | -40.85 | 49.88 | 305 |
| M _{Ma} | 51.91 | 69.26 | -7.69 | 69.68 | 354 |
| N _{Ma} | 24.2 | 0.0 | 0.0 | 0.0 | 0 |
| W _{Ma} | 95.41 | 0.0 | 0.0 | 0.0 | 0 |
| G _{CIE} | 44.36 | 53.97 | 24.82 | 59.4 | 25 |
| J _{CIE} | 82.39 | -1.99 | 62.34 | 62.37 | 92 |
| G _{CIE} | 55.68 | -38.87 | 10.82 | 40.36 | 164 |
| B _{CIE} | 35.76 | 1.06 | -43.09 | 43.11 | 271 |

Ausgabe: Farbmetrisches Offset-Reflektiv-System ORS18

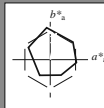
für Buntton $h^* = lab^*h = 77/360 = 0.215$

lab^*tch und lab^*nch

D65: Buntton R75J

LCH*Ma: 77 72 77

olv*Ma: 1.0 0.63 0.0



Dreiecks-Helligkeit t^*

%Umfang

$u^*_{rel} = 85$

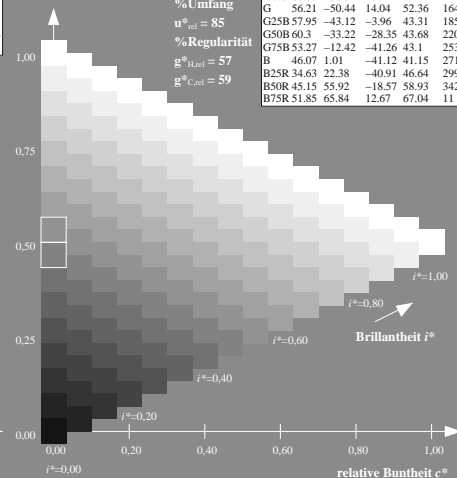
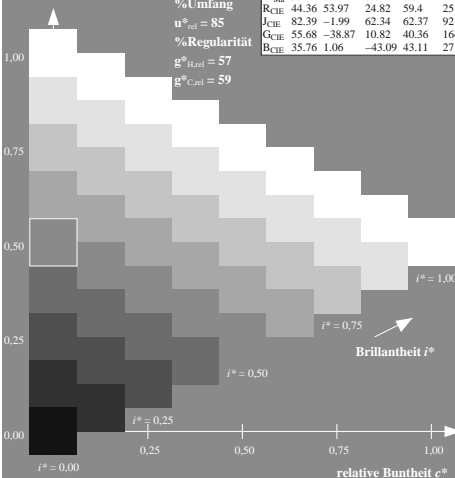
%Regularität

$g^*_{H,rel} = 57$

$g^*_{C,rel} = 59$

ORS18; adaptierte CIELAB-Daten

| | $L^*=L^*_a$ | a^*_a | b^*_a | $C^*_{ab,a}$ | $h^*_{ab,a}$ |
|------|-------------|---------|---------|--------------|--------------|
| R | 51.79 | 63.09 | 29.02 | 69.44 | 25 |
| R25J | 53.73 | 56.6 | 48.42 | 74.48 | 41 |
| R50J | 65.47 | 35.67 | 59.82 | 69.65 | 59 |
| R75J | 76.51 | 15.98 | 70.55 | 72.34 | 77 |
| J | 86.93 | -2.58 | 80.67 | 80.71 | 92 |
| J25G | 84.92 | -17.23 | 75.99 | 77.92 | 103 |
| J50G | 73.11 | -32.96 | 59.0 | 67.58 | 119 |
| J75G | 60.06 | -50.34 | 40.22 | 64.44 | 141 |
| G | 56.21 | -50.44 | 14.04 | 52.36 | 164 |
| G25B | 57.95 | -43.12 | -3.96 | 43.31 | 185 |
| G50B | 60.3 | -33.22 | -28.35 | 43.68 | 220 |
| G75B | 53.27 | -12.42 | -41.26 | 43.1 | 253 |
| B | 46.07 | 1.01 | -41.12 | 41.15 | 271 |
| B25R | 34.63 | 22.38 | -40.91 | 46.64 | 299 |
| B50R | 45.15 | 55.92 | -18.57 | 58.93 | 342 |
| B75R | 51.85 | 65.84 | 12.67 | 67.04 | 411 |



ZG920-7N, 9stufige Reihen für konstanten CIELAB Buntton 77/360 = 0.215 (links) Seite 84/96

ZG920-7N, 16stufige Reihen für konstanten CIELAB Buntton 77/360 = 0.215 (rechts)

BAM-Prüfvorlage ZG92; Farbmetrik-Systeme, Seite 84/96 Eingabe: $rgb / cmy0$ set($rgb/cmyk$)color
D65: 9 und 16stufige Farbreihen für 16 Elementar-Bunttöne Ausgabe: $\rightarrow cmy5^*$ set($cmyk$)color

Eingabe: Farbmetrisches Offset-Reflektiv-System ORS18

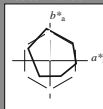
für Buntton $h^* = lab^*h = 92/360 = 0.255$

lab^*tch und lab^*nch

D65: Buntton J

LCH*Ma: 87 81 92

olv*Ma: 1.0 0.9 0.0



Dreiecks-Helligkeit i^*

%Umfang

$u^*_{rel} = 85$

%Regularität

$g^*_{H,rel} = 57$

$g^*_{C,rel} = 59$

ORS18; adaptierte CIELAB-Daten

| | $L^*=L^*_a$ | a^*_a | b^*_a | $C^*_{ab,a}$ | $h^*_{ab,a}$ |
|------------------|-------------|---------|---------|--------------|--------------|
| O _{Ma} | 51.74 | 60.16 | 46.48 | 76.02 | 38 |
| Y _{Ma} | 90.77 | -9.44 | 84.41 | 84.94 | 96 |
| L _{Ma} | 54.46 | -57.8 | 32.16 | 66.15 | 151 |
| C _{Ma} | 61.56 | -27.91 | -41.41 | 49.95 | 236 |
| V _{Ma} | 31.3 | 28.61 | -40.85 | 49.88 | 305 |
| N _{Ma} | 51.91 | 69.26 | -7.69 | 69.68 | 354 |
| M _{Ma} | 24.2 | 0.0 | 0.0 | 0.0 | 0 |
| W _{Ma} | 95.41 | 0.0 | 0.0 | 0.0 | 0 |
| R _{CIE} | 44.36 | 53.97 | 24.82 | 59.4 | 25 |
| J _{CIE} | 82.39 | -1.99 | 62.34 | 62.37 | 92 |
| G _{CIE} | 55.68 | -38.87 | 10.82 | 40.36 | 164 |
| B _{CIE} | 35.76 | 1.06 | -43.09 | 43.11 | 271 |

Ausgabe: Farbmetrisches Offset-Reflektiv-System ORS18

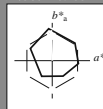
für Buntton $h^* = lab^*h = 92/360 = 0.255$

lab^*tch und lab^*nch

D65: Buntton J

LCH*Ma: 87 81 92

olv*Ma: 1.0 0.9 0.0



Dreiecks-Helligkeit i^*

%Umfang

$u^*_{rel} = 85$

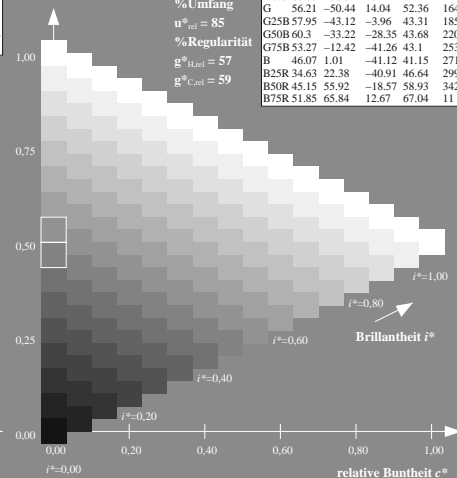
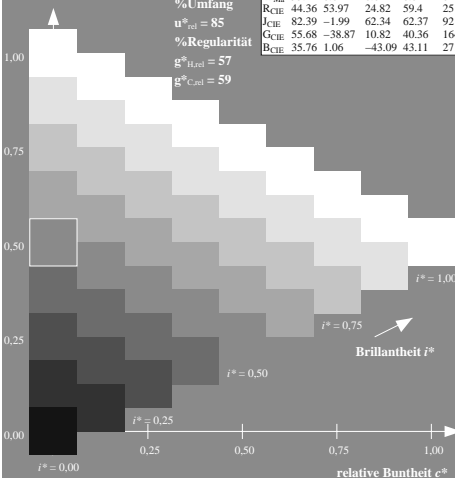
%Regularität

$g^*_{H,rel} = 57$

$g^*_{C,rel} = 59$

ORS18; adaptierte CIELAB-Daten

| | $L^*=L^*_a$ | a^*_a | b^*_a | $C^*_{ab,a}$ | $h^*_{ab,a}$ |
|------|-------------|---------|---------|--------------|--------------|
| R | 51.79 | 63.09 | 29.02 | 69.44 | 25 |
| R25J | 53.73 | 56.6 | 48.42 | 74.48 | 41 |
| R50J | 65.47 | 35.67 | 59.82 | 69.65 | 59 |
| R75J | 76.51 | 15.98 | 70.55 | 72.34 | 77 |
| J | 86.93 | -2.58 | 80.67 | 80.71 | 92 |
| J25G | 84.92 | -17.23 | 75.99 | 77.92 | 103 |
| J50G | 73.11 | -32.96 | 59.0 | 67.58 | 119 |
| J75G | 60.06 | -50.34 | 40.22 | 64.44 | 141 |
| G | 56.21 | -50.44 | 14.04 | 52.36 | 164 |
| G25B | 57.95 | -43.12 | -3.96 | 43.31 | 185 |
| G50B | 60.3 | -33.22 | -28.35 | 43.68 | 220 |
| G75B | 53.27 | -12.42 | -41.26 | 43.1 | 253 |
| B | 46.07 | 1.01 | -41.12 | 41.15 | 271 |
| B25R | 34.63 | 22.38 | -40.91 | 46.64 | 299 |
| B50R | 45.15 | 55.92 | -18.57 | 58.93 | 342 |
| B75R | 51.85 | 65.84 | 12.67 | 67.04 | 411 |



ZG920-7N, 9stufige Reihen für konstanten CIELAB Buntton 92/360 = 0.255 (links) Seite 85/96

ZG920-7N, 16stufige Reihen für konstanten CIELAB Buntton 92/360 = 0.255 (rechts)

BAM-Prüfvorlage ZG92; Farbmetrik-Systeme, Seite 85/96 Eingabe: $rgb / cmy0$ set($rgb/cmyk$)color
D65: 9 und 16stufige Farbreihen für 16 Elementar-Bunttöne Ausgabe: $\rightarrow cmy5$ set($cmyk$)color

Eingabe: Farbmetrisches Offset-Reflektiv-System ORS18

für Buntton $h^* = lab^*h = 103/360 = 0.286$

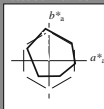
lab^*tch und lab^*nch

D65: Buntton J25G

LCH*Ma: 85 78 103

olv*Ma: 0.84 1.0 0.0

Dreiecks-Helligkeit t^*



%Umfang

$u^*_{rel} = 85$

%Regularität

$g^*_{H,rel} = 57$

$g^*_{C,rel} = 59$

ORS18; adaptierte CIELAB-Daten

| | $L^*=L^*_a$ | a^*_a | b^*_a | $C^*_{ab,a}$ | $h^*_{ab,a}$ |
|------------------|-------------|---------|---------|--------------|--------------|
| O _{Ma} | 51.74 | 60.16 | 46.48 | 76.02 | 38 |
| Y _{Ma} | 90.77 | -9.44 | 84.41 | 84.94 | 96 |
| L _{Ma} | 54.46 | -57.8 | 32.16 | 66.15 | 151 |
| C _{Ma} | 61.56 | -27.91 | -41.41 | 49.95 | 236 |
| V _{Ma} | 31.3 | 28.61 | -40.85 | 49.88 | 305 |
| M _{Ma} | 51.91 | 69.26 | -7.69 | 69.68 | 354 |
| N _{Ma} | 24.2 | 0.0 | 0.0 | 0.0 | 0 |
| W _{Ma} | 95.41 | 0.0 | 0.0 | 0.0 | 0 |
| R _{CIE} | 44.36 | 53.97 | 24.82 | 59.4 | 25 |
| J _{CIE} | 82.39 | -1.99 | 62.34 | 62.37 | 92 |
| G _{CIE} | 55.68 | -38.87 | 10.82 | 40.36 | 164 |
| B _{CIE} | 35.76 | 1.06 | -43.09 | 43.11 | 271 |

Ausgabe: Farbmetrisches Offset-Reflektiv-System ORS18

für Buntton $h^* = lab^*h = 103/360 = 0.286$

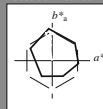
lab^*tch und lab^*nch

D65: Buntton J25G

LCH*Ma: 85 78 103

olv*Ma: 0.84 1.0 0.0

Dreiecks-Helligkeit t^*



%Umfang

$u^*_{rel} = 85$

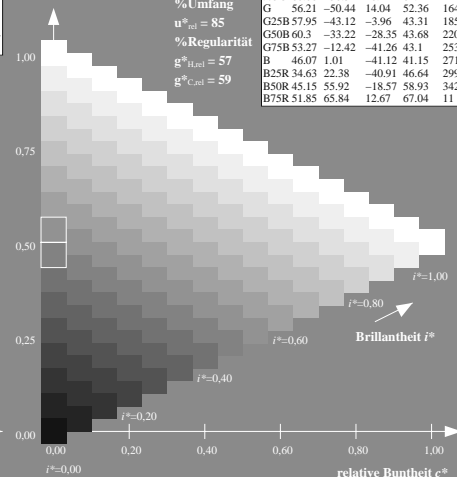
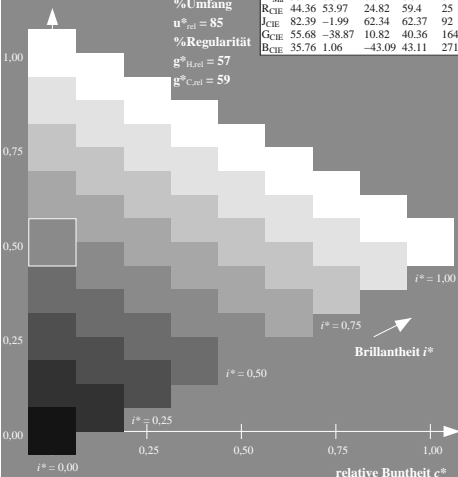
%Regularität

$g^*_{H,rel} = 57$

$g^*_{C,rel} = 59$

ORS18; adaptierte CIELAB-Daten

| | $L^*=L^*_a$ | a^*_a | b^*_a | $C^*_{ab,a}$ | $h^*_{ab,a}$ |
|------|-------------|---------|---------|--------------|--------------|
| R | 51.79 | 63.09 | 29.02 | 69.44 | 25 |
| R25J | 53.73 | 56.6 | 48.42 | 74.48 | 41 |
| R50J | 65.47 | 35.67 | 59.82 | 69.65 | 59 |
| R75J | 76.51 | 15.98 | 70.55 | 72.34 | 77 |
| J | 86.93 | -2.58 | 80.67 | 80.71 | 92 |
| J25G | 84.92 | -17.23 | 75.99 | 77.92 | 103 |
| J50G | 73.11 | -32.96 | 59.0 | 67.58 | 119 |
| J75G | 60.06 | -50.34 | 40.22 | 64.44 | 141 |
| G | 56.21 | -50.44 | 14.04 | 52.36 | 164 |
| G25B | 57.95 | -43.12 | -3.96 | 43.31 | 185 |
| G50B | 60.3 | -33.22 | -28.35 | 43.68 | 220 |
| G75B | 53.27 | -12.42 | -41.26 | 43.1 | 253 |
| B | 46.07 | 1.01 | -41.12 | 41.15 | 271 |
| B25R | 34.63 | 22.38 | -40.91 | 46.64 | 299 |
| B50R | 45.15 | 55.92 | -18.57 | 58.93 | 342 |
| B75R | 51.85 | 65.84 | 12.67 | 67.04 | 411 |



ZG920-7N, 9stufige Reihen für konstanten CIELAB Buntton 103/360 = 0.286 (links) Seite 86/96

ZG920-7N, 16stufige Reihen für konstanten CIELAB Buntton 103/360 = 0.286 (rechts) n

BAM-Prüfvorlage ZG92; Farbmetrik-Systeme, Seite 86/96 Eingabe: $rgb / cmy0$ set($rgb/cmyk$)color
D65: 9 und 16stufige Farbreihen für 16 Elementar-Bunttöne Ausgabe: $\rightarrow cmy5$ set($cmyk$)color

Eingabe: Farbmetrisches Offset-Reflektiv-System ORS18

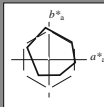
für Buntton $h^* = lab^*h = 119/360 = 0.331$

lab^*tch und lab^*nch

D65: Buntton J50G

LCH*Ma: 73 68 119

olv*Ma: 0.51 1.0 0.0



Dreiecks-Helligkeit i^*

%Umfang

$u^*_{rel} = 85$

%Regularität

$g^*_{H,rel} = 57$

$g^*_{C,rel} = 59$

ORS18; adaptierte CIELAB-Daten

| | $L^*=L^*_a$ | a^*_a | b^*_a | $C^*_{ab,a}$ | $h^*_{ab,a}$ |
|------------------|-------------|---------|---------|--------------|--------------|
| O _{Ma} | 51.74 | 60.16 | 46.48 | 76.02 | 38 |
| Y _{Ma} | 90.77 | -9.44 | 84.41 | 84.94 | 96 |
| L _{Ma} | 54.46 | -57.8 | 32.16 | 66.15 | 151 |
| C _{Ma} | 61.56 | -27.91 | -41.41 | 49.95 | 236 |
| V _{Ma} | 31.3 | 28.61 | -40.85 | 49.88 | 305 |
| M _{Ma} | 51.91 | 69.26 | -7.69 | 69.68 | 354 |
| N _{Ma} | 24.2 | 0.0 | 0.0 | 0.0 | 0 |
| W _{Ma} | 95.41 | 0.0 | 0.0 | 0.0 | 0 |
| R _{CIE} | 44.36 | 53.97 | 24.82 | 59.4 | 25 |
| J _{CIE} | 82.39 | -1.99 | 62.34 | 62.37 | 92 |
| G _{CIE} | 55.68 | -38.87 | 10.82 | 40.36 | 164 |
| B _{CIE} | 35.76 | 1.06 | -43.09 | 43.11 | 271 |

Ausgabe: Farbmetrisches Offset-Reflektiv-System ORS18

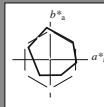
für Buntton $h^* = lab^*h = 119/360 = 0.331$

lab^*tch und lab^*nch

D65: Buntton J50G

LCH*Ma: 73 68 119

olv*Ma: 0.51 1.0 0.0



Dreiecks-Helligkeit i^*

%Umfang

$u^*_{rel} = 85$

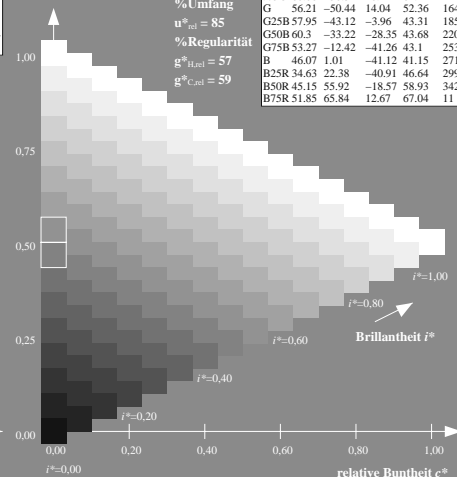
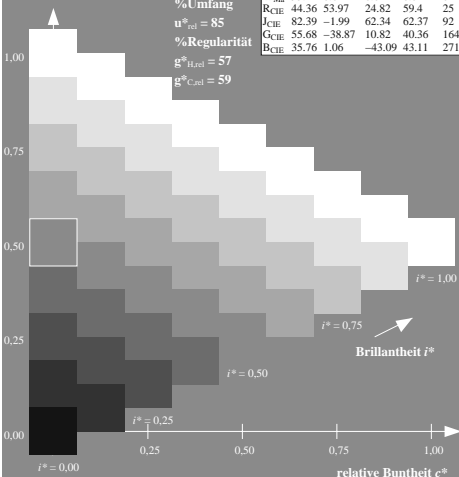
%Regularität

$g^*_{H,rel} = 57$

$g^*_{C,rel} = 59$

ORS18; adaptierte CIELAB-Daten

| | $L^*=L^*_a$ | a^*_a | b^*_a | $C^*_{ab,a}$ | $h^*_{ab,a}$ |
|------|-------------|---------|---------|--------------|--------------|
| R | 51.79 | 63.09 | 29.02 | 69.44 | 25 |
| R25J | 53.73 | 56.6 | 48.42 | 74.48 | 41 |
| R50J | 65.47 | 35.67 | 59.82 | 69.65 | 59 |
| R75J | 76.51 | 15.98 | 70.55 | 72.34 | 77 |
| J | 86.93 | -2.58 | 80.67 | 80.71 | 92 |
| J25G | 84.92 | -17.23 | 75.99 | 77.92 | 103 |
| J50G | 73.11 | -32.96 | 59.0 | 67.58 | 119 |
| J75G | 60.06 | -50.34 | 40.22 | 64.44 | 141 |
| G | 56.21 | -50.44 | 14.04 | 52.36 | 164 |
| G25B | 57.95 | -43.12 | -3.96 | 43.31 | 185 |
| G50B | 60.3 | -33.22 | -28.35 | 43.68 | 220 |
| G75B | 53.27 | -12.42 | -41.26 | 43.1 | 253 |
| B | 46.07 | 1.01 | -41.12 | 41.15 | 271 |
| B25R | 34.63 | 22.38 | -40.91 | 46.64 | 299 |
| B50R | 45.15 | 55.92 | -18.57 | 58.93 | 342 |
| B75R | 51.85 | 65.84 | 12.67 | 67.04 | 411 |



ZG920-7N, 9stufige Reihen für konstanten CIELAB Buntton 119/360 = 0.331 (links) Seite 87/96

ZG920-7N, 16stufige Reihen für konstanten CIELAB Buntton 119/360 = 0.331 (rechts) n

BAM-Prüfvorlage ZG92; Farbmetrik-Systeme, Seite 87/96 Eingabe: $rgb / cmy0$ set($rgb/cmyk$)color
D65: 9 und 16stufige Farbreihen für 16 Elementar-Bunttöne Ausgabe: $\rightarrow cmy5$ set($cmyk$)color

Eingabe: Farbmetrisches Offset-Reflektiv-System ORS18

für Buntton $h^* = lab^*h = 141/360 = 0.393$

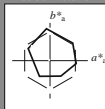
lab^*tch und lab^*nch

D65: Buntton J75G

LCH*Ma: 60 64 141

olv*Ma: 0.15 1.0 0.0

Dreiecks-Helligkeit t^*



%Umfang

$u^*_{rel} = 85$

%Regularität

$g^*_{H,rel} = 57$

$g^*_{C,rel} = 59$

ORS18; adaptierte CIELAB-Daten

| | $L^*=L^*_a$ | a^*_a | b^*_a | $C^*_{ab,a}$ | $h^*_{ab,a}$ |
|------------------|-------------|---------|---------|--------------|--------------|
| O _{Ma} | 51.74 | 60.16 | 46.48 | 76.02 | 38 |
| Y _{Ma} | 90.77 | -9.44 | 84.41 | 84.94 | 96 |
| L _{Ma} | 54.46 | -57.8 | 32.16 | 66.15 | 151 |
| C _{Ma} | 61.56 | -27.91 | -41.41 | 49.95 | 236 |
| V _{Ma} | 31.3 | 28.61 | -40.85 | 49.88 | 305 |
| M _{Ma} | 51.91 | 69.26 | -7.69 | 69.68 | 354 |
| N _{Ma} | 24.2 | 0.0 | 0.0 | 0.0 | 0 |
| W _{Ma} | 95.41 | 0.0 | 0.0 | 0.0 | 0 |
| R _{CIE} | 44.36 | 53.97 | 24.82 | 59.4 | 25 |
| J _{CIE} | 82.39 | -1.99 | 62.34 | 62.37 | 92 |
| G _{CIE} | 55.68 | -38.87 | 10.82 | 40.36 | 164 |
| B _{CIE} | 35.76 | 1.06 | -43.09 | 43.11 | 271 |

Ausgabe: Farbmetrisches Offset-Reflektiv-System ORS18

für Buntton $h^* = lab^*h = 141/360 = 0.393$

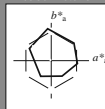
lab^*tch und lab^*nch

D65: Buntton J75G

LCH*Ma: 60 64 141

olv*Ma: 0.15 1.0 0.0

Dreiecks-Helligkeit t^*



%Umfang

$u^*_{rel} = 85$

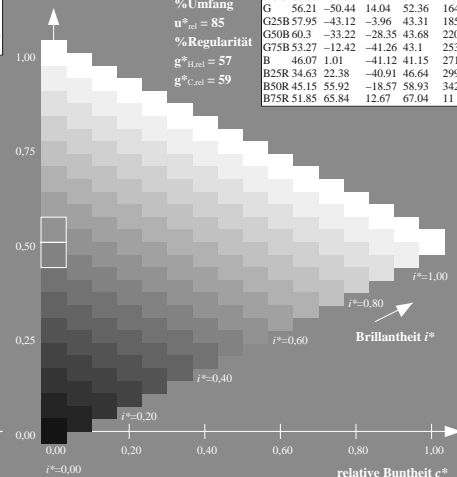
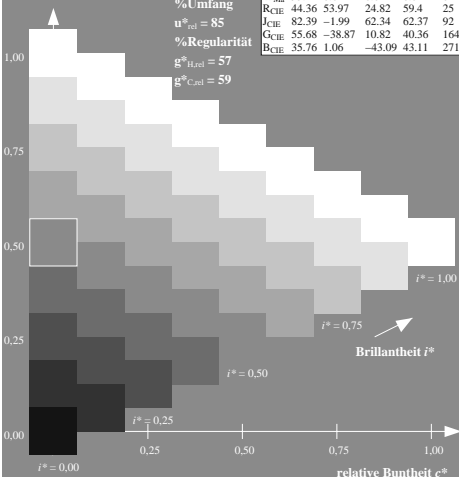
%Regularität

$g^*_{H,rel} = 57$

$g^*_{C,rel} = 59$

ORS18; adaptierte CIELAB-Daten

| | $L^*=L^*_a$ | a^*_a | b^*_a | $C^*_{ab,a}$ | $h^*_{ab,a}$ |
|------|-------------|---------|---------|--------------|--------------|
| R | 51.79 | 63.09 | 29.02 | 69.44 | 25 |
| R25J | 53.73 | 56.6 | 48.42 | 74.48 | 41 |
| R50J | 65.47 | 35.67 | 59.82 | 69.65 | 59 |
| R75J | 76.51 | 15.98 | 70.55 | 72.34 | 77 |
| J | 86.93 | -2.58 | 80.67 | 80.71 | 92 |
| J25G | 84.92 | -17.23 | 75.99 | 77.92 | 103 |
| J50G | 73.11 | -32.96 | 59.0 | 67.58 | 119 |
| J75G | 60.06 | -50.34 | 40.22 | 64.44 | 141 |
| G | 56.21 | -50.44 | 14.04 | 52.36 | 164 |
| G25B | 57.95 | -43.12 | -3.96 | 43.31 | 185 |
| G50B | 60.3 | -33.22 | -28.35 | 43.68 | 220 |
| G75B | 53.27 | -12.42 | -41.26 | 43.1 | 253 |
| B | 46.07 | 1.01 | -41.12 | 41.15 | 271 |
| B25R | 34.63 | 22.38 | -40.91 | 46.64 | 299 |
| B50R | 45.15 | 55.92 | -18.57 | 58.93 | 342 |
| B75R | 51.85 | 65.84 | 12.67 | 67.04 | 411 |



ZG920-7N, 9stufige Reihen für konstanten CIELAB Buntton 141/360 = 0.393 (links) Seite 88/96

ZG920-7N, 16stufige Reihen für konstanten CIELAB Buntton 141/360 = 0.393 (rechts) n

BAM-Prüfvorlage ZG92; Farbmetrik-Systeme, Seite 88/96 Eingabe: $rgb / cmy0$ set($rgb/cmyk$)color
D65: 9 und 16stufige Farbreihen für 16 Elementar-Bunttöne Ausgabe: $\rightarrow cmy5$ set($cmyk$)color

Eingabe: Farbmetrisches Offset-Reflektiv-System ORS18

für Buntton $h^* = lab^*h = 164/360 = 0.457$

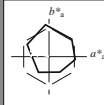
lab^*tch und lab^*nch

D65: Buntton G

LCH*Ma: 56 52 164

olv*Ma: 0.0 1.0 0.25

Dreiecks-Helligkeit t^*



%Umfang

$u^*_{rel} = 85$

%Regularität

$g^*_{H,rel} = 57$

$g^*_{C,rel} = 59$

ORS18; adaptierte CIELAB-Daten

| | $L^*=L^*_a$ | a^*_a | b^*_a | $C^*_{ab,a}$ | $h^*_{ab,a}$ |
|------------------|-------------|---------|---------|--------------|--------------|
| O _{Ma} | 51.74 | 60.16 | 46.48 | 76.02 | 38 |
| Y _{Ma} | 90.77 | -9.44 | 84.41 | 84.94 | 96 |
| L _{Ma} | 54.46 | -57.8 | 32.16 | 66.15 | 151 |
| C _{Ma} | 61.56 | -27.91 | -41.41 | 49.95 | 236 |
| V _{Ma} | 31.3 | 28.61 | -40.85 | 49.88 | 305 |
| M _{Ma} | 51.91 | 69.26 | -7.69 | 69.68 | 354 |
| N _{Ma} | 24.2 | 0.0 | 0.0 | 0.0 | 0 |
| W _{Ma} | 95.41 | 0.0 | 0.0 | 0.0 | 0 |
| R _{CIE} | 44.36 | 53.97 | 24.82 | 59.4 | 25 |
| J _{CIE} | 82.39 | -1.99 | 62.34 | 62.37 | 92 |
| G _{CIE} | 55.68 | -38.87 | 10.82 | 40.36 | 164 |
| B _{CIE} | 35.76 | 1.06 | -43.09 | 43.11 | 271 |

Ausgabe: Farbmetrisches Offset-Reflektiv-System ORS18

für Buntton $h^* = lab^*h = 164/360 = 0.457$

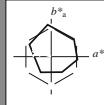
lab^*tch und lab^*nch

D65: Buntton G

LCH*Ma: 56 52 164

olv*Ma: 0.0 1.0 0.25

Dreiecks-Helligkeit t^*



%Umfang

$u^*_{rel} = 85$

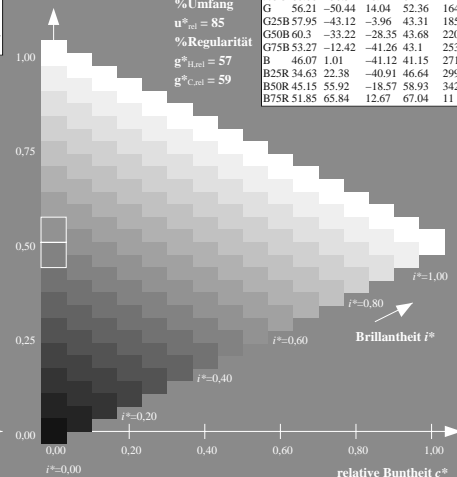
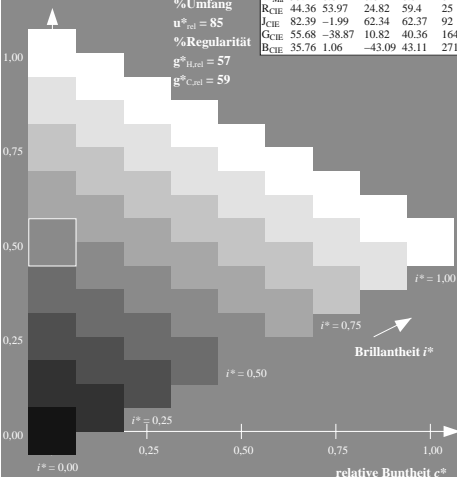
%Regularität

$g^*_{H,rel} = 57$

$g^*_{C,rel} = 59$

ORS18; adaptierte CIELAB-Daten

| | $L^*=L^*_a$ | a^*_a | b^*_a | $C^*_{ab,a}$ | $h^*_{ab,a}$ |
|------|-------------|---------|---------|--------------|--------------|
| R | 51.79 | 63.09 | 29.02 | 69.44 | 25 |
| R25J | 53.73 | 56.6 | 48.42 | 74.48 | 41 |
| R50J | 65.47 | 35.67 | 59.82 | 69.65 | 59 |
| R75J | 76.51 | 15.98 | 70.55 | 72.34 | 77 |
| J | 86.93 | -2.58 | 80.67 | 80.71 | 92 |
| J25G | 84.92 | -17.23 | 75.99 | 77.92 | 103 |
| J50G | 73.11 | -32.96 | 59.0 | 67.58 | 119 |
| J75G | 60.06 | -50.34 | 40.22 | 64.44 | 141 |
| G | 56.21 | -50.44 | 14.04 | 52.36 | 164 |
| G25B | 57.95 | -43.12 | -3.96 | 43.31 | 185 |
| G50B | 60.3 | -33.22 | -28.35 | 43.68 | 220 |
| G75B | 53.27 | -12.42 | -41.26 | 43.1 | 253 |
| B | 46.07 | 1.01 | -41.12 | 41.15 | 271 |
| B25R | 34.63 | 22.38 | -40.91 | 46.64 | 299 |
| B50R | 45.15 | 55.92 | -18.57 | 58.93 | 342 |
| B75R | 51.85 | 65.84 | 12.67 | 67.04 | 411 |



ZG920-7N, 9stufige Reihen für konstanten CIELAB Buntton 164/360 = 0.457 (links) Seite 89/96

ZG920-7N, 16stufige Reihen für konstanten CIELAB Buntton 164/360 = 0.457 (rechts)

BAM-Prüfvorlage ZG92; Farbmetrik-Systeme, Seite 89/96 Eingabe: $rgb / cmy0$ set($rgb/cmyk$)color
D65: 9 und 16stufige Farbreihen für 16 Elementar-Bunttöne Ausgabe: $\rightarrow cmy5^* setcmykcolor$

Eingabe: Farbmetrisches Offset-Reflektiv-System ORS18

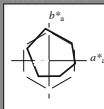
für Buntton $h^* = \text{lab}^*h = 185/360 = 0.515$

lab^*tch und lab^*nch

D65: Buntton G25B

LCH*Ma: 58 43 185

olv*Ma: 0.0 1.0 0.49



Dreiecks-Helligkeit t^*

%Umfang

$u^*_{rel} = 85$

%Regularität

$g^*_{H,rel} = 57$

$g^*_{C,rel} = 59$

ORS18; adaptierte CIELAB-Daten

| | $L^*=L^*_a$ | a^*_a | b^*_a | $C^*_{ab,a}$ | $h^*_{ab,a}$ |
|------------------|-------------|---------|---------|--------------|--------------|
| O _{Ma} | 51.74 | 60.16 | 46.48 | 76.02 | 38 |
| Y _{Ma} | 90.77 | -9.44 | 84.41 | 84.94 | 96 |
| L _{Ma} | 54.46 | -57.8 | 32.16 | 66.15 | 151 |
| C _{Ma} | 61.56 | -27.91 | -41.41 | 49.95 | 236 |
| V _{Ma} | 31.3 | 28.61 | -40.85 | 49.88 | 305 |
| M _{Ma} | 51.91 | 69.26 | -7.69 | 69.68 | 354 |
| N _{Ma} | 24.2 | 0.0 | 0.0 | 0.0 | 0 |
| W _{Ma} | 95.41 | 0.0 | 0.0 | 0.0 | 0 |
| R _{CIE} | 44.36 | 53.97 | 24.82 | 59.4 | 25 |
| J _{CIE} | 82.39 | -1.99 | 62.34 | 62.37 | 92 |
| G _{CIE} | 55.68 | -38.87 | 10.82 | 40.36 | 164 |
| B _{CIE} | 35.76 | 1.06 | -43.09 | 43.11 | 271 |

Ausgabe: Farbmetrisches Offset-Reflektiv-System ORS18

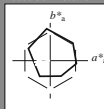
für Buntton $h^* = \text{lab}^*h = 185/360 = 0.515$

lab^*tch und lab^*nch

D65: Buntton G25B

LCH*Ma: 58 43 185

olv*Ma: 0.0 1.0 0.49



Dreiecks-Helligkeit t^*

%Umfang

$u^*_{rel} = 85$

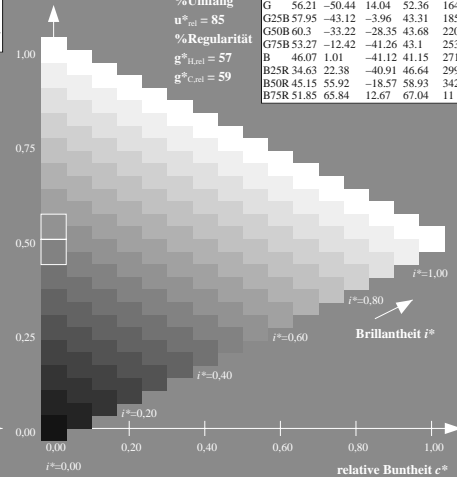
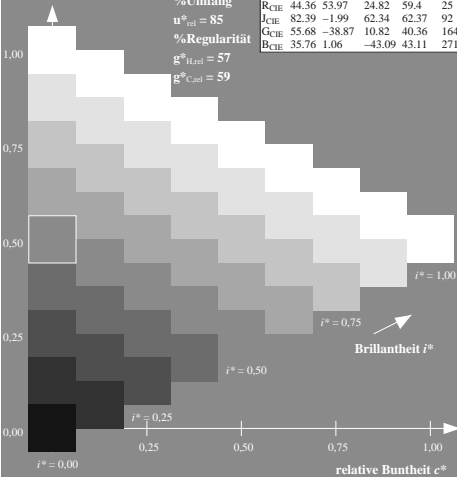
%Regularität

$g^*_{H,rel} = 57$

$g^*_{C,rel} = 59$

ORS18; adaptierte CIELAB-Daten

| | $L^*=L^*_a$ | a^*_a | b^*_a | $C^*_{ab,a}$ | $h^*_{ab,a}$ |
|------|-------------|---------|---------|--------------|--------------|
| R | 51.79 | 63.09 | 29.02 | 69.44 | 25 |
| R25J | 53.73 | 56.6 | 48.42 | 74.48 | 41 |
| R50J | 65.47 | 35.67 | 59.82 | 69.65 | 59 |
| R75J | 76.51 | 15.98 | 70.55 | 72.34 | 77 |
| J | 86.93 | -2.58 | 80.67 | 80.71 | 92 |
| J25G | 84.92 | -17.23 | 75.99 | 77.92 | 103 |
| J50G | 73.11 | -32.96 | 59.0 | 67.58 | 119 |
| J75G | 60.06 | -50.34 | 40.22 | 64.44 | 141 |
| G | 56.21 | -50.44 | 14.04 | 52.36 | 164 |
| G25B | 57.95 | -43.12 | -3.96 | 43.31 | 185 |
| G50B | 60.3 | -33.22 | -28.35 | 43.68 | 220 |
| G75B | 53.27 | -12.42 | -41.26 | 43.1 | 253 |
| B | 46.07 | 1.01 | -41.12 | 41.15 | 271 |
| B25R | 34.63 | 22.38 | -40.91 | 46.64 | 299 |
| B50R | 45.15 | 55.92 | -18.57 | 58.93 | 342 |
| B75R | 51.85 | 65.84 | 12.67 | 67.04 | 411 |



ZG920-7N, 9stufige Reihen für konstanten CIELAB Buntton 185/360 = 0.515 (links) Seite 90/96

ZG920-7N, 16stufige Reihen für konstanten CIELAB Buntton 185/360 = 0.515 (rechts) n

BAM-Prüfvorlage ZG92; Farbmetrik-Systeme, Seite 90/96 Eingabe: $rgb / cmy0 \text{ set}(rgb/cmyk)color$
D65: 9 und 16stufige Farbreihen für 16 Elementar-Bunttöne Ausgabe: $\rightarrow cmy5 \text{ set}(cmyk)color$

Eingabe: Farbmetrisches Offset-Reflektiv-System ORS18

für Buntton $h^* = \text{lab}^*h = 220/360 = 0.612$

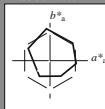
lab^*tch und lab^*nch

D65: Buntton G50B

LCH*Ma: 60 44 220

olv*Ma: 0.0 1.0 0.82

Dreiecks-Helligkeit t^*



%Umfang

$u^*_{rel} = 85$

%Regularität

$g^*_{H,rel} = 57$

$g^*_{C,rel} = 59$

ORS18; adaptierte CIELAB-Daten

| | $L^*=L^*_a$ | a^*_a | b^*_a | $C^*_{ab,a}$ | $h^*_{ab,a}$ |
|------------------|-------------|---------|---------|--------------|--------------|
| O _{Ma} | 51.74 | 60.16 | 46.48 | 76.02 | 38 |
| Y _{Ma} | 90.77 | -9.44 | 84.41 | 84.94 | 96 |
| L _{Ma} | 54.46 | -57.8 | 32.16 | 66.15 | 151 |
| C _{Ma} | 61.56 | -27.91 | -41.41 | 49.95 | 236 |
| V _{Ma} | 31.3 | 28.61 | -40.85 | 49.88 | 305 |
| M _{Ma} | 51.91 | 69.26 | -7.69 | 69.68 | 354 |
| N _{Ma} | 24.2 | 0.0 | 0.0 | 0.0 | 0 |
| W _{Ma} | 95.41 | 0.0 | 0.0 | 0.0 | 0 |
| R _{CIE} | 44.36 | 53.97 | 24.82 | 59.4 | 25 |
| J _{CIE} | 82.39 | -1.99 | 62.34 | 62.37 | 92 |
| G _{CIE} | 55.68 | -38.87 | 10.82 | 40.36 | 164 |
| B _{CIE} | 35.76 | 1.06 | -43.09 | 43.11 | 271 |

Ausgabe: Farbmetrisches Offset-Reflektiv-System ORS18

für Buntton $h^* = \text{lab}^*h = 220/360 = 0.612$

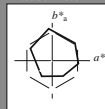
lab^*tch und lab^*nch

D65: Buntton G50B

LCH*Ma: 60 44 220

olv*Ma: 0.0 1.0 0.82

Dreiecks-Helligkeit t^*



%Umfang

$u^*_{rel} = 85$

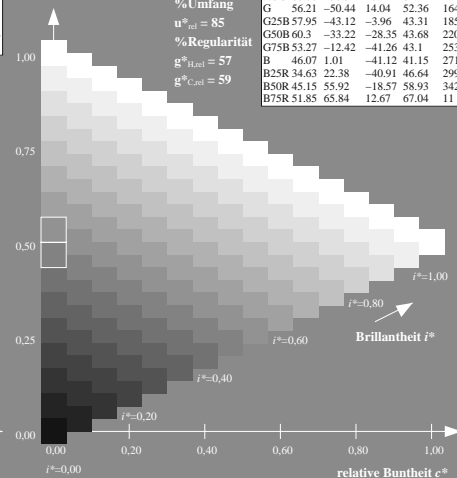
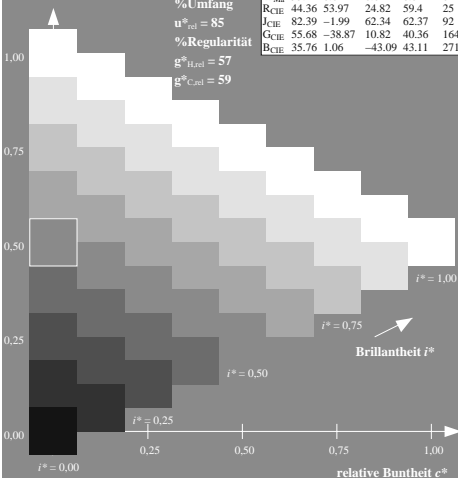
%Regularität

$g^*_{H,rel} = 57$

$g^*_{C,rel} = 59$

ORS18; adaptierte CIELAB-Daten

| | $L^*=L^*_a$ | a^*_a | b^*_a | $C^*_{ab,a}$ | $h^*_{ab,a}$ |
|------|-------------|---------|---------|--------------|--------------|
| R | 51.79 | 63.09 | 29.02 | 69.44 | 25 |
| R25J | 53.73 | 56.6 | 48.42 | 74.48 | 41 |
| R50J | 65.47 | 35.67 | 59.82 | 69.65 | 59 |
| R75J | 76.51 | 15.98 | 70.55 | 72.34 | 77 |
| J | 86.93 | -2.58 | 80.67 | 80.71 | 92 |
| J25G | 84.92 | -17.23 | 75.99 | 77.92 | 103 |
| J50G | 73.11 | -32.96 | 59.0 | 67.58 | 119 |
| J75G | 60.06 | -50.34 | 40.22 | 64.44 | 141 |
| G | 56.21 | -50.44 | 14.04 | 52.36 | 164 |
| G25B | 57.95 | -43.12 | -3.96 | 43.31 | 185 |
| G50B | 60.3 | -33.22 | -28.35 | 43.68 | 220 |
| G75B | 53.27 | -12.42 | -41.26 | 43.1 | 253 |
| B | 46.07 | 1.01 | -41.12 | 41.15 | 271 |
| B25R | 34.63 | 22.38 | -40.91 | 46.64 | 299 |
| B50R | 45.15 | 55.92 | -18.57 | 58.93 | 342 |
| B75R | 51.85 | 65.84 | 12.67 | 67.04 | 411 |



ZG920-7N, 9stufige Reihen für konstanten CIELAB Buntton 220/360 = 0.612 (links) Seite 91/96

ZG920-7N, 16stufige Reihen für konstanten CIELAB Buntton 220/360 = 0.612 (rechts)

BAM-Prüfvorlage ZG92; Farbmetrik-Systeme, Seite 91/96 Eingabe: $\text{rgb} / \text{cmy0 set}(\text{rgb}/\text{cmyk})\text{color}$
D65: 9 und 16stufige Farbzeilen für 16 Elementar-Bunttöne Ausgabe: $\rightarrow \text{cmy}n5^* \text{ setcmykcolor}$

Eingabe: Farbmetrisches Offset-Reflektiv-System ORS18

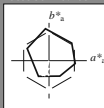
für Buntton $h^* = lab^*h = 253/360 = 0.703$

lab^*tch und lab^*nch

D65: Buntton G75B

LCH*Ma: 53 43 253

olv*Ma: 0.0 0.73 1.0



Dreiecks-Helligkeit t^*

%Umfang

$u^*_{rel} = 85$

%Regularität

$g^*_{H,rel} = 57$

$g^*_{C,rel} = 59$

ORS18; adaptierte CIELAB-Daten

| | $L^*=L^*_a$ | a^*_a | b^*_a | $C^*_{ab,a}$ | $h^*_{ab,a}$ |
|------------------|-------------|---------|---------|--------------|--------------|
| O _{Ma} | 51.74 | 60.16 | 46.48 | 76.02 | 38 |
| Y _{Ma} | 90.77 | -9.44 | 84.41 | 84.94 | 96 |
| L _{Ma} | 54.46 | -57.8 | 32.16 | 66.15 | 151 |
| C _{Ma} | 61.56 | -27.91 | -41.41 | 49.95 | 236 |
| V _{Ma} | 31.3 | 28.61 | -40.85 | 49.88 | 305 |
| M _{Ma} | 51.91 | 69.26 | -7.69 | 69.68 | 354 |
| N _{Ma} | 24.2 | 0.0 | 0.0 | 0.0 | 0 |
| W _{Ma} | 95.41 | 0.0 | 0.0 | 0.0 | 0 |
| R _{CIE} | 44.36 | 53.97 | 24.82 | 59.4 | 25 |
| J _{CIE} | 82.39 | -1.99 | 62.34 | 62.37 | 92 |
| G _{CIE} | 55.68 | -38.87 | 10.82 | 40.36 | 164 |
| B _{CIE} | 35.76 | 1.06 | -43.09 | 43.11 | 271 |

Ausgabe: Farbmetrisches Offset-Reflektiv-System ORS18

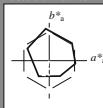
für Buntton $h^* = lab^*h = 253/360 = 0.703$

lab^*tch und lab^*nch

D65: Buntton G75B

LCH*Ma: 53 43 253

olv*Ma: 0.0 0.73 1.0



Dreiecks-Helligkeit t^*

%Umfang

$u^*_{rel} = 85$

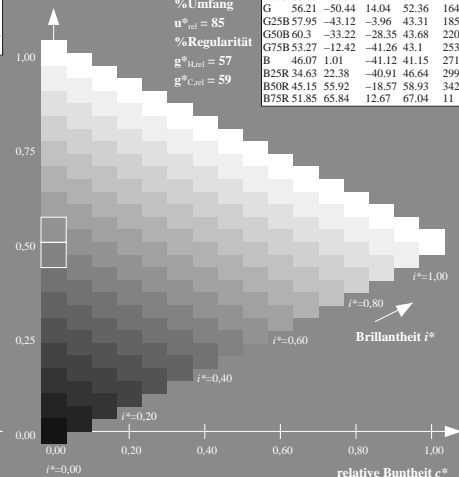
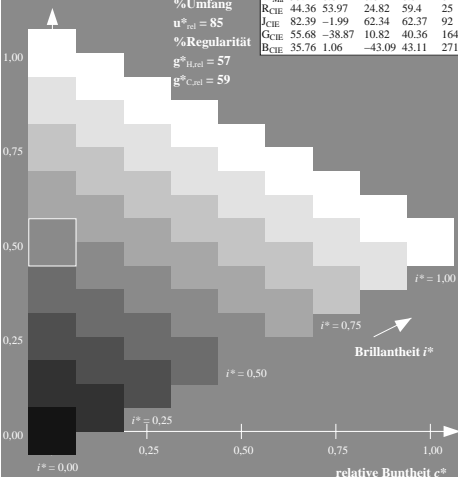
%Regularität

$g^*_{H,rel} = 57$

$g^*_{C,rel} = 59$

ORS18; adaptierte CIELAB-Daten

| | $L^*=L^*_a$ | a^*_a | b^*_a | $C^*_{ab,a}$ | $h^*_{ab,a}$ |
|------|-------------|---------|---------|--------------|--------------|
| R | 51.79 | 63.09 | 29.02 | 69.44 | 25 |
| R25J | 53.73 | 56.6 | 48.42 | 74.48 | 41 |
| R50J | 65.47 | 35.67 | 59.82 | 69.65 | 59 |
| R75J | 76.51 | 15.98 | 70.55 | 72.34 | 77 |
| J | 86.93 | -2.58 | 80.67 | 80.71 | 92 |
| J25G | 84.92 | -17.23 | 75.99 | 77.92 | 103 |
| J50G | 73.11 | -32.96 | 59.0 | 67.58 | 119 |
| J75G | 60.06 | -50.34 | 40.22 | 64.44 | 141 |
| G | 56.21 | -50.44 | 14.04 | 52.36 | 164 |
| G25B | 57.95 | -43.12 | -3.96 | 43.31 | 185 |
| G50B | 60.3 | -33.22 | -28.35 | 43.68 | 220 |
| G75B | 53.27 | -12.42 | -41.26 | 43.1 | 253 |
| B | 46.07 | 1.01 | -41.12 | 41.15 | 271 |
| B25R | 34.63 | 22.38 | -40.91 | 46.64 | 299 |
| B50R | 45.15 | 55.92 | -18.57 | 58.93 | 342 |
| B75R | 51.85 | 65.84 | 12.67 | 67.04 | 411 |



ZG920-7N, 9stufige Reihen für konstanten CIELAB Buntton 253/360 = 0.703 (links) Seite 92/96

ZG920-7N, 16stufige Reihen für konstanten CIELAB Buntton 253/360 = 0.703 (rechts)

BAM-Prüfvorlage ZG92; Farbmetrik-Systeme, Seite 92/96 Eingabe: $rgb / cmy0$ set($rgb/cmyk$)color
D65: 9 und 16stufige Farbreihen für 16 Elementar-Bunttöne Ausgabe: $\rightarrow cmy5$ set($cmyk$)color

Eingabe: Farbmetrisches Offset-Reflektiv-System ORS18

für Buntton $h^* = \text{lab}^*h = 271/360 = 0.754$

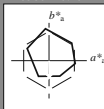
lab^*tch und lab^*nch

D65: Buntton B

LCH*Ma: 46 41 271

olv*Ma: 0.0 0.49 1.0

Dreiecks-Helligkeit t^*



%Umfang

$u^*_{rel} = 85$

%Regularität

$g^*_{H,rel} = 57$

$g^*_{C,rel} = 59$

ORS18; adaptierte CIELAB-Daten

| | $L^*=L^*_a$ | a^*_a | b^*_a | $C^*_{ab,a}$ | $h^*_{ab,a}$ |
|------------------|-------------|---------|---------|--------------|--------------|
| O _{Ma} | 51.74 | 60.16 | 46.48 | 76.02 | 38 |
| Y _{Ma} | 90.77 | -9.44 | 84.41 | 84.94 | 96 |
| L _{Ma} | 54.46 | -57.8 | 32.16 | 66.15 | 151 |
| C _{Ma} | 61.56 | -27.91 | -41.41 | 49.95 | 236 |
| V _{Ma} | 31.3 | 28.61 | -40.85 | 49.88 | 305 |
| M _{Ma} | 51.91 | 69.26 | -7.69 | 69.68 | 354 |
| N _{Ma} | 24.2 | 0.0 | 0.0 | 0.0 | 0 |
| W _{Ma} | 95.41 | 0.0 | 0.0 | 0.0 | 0 |
| R _{CIE} | 44.36 | 53.97 | 24.82 | 59.4 | 25 |
| J _{CIE} | 82.39 | -1.99 | 62.34 | 62.37 | 92 |
| G _{CIE} | 55.68 | -38.87 | 10.82 | 40.36 | 164 |
| B _{CIE} | 35.76 | 1.06 | -43.09 | 43.11 | 271 |

Ausgabe: Farbmetrisches Offset-Reflektiv-System ORS18

für Buntton $h^* = \text{lab}^*h = 271/360 = 0.754$

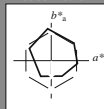
lab^*tch und lab^*nch

D65: Buntton B

LCH*Ma: 46 41 271

olv*Ma: 0.0 0.49 1.0

Dreiecks-Helligkeit t^*



%Umfang

$u^*_{rel} = 85$

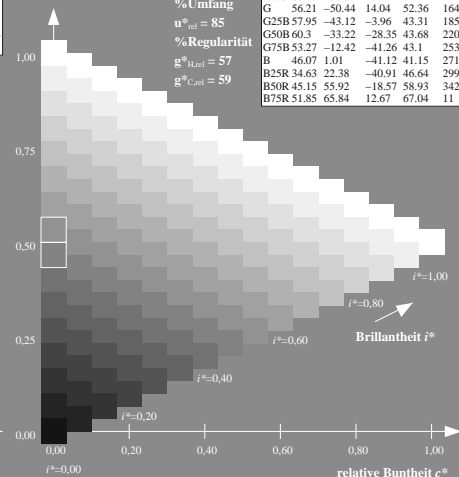
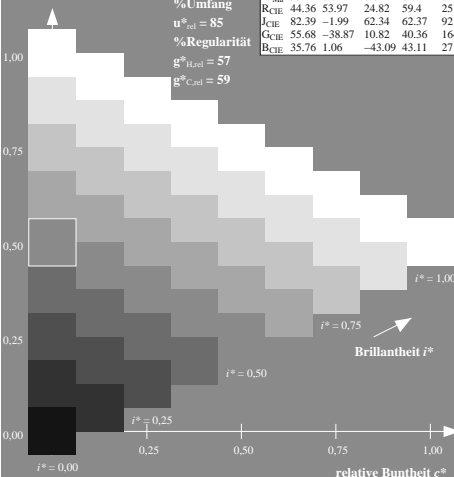
%Regularität

$g^*_{H,rel} = 57$

$g^*_{C,rel} = 59$

ORS18; adaptierte CIELAB-Daten

| | $L^*=L^*_a$ | a^*_a | b^*_a | $C^*_{ab,a}$ | $h^*_{ab,a}$ |
|------|-------------|---------|---------|--------------|--------------|
| R | 51.79 | 63.09 | 29.02 | 69.44 | 25 |
| R25J | 53.73 | 56.6 | 48.42 | 74.48 | 41 |
| R50J | 65.47 | 35.67 | 59.82 | 69.65 | 59 |
| R75J | 76.51 | 15.98 | 70.55 | 72.34 | 77 |
| J | 86.93 | -2.58 | 80.67 | 80.71 | 92 |
| J25G | 84.92 | -17.23 | 75.99 | 77.92 | 103 |
| J50G | 73.11 | -32.96 | 59.0 | 67.58 | 119 |
| J75G | 60.06 | -50.34 | 40.22 | 64.44 | 141 |
| G | 56.21 | -50.44 | 14.04 | 52.36 | 164 |
| G25B | 57.95 | -43.12 | -3.96 | 43.31 | 185 |
| G50B | 60.3 | -33.22 | -28.35 | 43.68 | 220 |
| G75B | 53.27 | -12.42 | -41.26 | 43.1 | 253 |
| B | 46.07 | 1.01 | -41.12 | 41.15 | 271 |
| B25R | 34.63 | 22.38 | -40.91 | 46.64 | 299 |
| B50R | 45.15 | 55.92 | -18.57 | 58.93 | 342 |
| B75R | 51.85 | 65.84 | 12.67 | 67.04 | 411 |



ZG920-7N, 9stufige Reihen für konstanten CIELAB Buntton 271/360 = 0.754 (links) Seite 93/96

ZG920-7N, 16stufige Reihen für konstanten CIELAB Buntton 271/360 = 0.754 (rechts) n

BAM-Prüfvorlage ZG92; Farbmetrik-Systeme, Seite 93/96 Eingabe: $\text{rgb} / \text{cmy0 set}(\text{rgb}/\text{cmyk})\text{color}$
D65: 9 und 16stufige Farbreihen für 16 Elementar-Bunttöne Ausgabe: $\rightarrow \text{cmy}n5^* \text{ setcmykcolor}$

Eingabe: Farbmetrisches Offset-Reflektiv-System ORS18

für Buntton $h^* = lab^*h = 299/360 = 0.83$

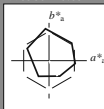
lab^*tch und lab^*nch

D65: Buntton B25R

LCH*Ma: 35 47 299

olv*Ma: 0.0 0.11 1.0

Dreiecks-Helligkeit t^*



%Umfang

$u^*_{rel} = 85$

%Regularität

$g^*_{H,rel} = 57$

$g^*_{C,rel} = 59$

ORS18; adaptierte CIELAB-Daten

| | $L^*=L^*_a$ | a^*_a | b^*_a | $C^*_{ab,a}$ | $h^*_{ab,a}$ |
|------------------|-------------|---------|---------|--------------|--------------|
| O _{Ma} | 51.74 | 60.16 | 46.48 | 76.02 | 38 |
| Y _{Ma} | 90.77 | -9.44 | 84.41 | 84.94 | 96 |
| L _{Ma} | 54.46 | -57.8 | 32.16 | 66.15 | 151 |
| C _{Ma} | 61.56 | -27.91 | -41.41 | 49.95 | 236 |
| V _{Ma} | 31.3 | 28.61 | -40.85 | 49.88 | 305 |
| N _{Ma} | 51.91 | 69.26 | -7.69 | 69.68 | 354 |
| M _{Ma} | 24.2 | 0.0 | 0.0 | 0.0 | 0 |
| W _{Ma} | 95.41 | 0.0 | 0.0 | 0.0 | 0 |
| R _{CIE} | 44.36 | 53.97 | 24.82 | 59.4 | 25 |
| J _{CIE} | 82.39 | -1.99 | 62.34 | 62.37 | 92 |
| G _{CIE} | 55.68 | -38.87 | 10.82 | 40.36 | 164 |
| B _{CIE} | 35.76 | 1.06 | -43.09 | 43.11 | 271 |

Ausgabe: Farbmetrisches Offset-Reflektiv-System ORS18

für Buntton $h^* = lab^*h = 299/360 = 0.83$

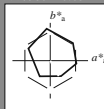
lab^*tch und lab^*nch

D65: Buntton B25R

LCH*Ma: 35 47 299

olv*Ma: 0.0 0.11 1.0

Dreiecks-Helligkeit t^*



%Umfang

$u^*_{rel} = 85$

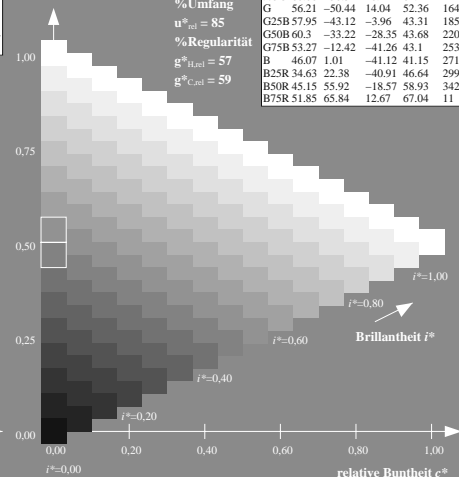
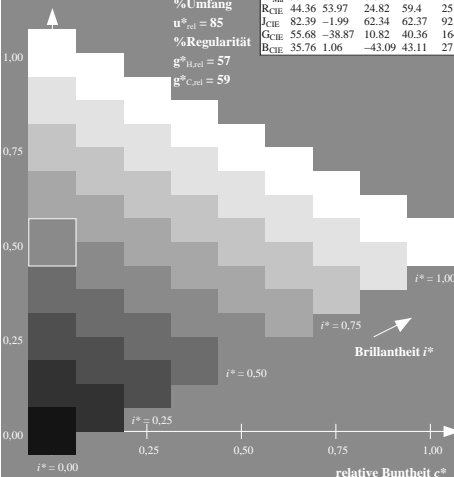
%Regularität

$g^*_{H,rel} = 57$

$g^*_{C,rel} = 59$

ORS18; adaptierte CIELAB-Daten

| | $L^*=L^*_a$ | a^*_a | b^*_a | $C^*_{ab,a}$ | $h^*_{ab,a}$ |
|------|-------------|---------|---------|--------------|--------------|
| R | 51.79 | 63.09 | 29.02 | 69.44 | 25 |
| R25J | 53.73 | 56.6 | 48.42 | 74.48 | 41 |
| R50J | 65.47 | 35.67 | 59.82 | 69.65 | 59 |
| R75J | 76.51 | 15.98 | 70.55 | 72.34 | 77 |
| J | 86.93 | -2.58 | 80.67 | 80.71 | 92 |
| J25G | 84.92 | -17.23 | 75.99 | 77.92 | 103 |
| J50G | 73.11 | -32.96 | 59.0 | 67.58 | 119 |
| J75G | 60.06 | -50.34 | 40.22 | 64.44 | 141 |
| G | 56.21 | -50.44 | 14.04 | 52.36 | 164 |
| G25B | 57.95 | -43.12 | -3.96 | 43.31 | 185 |
| G50B | 60.3 | -33.22 | -28.35 | 43.68 | 220 |
| G75B | 53.27 | -12.42 | -41.26 | 43.1 | 253 |
| B | 46.07 | 1.01 | -41.12 | 41.15 | 271 |
| B25R | 34.63 | 22.38 | -40.91 | 46.64 | 299 |
| B50R | 45.15 | 55.92 | -18.57 | 58.93 | 342 |
| B75R | 51.85 | 65.84 | 12.67 | 67.04 | 411 |



ZG920-7N, 9stufige Reihen für konstanten CIELAB Buntton 299/360 = 0.83 (links)

Seite 94/96

ZG920-7N, 16stufige Reihen für konstanten CIELAB Buntton 299/360 = 0.83 (rechts)

BAM-Prüfvorlage ZG92; Farbmetrik-Systeme, Seite 94/96 Eingabe: $rgb / cmy0$ set($rgb/cmyk$)color
D65: 9 und 16stufige Farbreihen für 16 Elementar-Bunttöne Ausgabe: $\rightarrow cmy5^* setcmykcolor$

Eingabe: Farbmetrisches Offset-Reflektiv-System ORS18

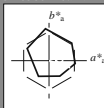
für Buntton $h^* = lab^*h = 342/360 = 0.949$

lab^*tch und lab^*nch

D65: Buntton B50R

LCH*Ma: 45 59 342

olv*Ma: 0.67 0.0 1.0



Dreiecks-Helligkeit t^*

%Umfang

$u^*_{rel} = 85$

%Regularität

$g^*_{H,rel} = 57$

$g^*_{C,rel} = 59$

ORS18; adaptierte CIELAB-Daten

| | $L^*=L^*_a$ | a^*_a | b^*_a | $C^*_{ab,a}$ | $h^*_{ab,a}$ |
|------------------|-------------|---------|---------|--------------|--------------|
| O _{Ma} | 51.74 | 60.16 | 46.48 | 76.02 | 38 |
| Y _{Ma} | 90.77 | -9.44 | 84.41 | 84.94 | 96 |
| L _{Ma} | 54.46 | -57.8 | 32.16 | 66.15 | 151 |
| C _{Ma} | 61.56 | -27.91 | -41.41 | 49.95 | 236 |
| V _{Ma} | 31.3 | 28.61 | -40.85 | 49.88 | 305 |
| M _{Ma} | 51.91 | 69.26 | -7.69 | 69.68 | 354 |
| N _{Ma} | 24.2 | 0.0 | 0.0 | 0.0 | 0 |
| W _{Ma} | 95.41 | 0.0 | 0.0 | 0.0 | 0 |
| R _{CIE} | 44.36 | 53.97 | 24.82 | 59.4 | 25 |
| J _{CIE} | 82.39 | -1.99 | 62.34 | 62.37 | 92 |
| G _{CIE} | 55.68 | -38.87 | 10.82 | 40.36 | 164 |
| B _{CIE} | 35.76 | 1.06 | -43.09 | 43.11 | 271 |

Ausgabe: Farbmetrisches Offset-Reflektiv-System ORS18

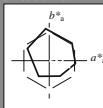
für Buntton $h^* = lab^*h = 342/360 = 0.949$

lab^*tch und lab^*nch

D65: Buntton B50R

LCH*Ma: 45 59 342

olv*Ma: 0.67 0.0 1.0



Dreiecks-Helligkeit t^*

%Umfang

$u^*_{rel} = 85$

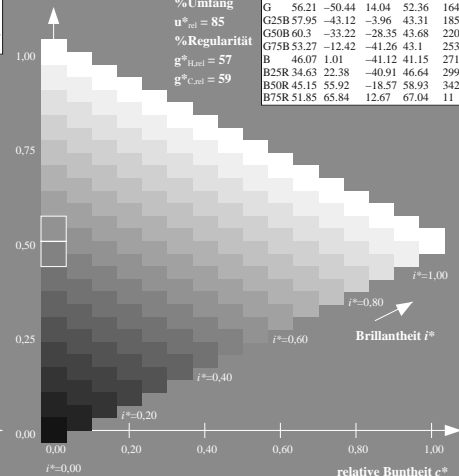
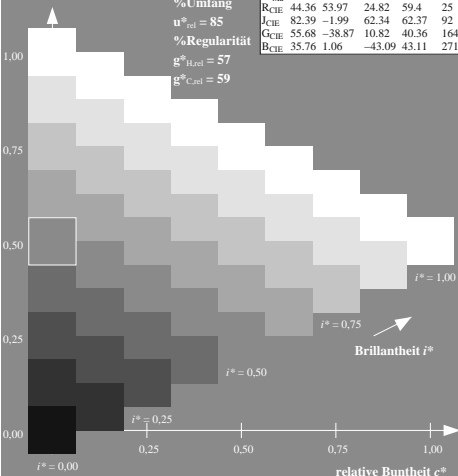
%Regularität

$g^*_{H,rel} = 57$

$g^*_{C,rel} = 59$

ORS18; adaptierte CIELAB-Daten

| | $L^*=L^*_a$ | a^*_a | b^*_a | $C^*_{ab,a}$ | $h^*_{ab,a}$ |
|------|-------------|---------|---------|--------------|--------------|
| R | 51.79 | 63.09 | 29.02 | 69.44 | 25 |
| R25J | 53.73 | 56.6 | 48.42 | 74.48 | 41 |
| R50J | 65.47 | 35.67 | 59.82 | 69.65 | 59 |
| R75J | 76.51 | 15.98 | 70.55 | 72.34 | 77 |
| J | 86.93 | -2.58 | 80.67 | 80.71 | 92 |
| J25G | 84.92 | -17.23 | 75.99 | 77.92 | 103 |
| J50G | 73.11 | -32.96 | 59.0 | 67.58 | 119 |
| J75G | 60.06 | -50.34 | 40.22 | 64.44 | 141 |
| G | 56.21 | -50.44 | 14.04 | 52.36 | 164 |
| G25B | 57.95 | -43.12 | -3.96 | 43.31 | 185 |
| G50B | 60.3 | -33.22 | -28.35 | 43.68 | 220 |
| G75B | 53.27 | -12.42 | -41.26 | 43.1 | 253 |
| B | 46.07 | 1.01 | -41.12 | 41.15 | 271 |
| B25R | 34.63 | 22.38 | -40.91 | 46.64 | 299 |
| B50R | 45.15 | 55.92 | -18.57 | 58.93 | 342 |
| B75R | 51.85 | 65.84 | 12.67 | 67.04 | 411 |



ZG920-7N, 9stufige Reihen für konstanten CIELAB Buntton 342/360 = 0.949 (links) Seite 95/96

ZG920-7N, 16stufige Reihen für konstanten CIELAB Buntton 342/360 = 0.949 (rechts) n

BAM-Prüfvorlage ZG92; Farbmetrik-Systeme, Seite 95/96 Eingabe: $rgb / cmy0$ set($rgb/cmyk$)color
D65: 9 und 16stufige Farbreihen für 16 Elementar-Bunttöne Ausgabe: $\rightarrow cmy5$ set($cmyk$)color

Eingabe: Farbmetrisches Offset-Reflektiv-System ORS18

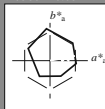
für Buntton $h^* = lab^*h = 11/360 = 0.03$

lab^*tch und lab^*nch

D65: Buntton B75R

LCH*Ma: 52 67 11

olv*Ma: 1.0 0.0 0.62



Dreiecks-Helligkeit t^*

%Umfang

$u^*_{rel} = 85$

%Regularität

$g^*_{H,rel} = 57$

$g^*_{C,rel} = 59$

ORS18; adaptierte CIELAB-Daten

| | $L^*=L^*_a$ | a^*_a | b^*_a | $C^*_{ab,a}$ | $h^*_{ab,a}$ |
|------------------|-------------|---------|---------|--------------|--------------|
| O _{Ma} | 51.74 | 60.16 | 46.48 | 76.02 | 38 |
| Y _{Ma} | 90.77 | -9.44 | 84.41 | 84.94 | 96 |
| L _{Ma} | 54.46 | -57.8 | 32.16 | 66.15 | 151 |
| C _{Ma} | 61.56 | -27.91 | -41.41 | 49.95 | 236 |
| V _{Ma} | 31.3 | 28.61 | -40.85 | 49.88 | 305 |
| M _{Ma} | 51.91 | 69.26 | -7.69 | 69.68 | 354 |
| N _{Ma} | 24.2 | 0.0 | 0.0 | 0.0 | 0 |
| W _{Ma} | 95.41 | 0.0 | 0.0 | 0.0 | 0 |
| R _{CIE} | 44.36 | 53.97 | 24.82 | 59.4 | 25 |
| J _{CIE} | 82.39 | -1.99 | 62.34 | 62.37 | 92 |
| G _{CIE} | 55.68 | -38.87 | 10.82 | 40.36 | 164 |
| B _{CIE} | 35.76 | 1.06 | -43.09 | 43.11 | 271 |

Ausgabe: Farbmetrisches Offset-Reflektiv-System ORS18

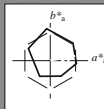
für Buntton $h^* = lab^*h = 11/360 = 0.03$

lab^*tch und lab^*nch

D65: Buntton B75R

LCH*Ma: 52 67 11

olv*Ma: 1.0 0.0 0.62



Dreiecks-Helligkeit t^*

%Umfang

$u^*_{rel} = 85$

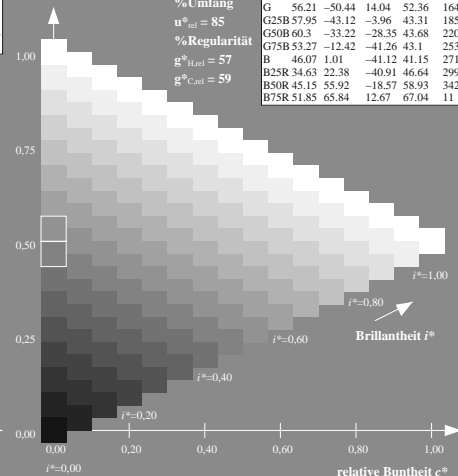
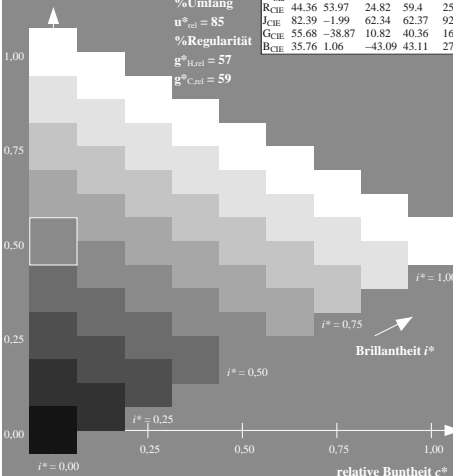
%Regularität

$g^*_{H,rel} = 57$

$g^*_{C,rel} = 59$

ORS18; adaptierte CIELAB-Daten

| | $L^*=L^*_a$ | a^*_a | b^*_a | $C^*_{ab,a}$ | $h^*_{ab,a}$ |
|------|-------------|---------|---------|--------------|--------------|
| R | 51.79 | 63.09 | 29.02 | 69.44 | 25 |
| R25J | 53.73 | 56.6 | 48.42 | 74.48 | 41 |
| R50J | 65.47 | 35.67 | 59.82 | 69.65 | 59 |
| R75J | 76.51 | 15.98 | 70.55 | 72.34 | 77 |
| J | 86.93 | -2.58 | 80.67 | 80.71 | 92 |
| J25G | 84.92 | -17.23 | 75.99 | 77.92 | 103 |
| J50G | 73.11 | -32.96 | 59.0 | 67.58 | 119 |
| J75G | 60.06 | -50.34 | 40.22 | 64.44 | 141 |
| G | 56.21 | -50.44 | 14.04 | 52.36 | 164 |
| G25B | 57.95 | -43.12 | -3.96 | 43.31 | 185 |
| G50B | 60.3 | -33.22 | -28.35 | 43.68 | 220 |
| G75B | 53.27 | -12.42 | -41.26 | 43.1 | 253 |
| B | 46.07 | 1.01 | -41.12 | 41.15 | 271 |
| B25R | 34.63 | 22.38 | -40.91 | 46.64 | 299 |
| B50R | 45.15 | 55.92 | -18.57 | 58.93 | 342 |
| B75R | 51.85 | 65.84 | 12.67 | 67.04 | 411 |



ZG920-7N, 9stufige Reihen für konstanten CIELAB Buntton 11/360 = 0.03 (links)

Seite 96/96

ZG920-7N, 16stufige Reihen für konstanten CIELAB Buntton 11/360 = 0.03 (rechts)

BAM-Prüfvorlage ZG92; Farbmetrik-Systeme, Seite 96/96 Eingabe: $rgb / cmy0$ set($rgb/cmyk$)color
D65: 9 und 16stufige Farbreihen für 16 Elementar-Bunttöne Ausgabe: $\rightarrow cmy5$ set($cmyk$)color